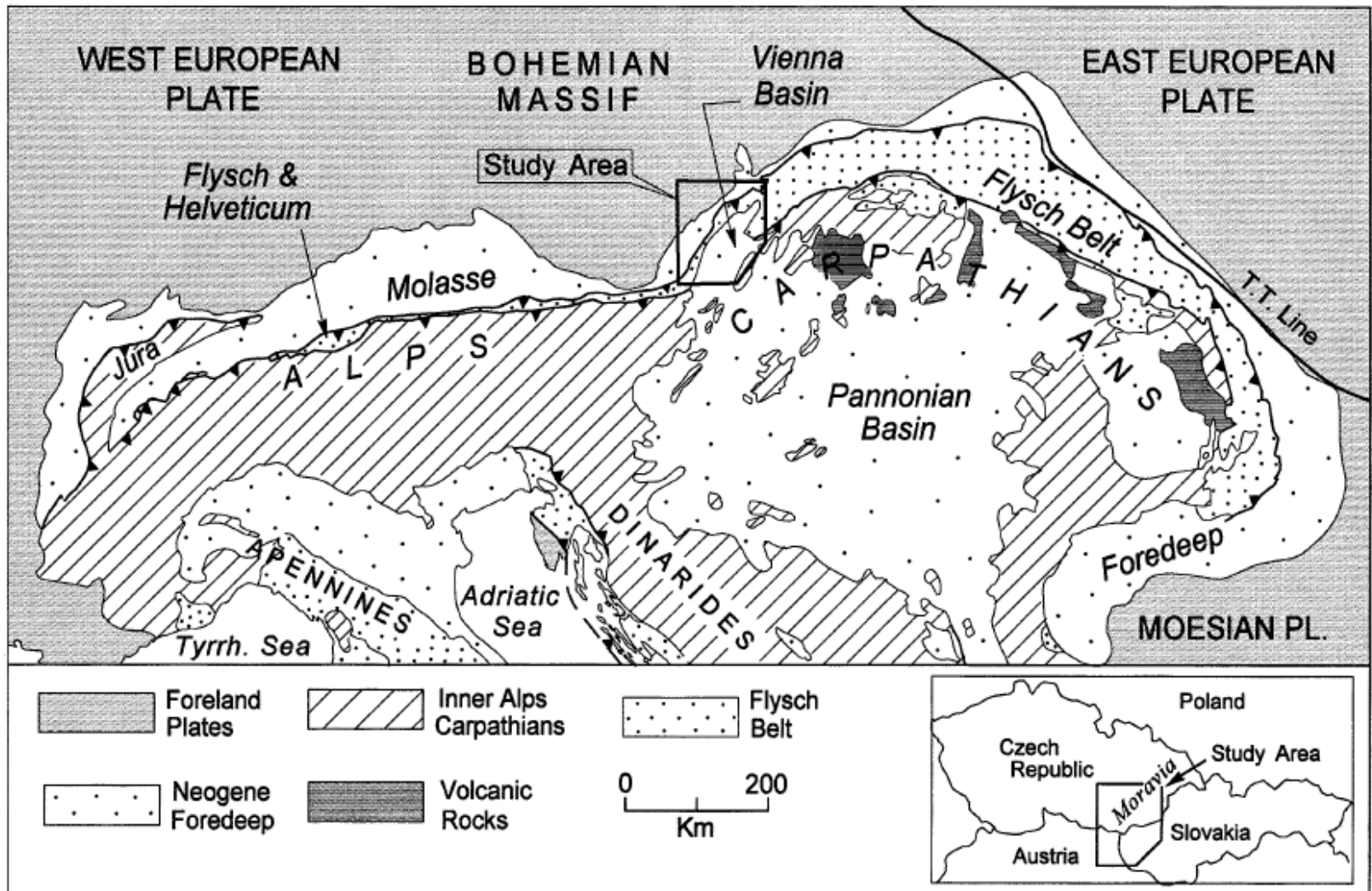


Západní Karpaty



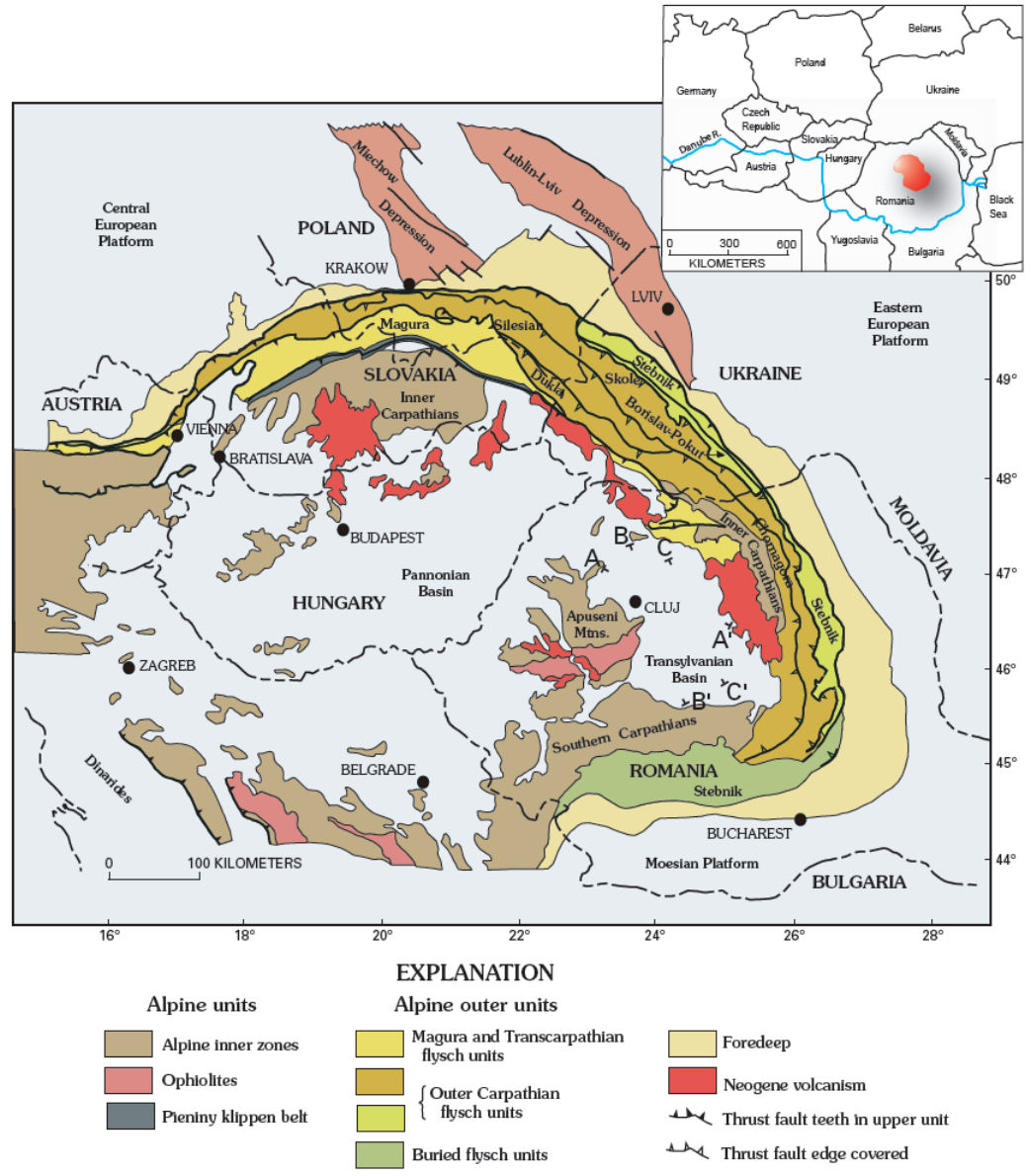
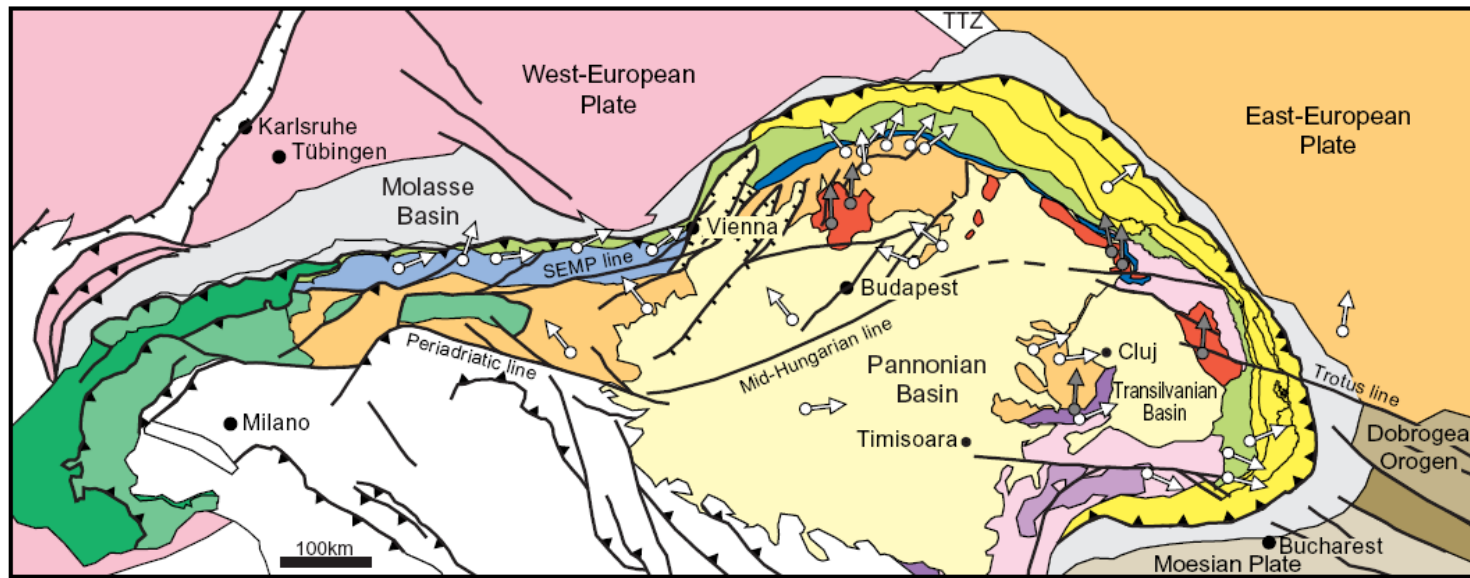


Figure 1. Location and structural features of the Carpathian Mountains region in eastern Europe. After Roca and others (1995). Inset map after Ciulavu and others (2000). A, A' and B, B': location of cross sections in figure 4; C, C': location of cross section in figure 5.



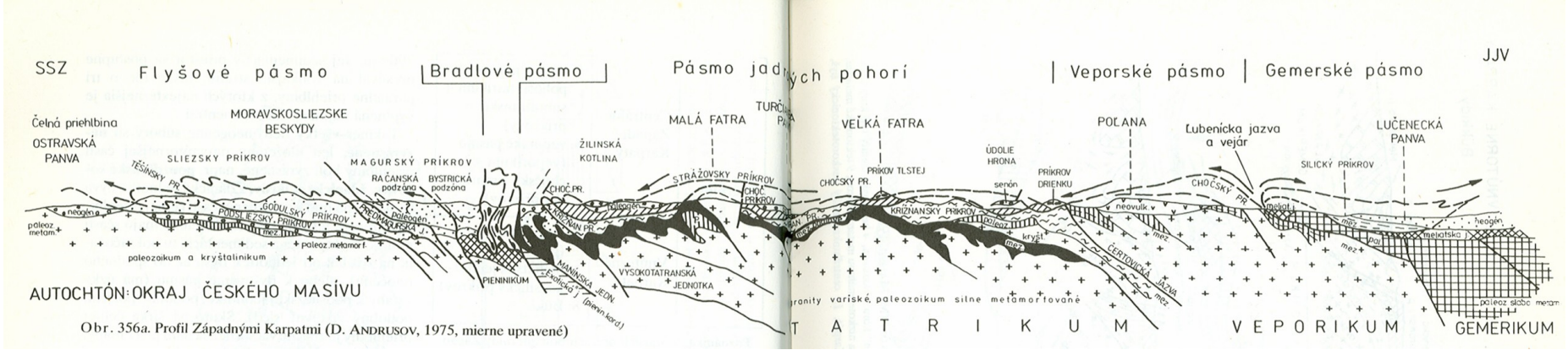
- | | | | | | |
|--|------------------------|--|-------------------------------|--|---|
| | Major thrusts | | Neogene volcanics | | Tertiary flysch nappes (Moldavides) |
| | Strike-slip faults | | Neogene basins | | Rhenodanubian flysch+Cretac. flysch |
| | Normal faults | | Foreland basins | | Pieniny Klippen Belt |
| Palaeomagnetic declinations from
Channell, Kruczyk, Márton, Patrascu: | | | Helvetic nappes | | Eastern Alps/W. Carpathians/Internal Dacids |
| | Cretaceous–L. Miocene/ | | Penninic nappes | | Getic nappes (Median Dacids) |
| | M. Miocene–Pliocene | | Northern calcareous Alps | | Danubian nappes (Marginal Dacids) |
| | | | Transylvanianides–Vardar zone | | |

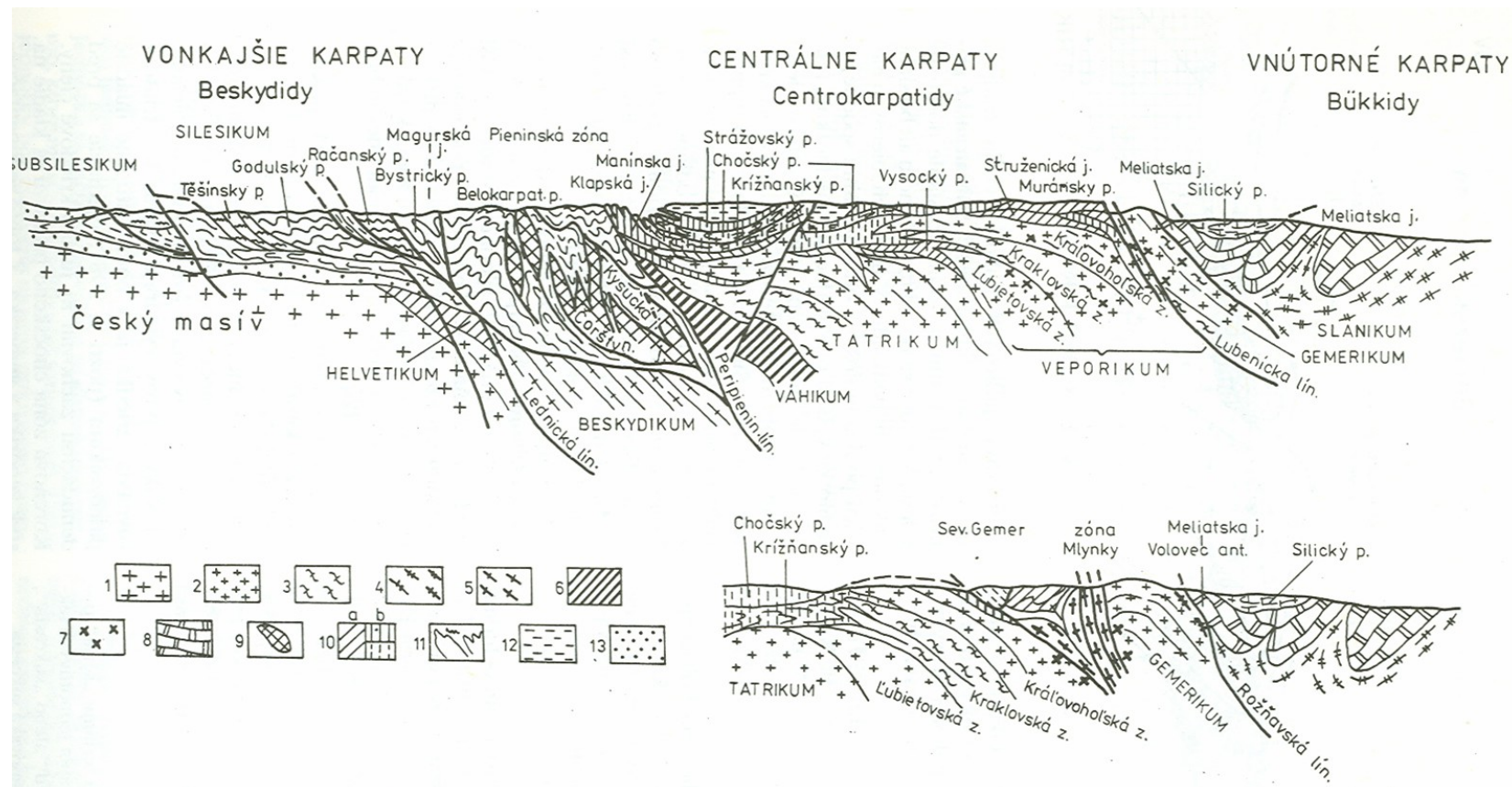
EXTERNIDY	Vnější Západní Karpaty	1. Karpatská předhlubeň	
		2. Flyšové pásmo	vnější krosněnská skupina př. vnitřní magurská skupina př.
		3. Bradlové pásmo	czorsztynská jednotka kysucko-pieninská jednotka
INTERNIDY	Centrální Západní Karpaty	4. Příbradlové pásmo	klapská jednotka manínská jednotka
		5. Pásmo jaderných pohoří	tatrikum subtatranské příkrov
		6. Veporské pásmo	veporikum chočský a muráňský příkrov
		7. Gemerské pásmo	gemerikum silický příkrov
	Vnitřní Západní Karpaty	8. Meliatské pásmo	
		9. Pásmo Bükku	

Obr. 75. Geologické členění Západních Karpat, upraveno podle Kováč et al., (1993).

EXTERNIDY

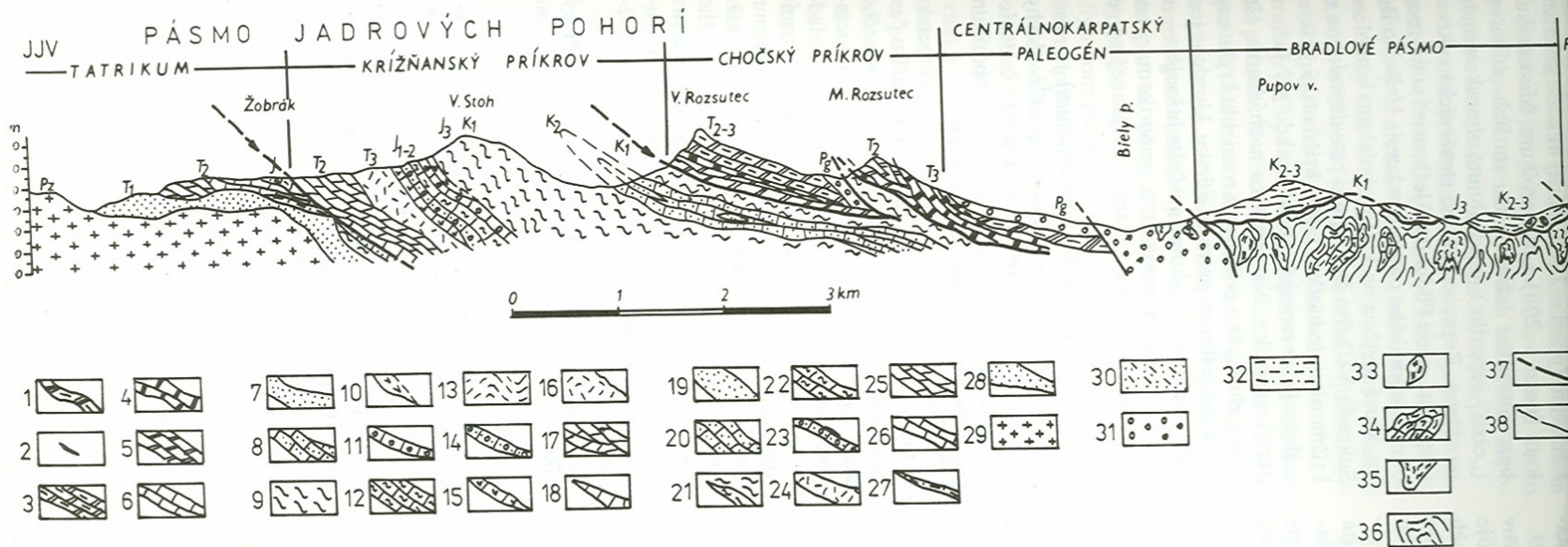
INTERNIDY





obr. 356b. Schematický profil Západných Karpát zostavený so zreteľom na vyjadrenie vzťahu príkrovov k typu kôry (M. MAHEL, 1982).

1-4 kontinentálne typy kôry: 1 hrubá kôra masívu, 2 alpsky aktivizovaná kôra s väčšími granitoidnými telesami, 3 „ťažšia“ kôra s bázikami, 4 hercýnsky členitý typ kôry slabo tabilizovaných oblastí; 5 paraocéánsky typ kôry, 6 oceánsky typ kôry, 7 alpske granity, 8 komplexy postihnuté vysokotlakovou a nízkotermálnou metamorfózou, 9 tektonické melanže, 10 - a obalové (autochtónne) mezozoikum, b pripovrchové príkrovy Vnútorných Karpát, 11 flyšové komplexy Vonkajších Karpát, 12 centrálnokarpatský neskorotektonický flyš, 3 molasy čelnej priehlbiny



Obr. 359. Geologický profil krivánskou časťou Malej Fatry (podľa M. POLÁKA, 1979).

Chočský príkrov: 1 vrchný karn – norik, masívne a vrstevnaté dolomity (Hauptdolomit), 2 spodný karn, pieskovce a bridlice (lunzske vrstvy), 3 stredný a vrchný trias, tmavé vrstevnaté a masívne dolomity, 4 vrchný anis – ladin, sivé rohovcové vápence reiflinského typu, 5 vrchný anis, sivé vrstevnaté a masívne dolomity, 6 spodný anis, tmavé vápce gutensteinského typu.

Krížňanský príkrov: 7 alb, pieskovce a piesčité vápence s vložkami bridlic, 8 vyšší barém – apt, ílovité bridlice, piesčité vápence, organodetrítické vápence, 9 vyšší berias – spodný baerian, sivé slienité vápence a slienice s vložkami slienitých bridlic, 10 titón – spodný berias, sivé celistvé slienité vápence typu „biancone“, 11 doger, kremité rádioláriové vápence a rádiolarity, 12 tmavé slienité vápence a bridlice („Fleckenmergel“), 13 domér – toark, netypický „Fleckenmergel“, 14 hetanž, bridlice, pieskovce a piesčito-krinoidové vápence, 15 najvyšší berias (rét), sivé až čierne lumachelové, krinoidové a oolitické vápence (kössenská fácia), 16 norik, ílovité bridlice a kremenné pieskovce (keuper), 17 ladin, sivé lavicovité dolomity, 18: gutensteinské vápence.

Tatrikum (malofatranský „obalový“ sled): 19 alb, piesčité vápence, pieskovce a ílovité bridlice, 20 apt, čierne slienité vápence a piesčité rohovcové vápence s vložkami bridlic, 21: – neokóm, sivé slienité vápence s hľuzami čiernych rohovcov a vložkami bridlic, 22 toark, sivé slienité škvrité vápence a bridlice („Fleckenmergel“), 23 hetanž – plienbach (?), piesčité vápence s vložkami bridlic, 24 norik, kremenné pieskovce a zlepence s vložkami bridlic (keuper), 25 ladin – karn (?), svetlosivé lavicovité dolomity, 26 anis, gutensteinské vápence, 27 spodný trias, pestré ílovito-piesčité bridlice s vložkami kremenných pieskovcov (verfenske bridlice), 28 spodný trias, kremence, kremenné pieskovce a zlepence s vložkami bridlic, 29 kryštalínium.

Flyšové pásmo: 30 stredný eocén magurskej jednotky.

Centrálneokarpatský paleogén: 31 ilerd – kuis, hričovskopodhradský paleogén.

Manínska jednotka: 32 alb – spodný santón, pieskovce a slienice.

Kysucká jednotka: 33 stredný bajok, nadposidóniové vrstvy, 34 titón, kalpionelové vápence, 35 neokóm, škvrité slienité rohovcové vápence, 36 santón – kampán, gbelianske vrstvy príkrovové a prešmykové línie, 38 zlomy

Internidy - kimersky zvrásněné **vnitřní západní Karpaty**
- paleoalpinsky zvrásněné **centrální západní Karpaty**

Centrální západní Karpaty

Pásmo jaderných pohoří – tatrikum (krystalinikum + obalové jednotky) + subtatranské příkrovy

Subtatranské příkrovy – **spodní** (fatrikum), sunuty na nejmenší vzdálenosti, križňanský příkrov, fragmentu vyusockého příkrovu
- **střední**(hronikum), štúrecký a nadložní chočský příkrov
- **svrchní** (silicikum), strážovský, veterlinský a nedzovský příkrov

Tatrikum – variské krystalinikum - metamorfované horniny (ruly, migmatity) a granitoidy, v podřadné míře fylity a tělesa amfibolitů , mesozoický, popř svrchnopaleozoický obal

Križňanský příkrov - sedimenty triasu, jury a spodní křídy, kořenová zóna v místě styku dnešního tatrika a veporika

Chočský příkrov - hlavně triasové karbonáty, místy sedimenty a vulkanity svrchního paleozoika, ojedinělý výskyt jurských-křídových sedimentů. Kořenová zóna- styk veporika a gemerika.

Strážovský příkrov - hlavně triasové wettersteinské vápence.

Veporské pásmo

Veporikum – tektonicky zešupinatělé krystalinikum. **Kraklovský příkrov** (hronský komplex) tvořený svory a fylonity nasunutý na **kralovoholský příkrov** tvořený hlavně migmatity a granitoidy. Méně **obalové jednotky** (svrchní paleozoikum mesozoikum), Trosky **chočského** a **muráňského** příkrovu (silicikum) příkrovu.

Gemerské pásmo

Gemerikum + silicikum (besnický nebo stratenský příkrov)

Největší část gemerského pásma tvoří rozsáhlé **antiklinorium gemerika**, tvořené slabě metamorfovanými spodnopaleozoickými horninami lemované nemetamorfovaným svrchním paleozoikem.

Severní gemerikum – vulkanosedimentární **předkarbonsky** vysoce a nízkometamorfované komplexy oceanického vývoje

Jižní gemerikum – spodnopaleozoický vulkanogenní flyš, **varisky** zvrásněný a slabě metamorfovaný

Silicikum – buduje podstatnou část severogemeridního synklinória (besnický a stratenský příkrov) nebo na jihu téměř celý Slovenský kras. Tvořené především triasovými vápenci.

Kořenová zóna buď při severním okraji gemerika nebo při jeho jižním okraji

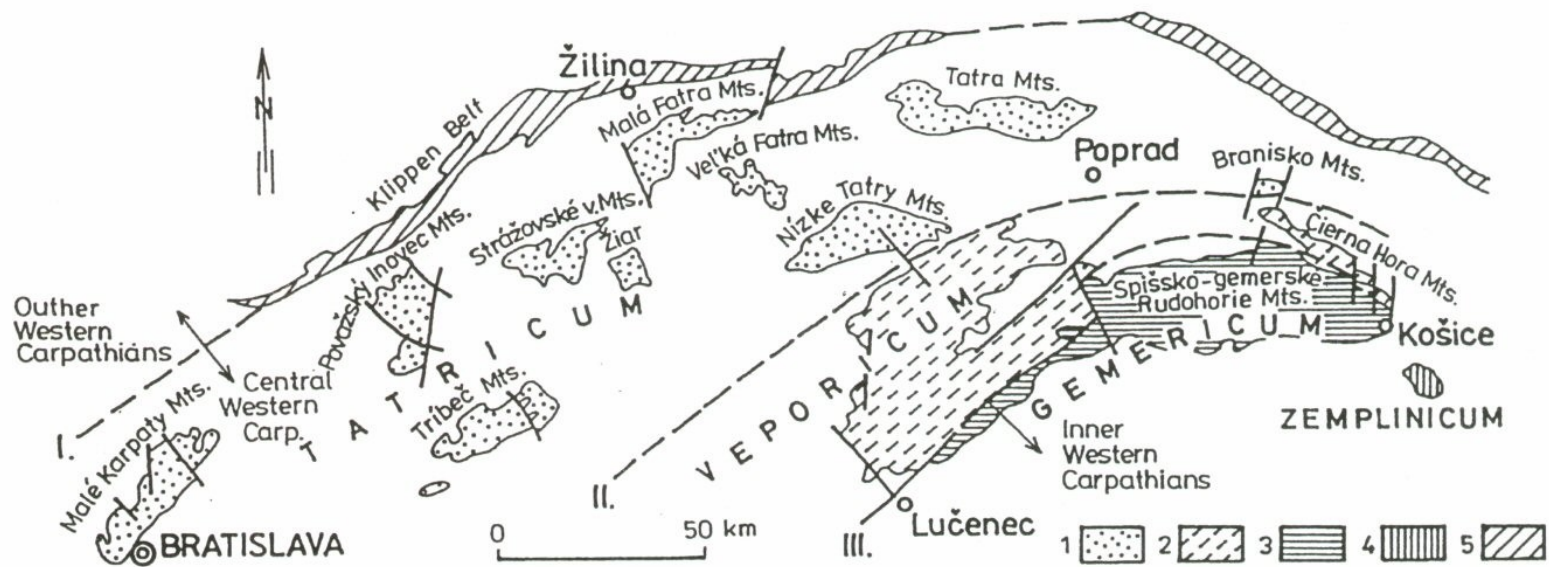
Vnitřní Západní Karpaty

Meliatské pásmo

Vynořuje se v tektonických oknech z pod silického příkrovu. Metamorfované sedimenty permského, triasového a jurského stáří, ultrabazické horniny a glaukofanity reprezentující **tektonickou melanž subdukčního komplexu**

Pásmo Bükku

Metamorfované horniny spodního paleozoika, karbonu a permu a zvrásněné soubory mesozoika zčásti postižené alpínskou metamorfózou. Jižní okraj meliatského oceánu.

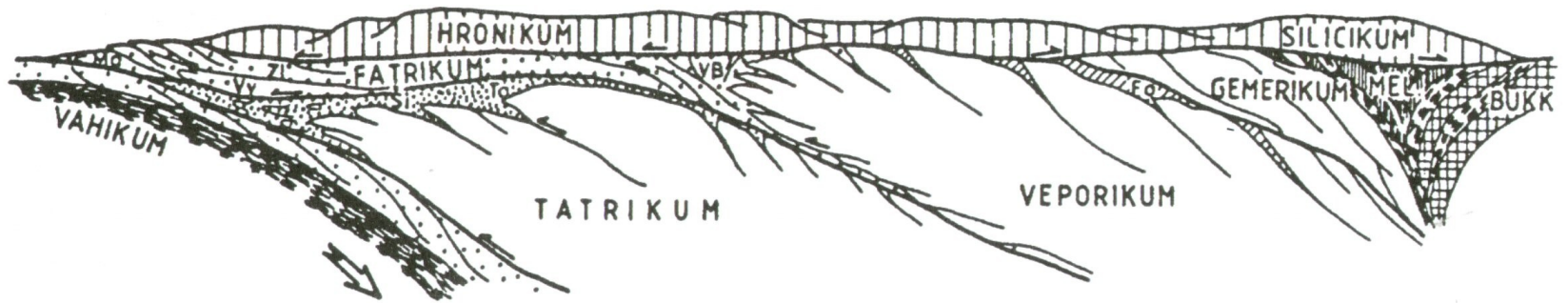


Obr. 76. Schematická mapa Západních Karpat. Legenda: 1 – předkarbonské komplexy tatrika, 2 – předkarbonské komplexy veporika, 3 – předkarbonské komplexy gemerika, 4 – předkarbonské komplexy zemplanika, 5 – bradlové pásmo, 6 – zlomy, I. – peripieninský lineament, II. – čertovická línie, III. – lubenicko-margecanská línie. Podle Hovorka.

— nejvyšší vrstevní částka křemíka až ve spodním úrovní.

SZ

JV



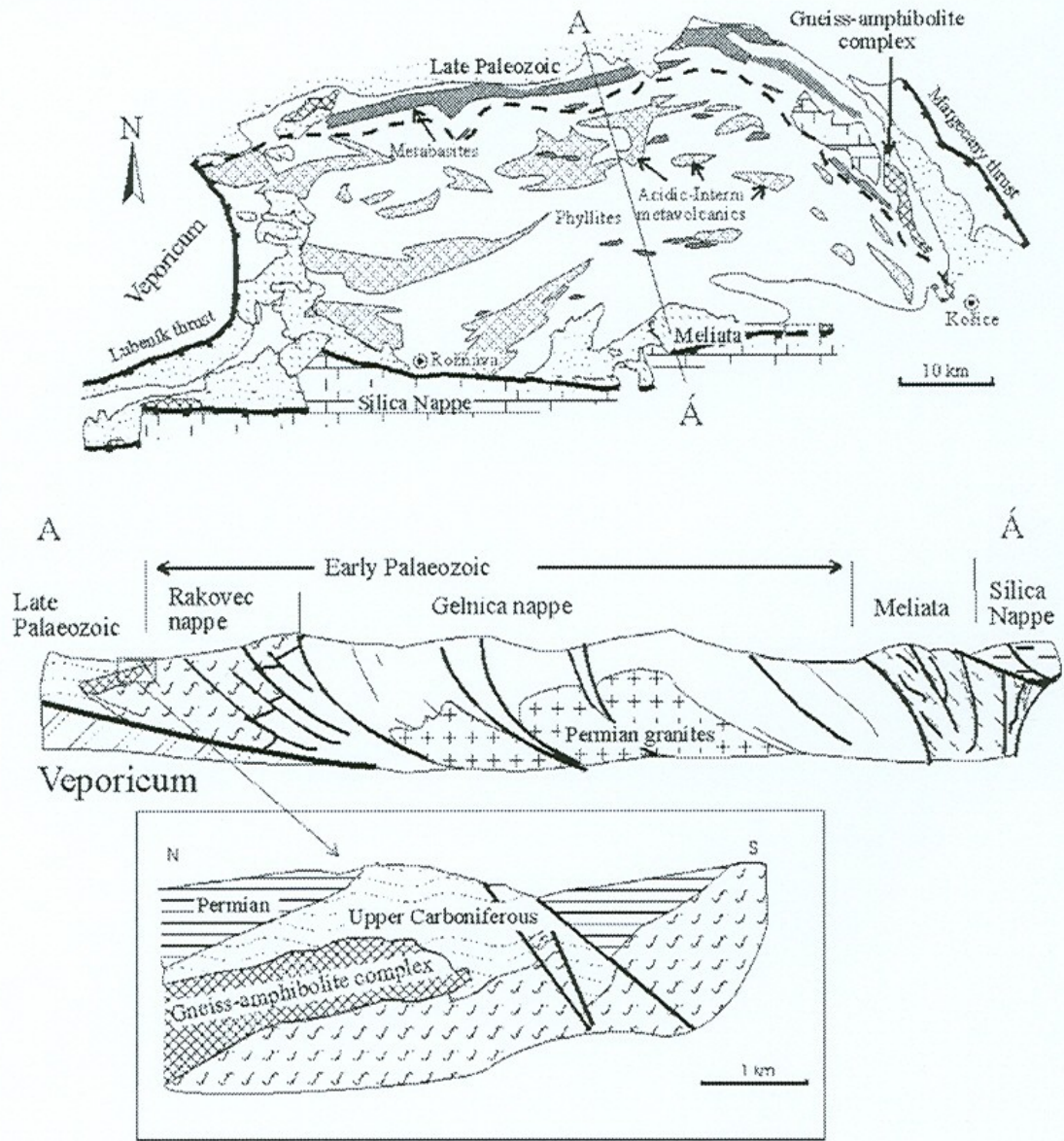
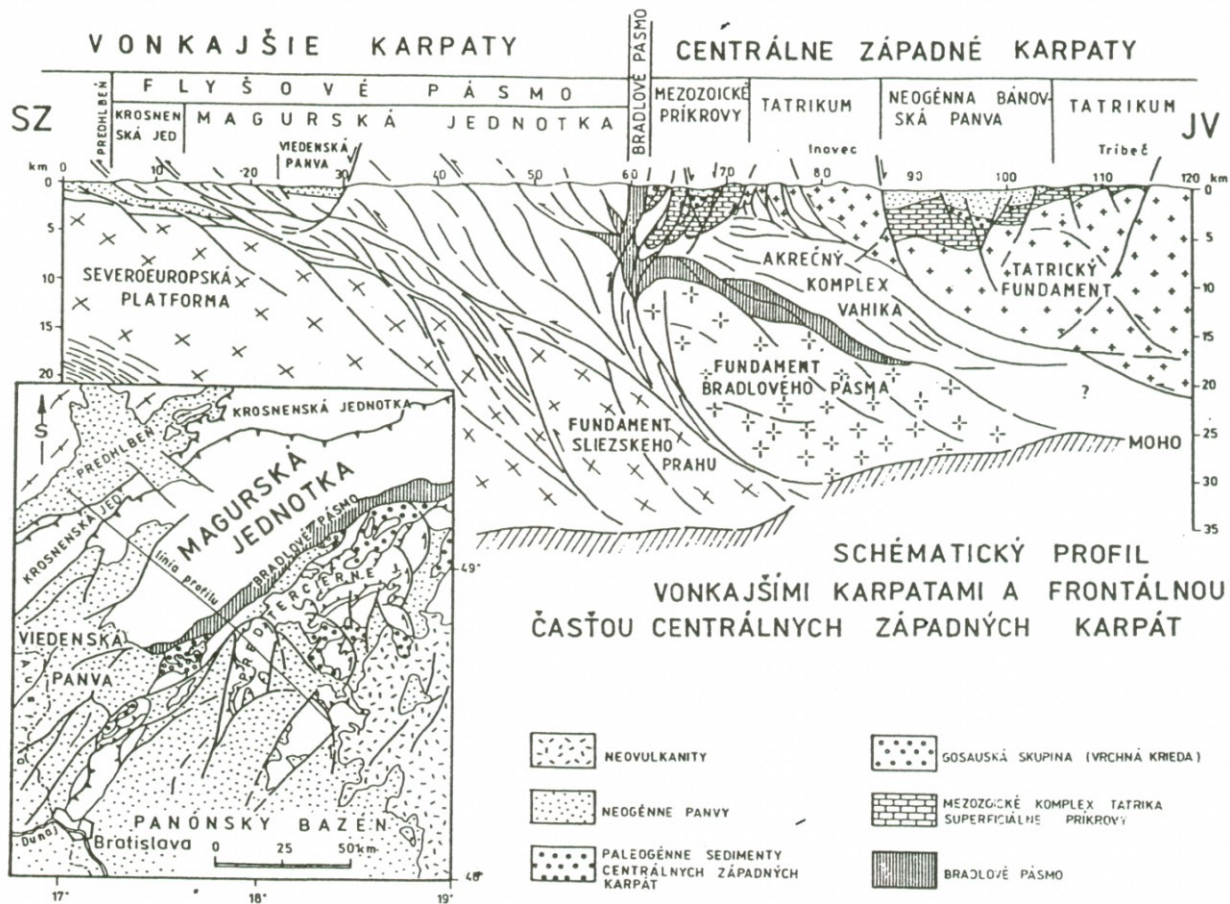
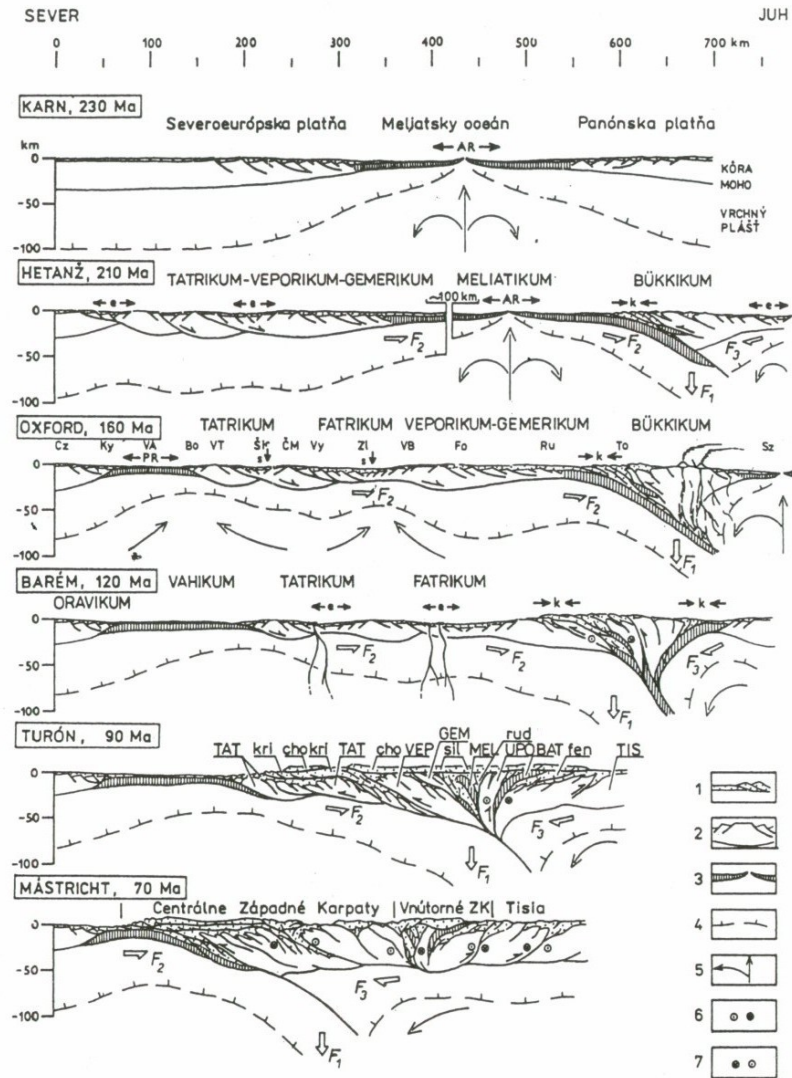


Fig. 14. Schematized geological map of the Gemericum with cross-section through the main units. (Dashed line in the map separates the Rakovec Group to the north from the Gelnica Group to the south).

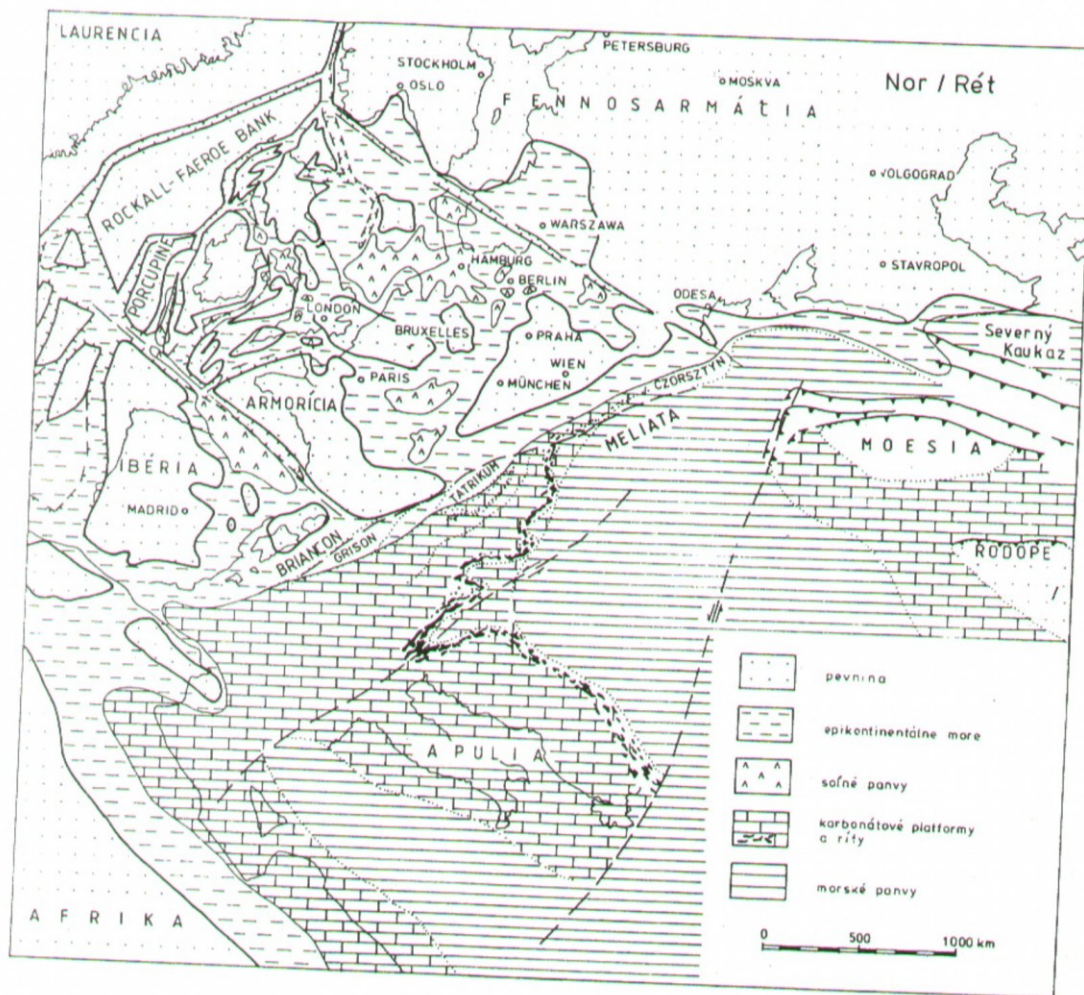


Fig.3. Pre-Alpine basement rocks exposed in the Tatra, Vepor and Gemer Belts.

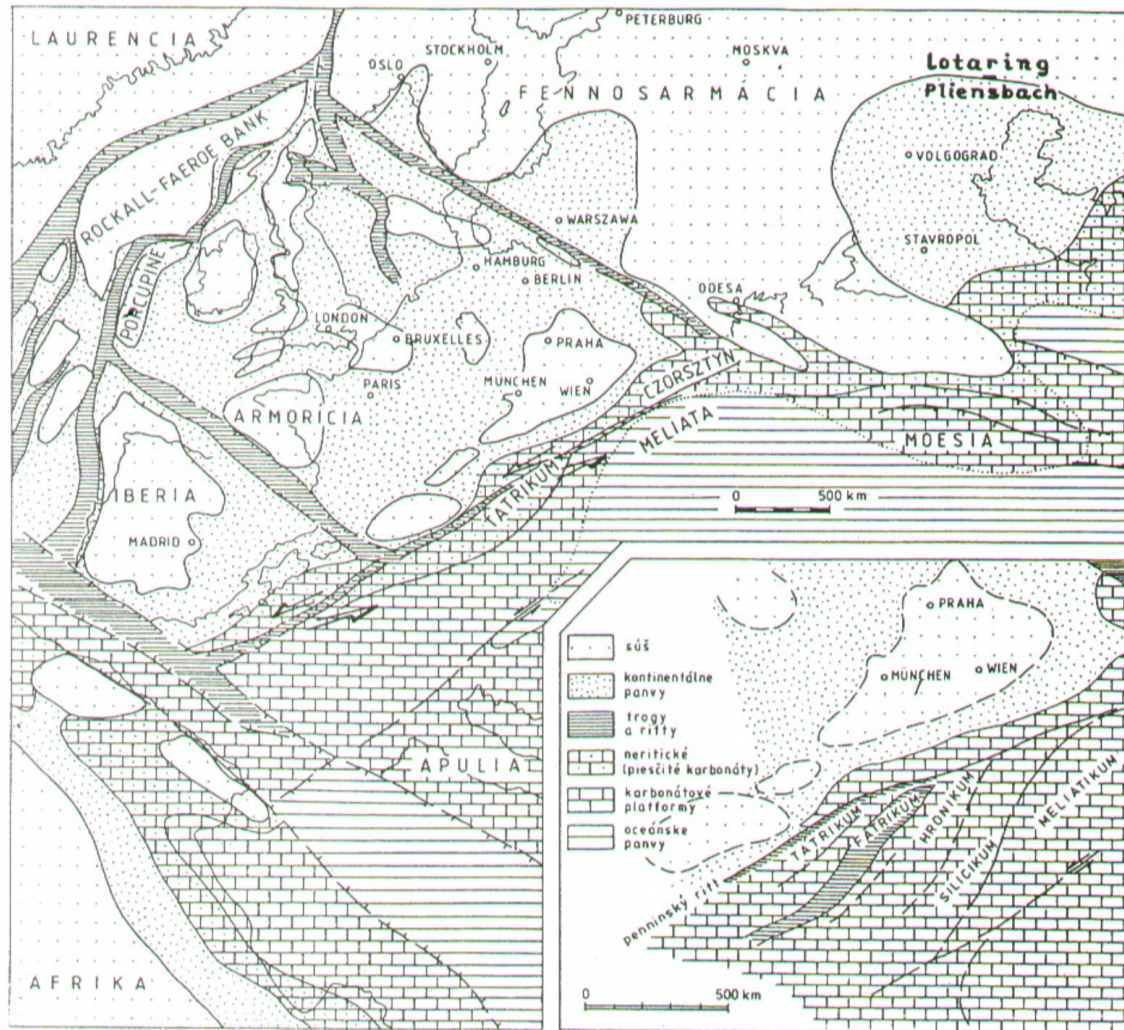




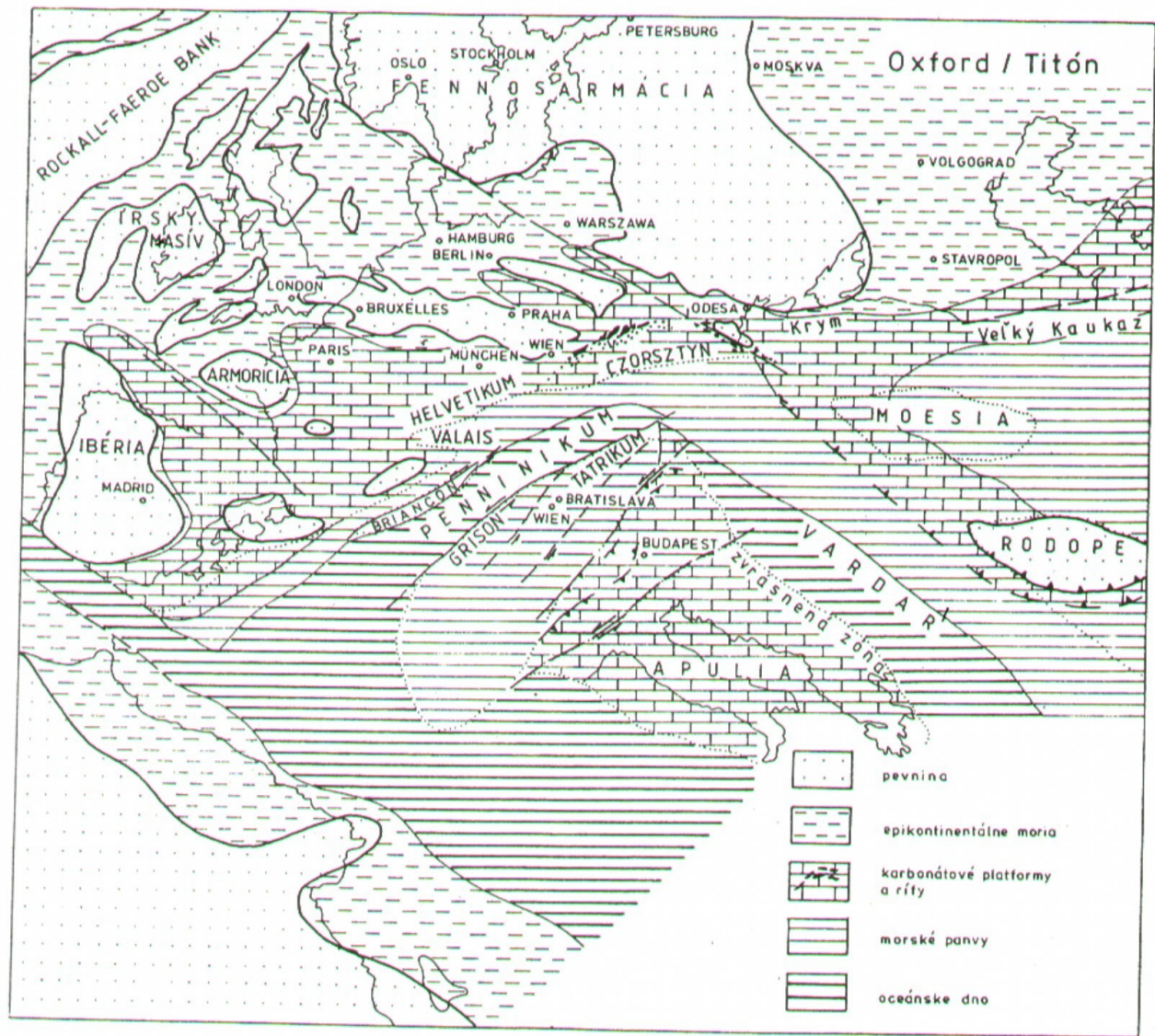
Obr. 77. Paleotektonický model vývoje Západných Karpat během mesozoika (podle Kováč et al., 1993).
 Legenda: 1 – mesozoické sedimenty, 2 – fundament kontinentální kůry, 3 – oceánská kůra, 4 – báze litosféry, 5 – konvekční proudění v astenosféře, 6 – levostranná transprese, 7 – pravostranná transprese.



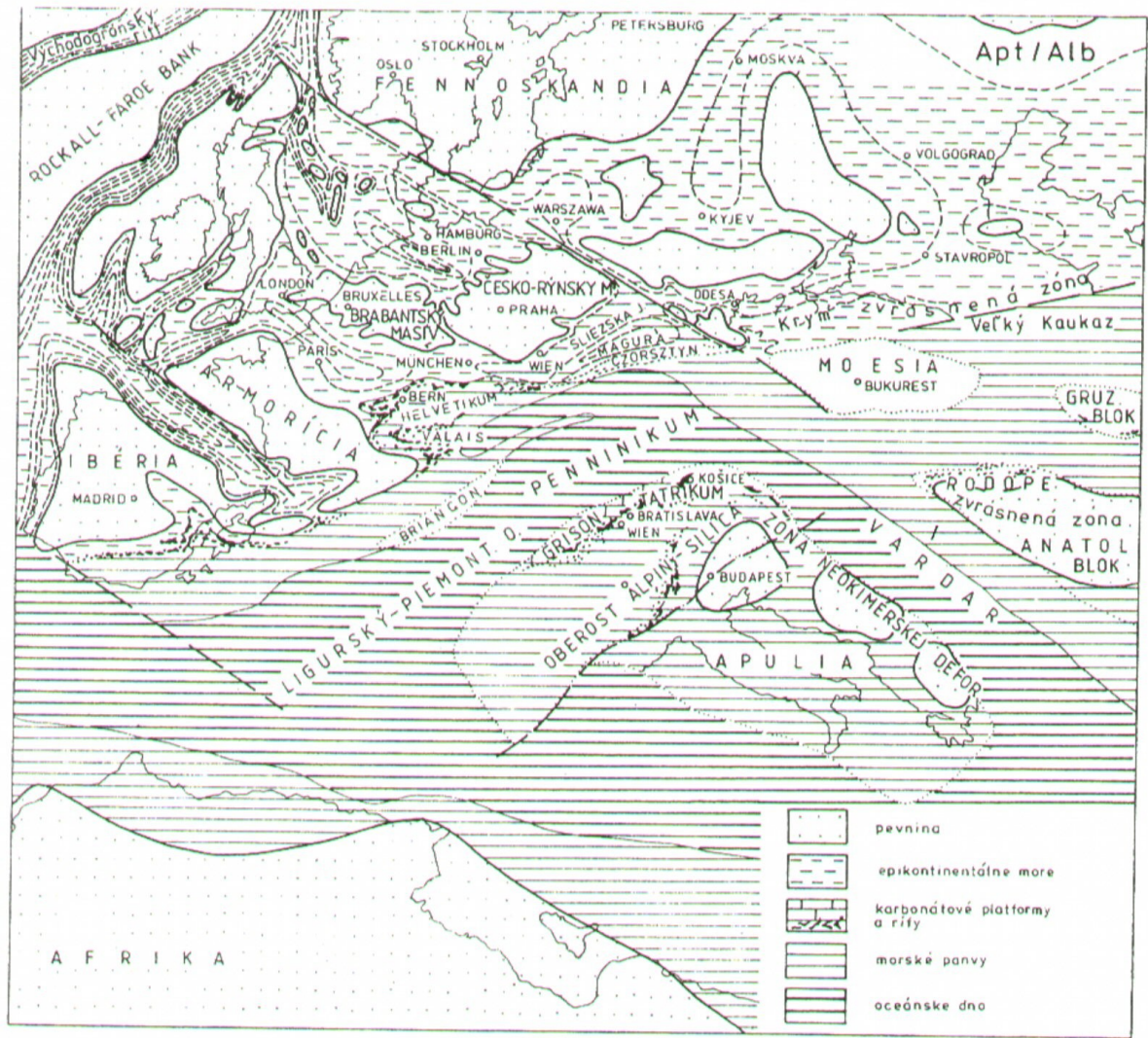
Obrázok 3.3: Paleogeografická schéma oblasti strednej Európy počas vrchného triasu



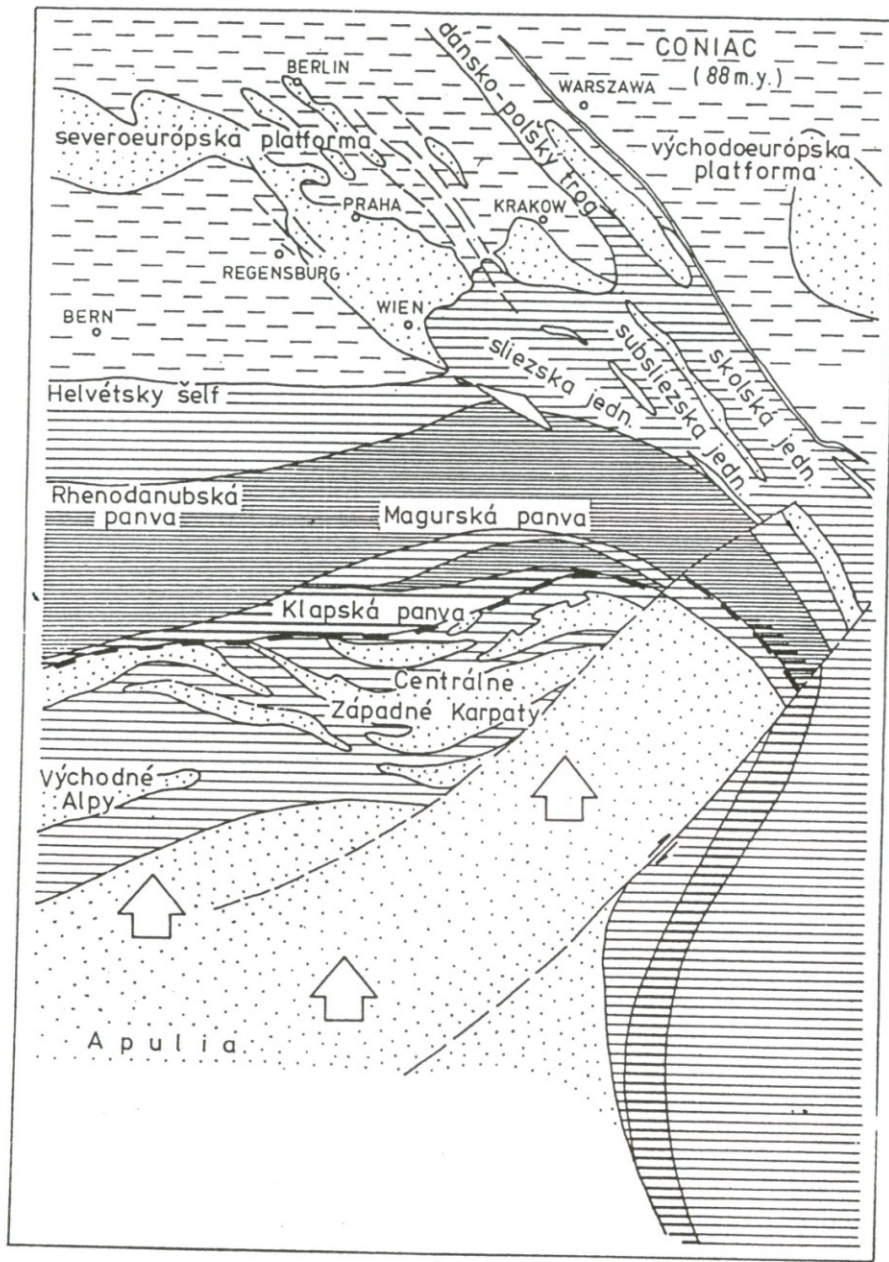
Obrázok 3.5: Paleogeografická schéma oblasti strednej Európy počas vrchného liasu



Obrázok 3.7: Paleogeografická schéma strednej Európy vo vrchnej jure



Obrázok 3.8: Paleogeografická schéma strednej Európy počas strednej kriedy



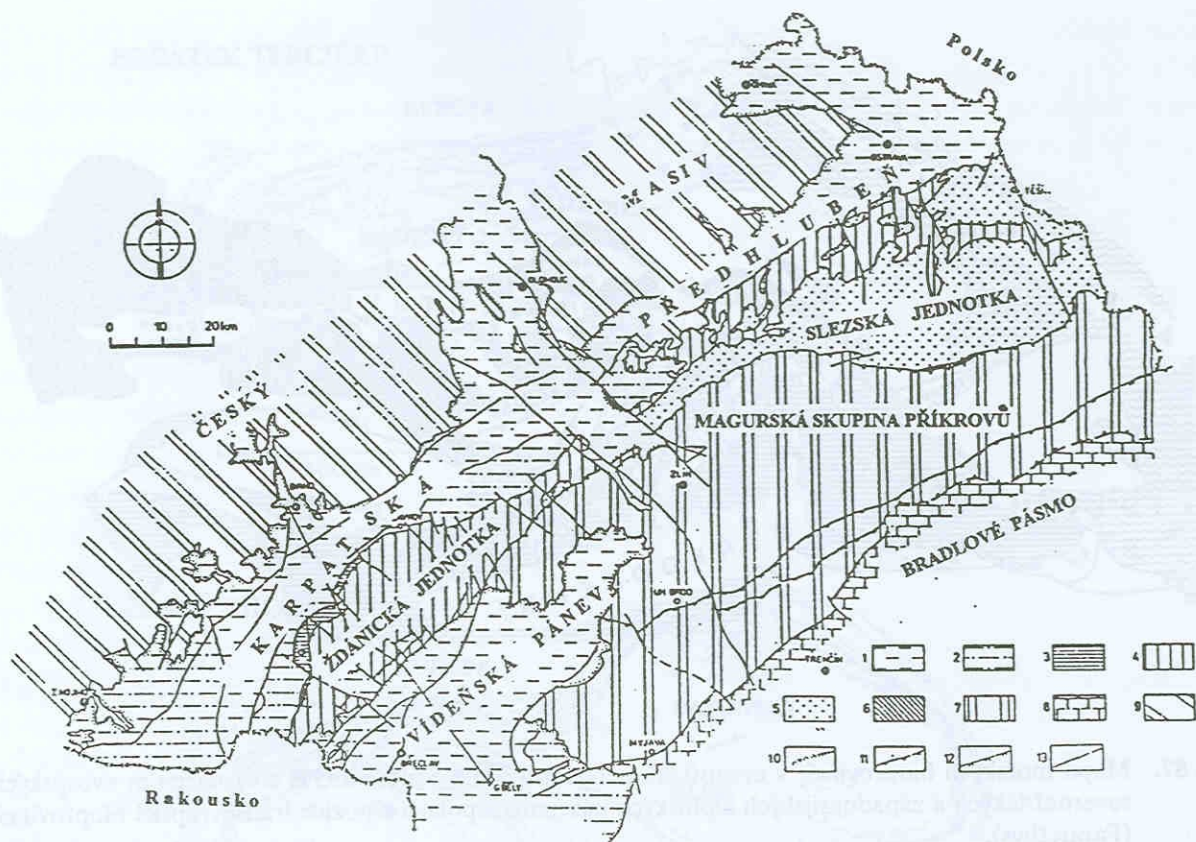
Mesozoic and Tertiary of the Flysch belt

Vnější krosněnská skupina příkrovů – pouzdřanská okrajová jednotka

- ždánicko-poslezská jednotka
- zdounecko-slezská jednotka
- předmagurská jednotka

Vnitřní magurská skupina příkrovů – račanská jednotka

- bystrická jednotka
- bělokarpatská jednotka



Obr. 88. Schéma geotektonických jednotek Západních Karpat na Moravě. Legenda: 1 – postorogenní sedimenty (baden – pliocén), 2 – spodní miocén karpatské předhlubně a vídeňské pánve, 3 – pouzďfanská jednotka, 4 – ždánicko – podslezská jednotka, 5 – slezská a zdounecká (z) jednotka, 6 – předmagurská jednotka, 7 – magurská skupina příkrovů, 8 – bradlové pásmo, 9 – Český masív, 10 – erozivní hranice, 11 – čelo příkrovů, 12 – čela tektonických šupin, 13 – zlomy.

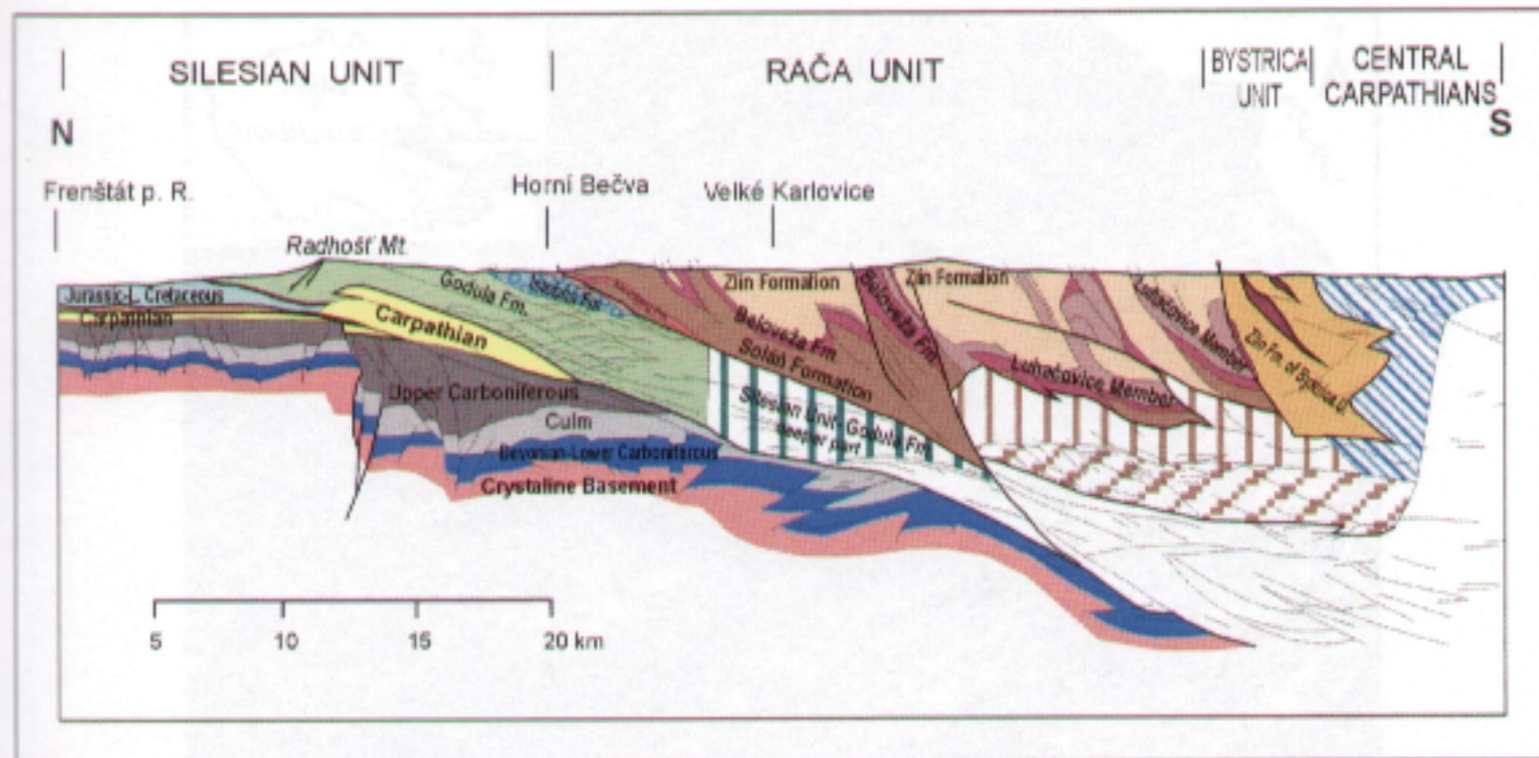


Figure 2: Geological section of the Czech portion of Western Carpathians (after Menčík 2004).

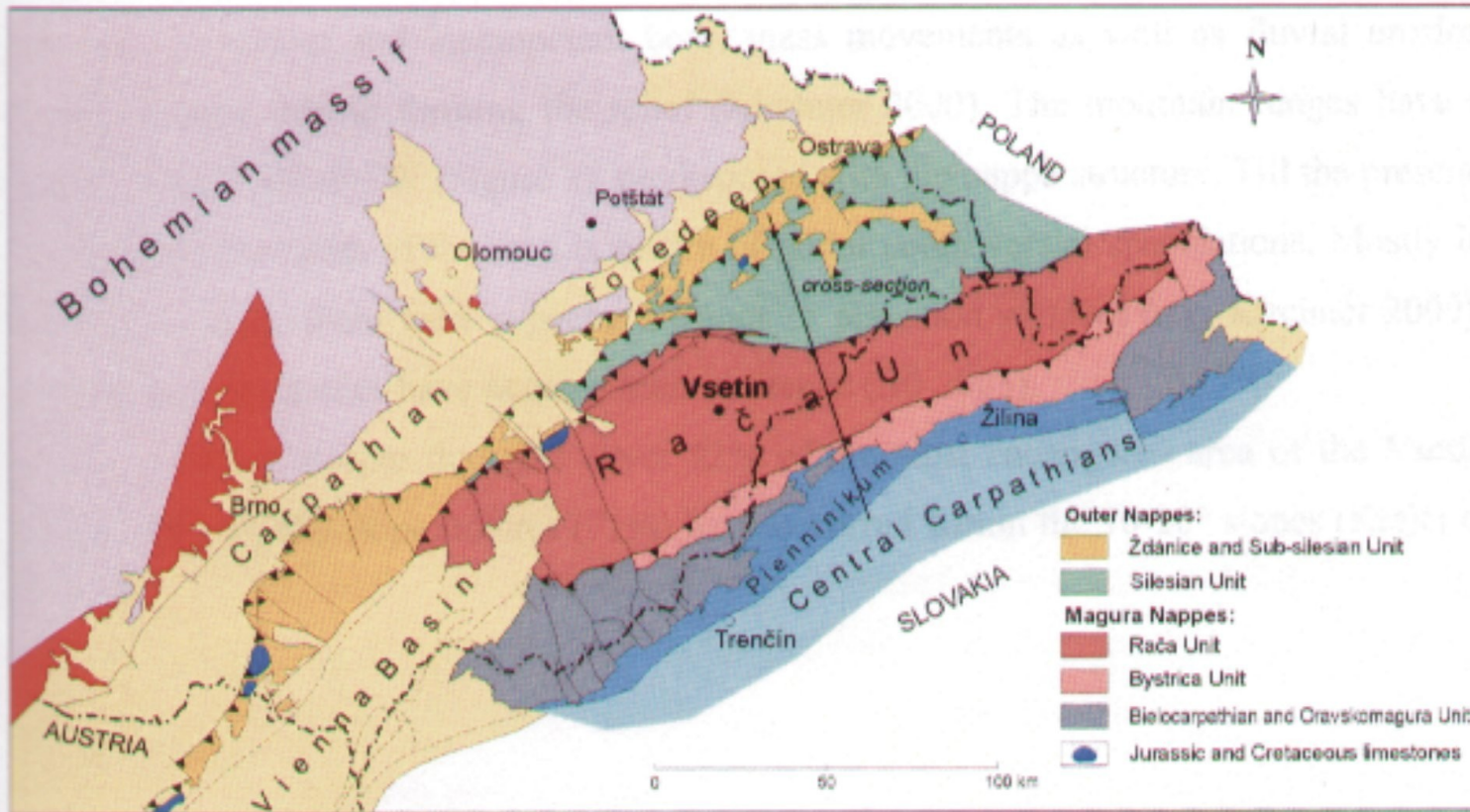
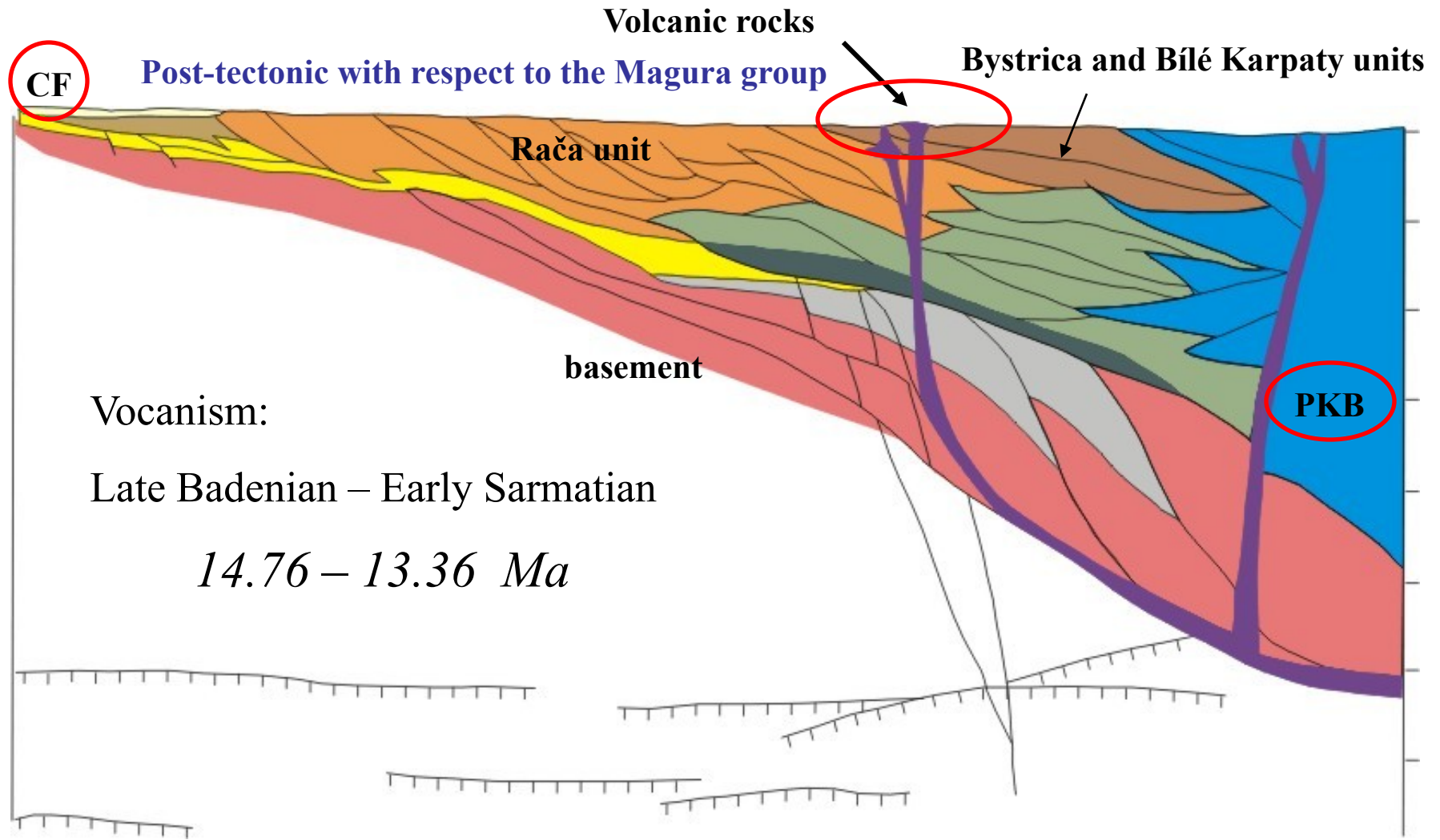


Figure 1: Geological map of the Czech portion of Western Carpathians (after Pícha et al. in press.).

GEOLOGICAL CROSS-SECTION



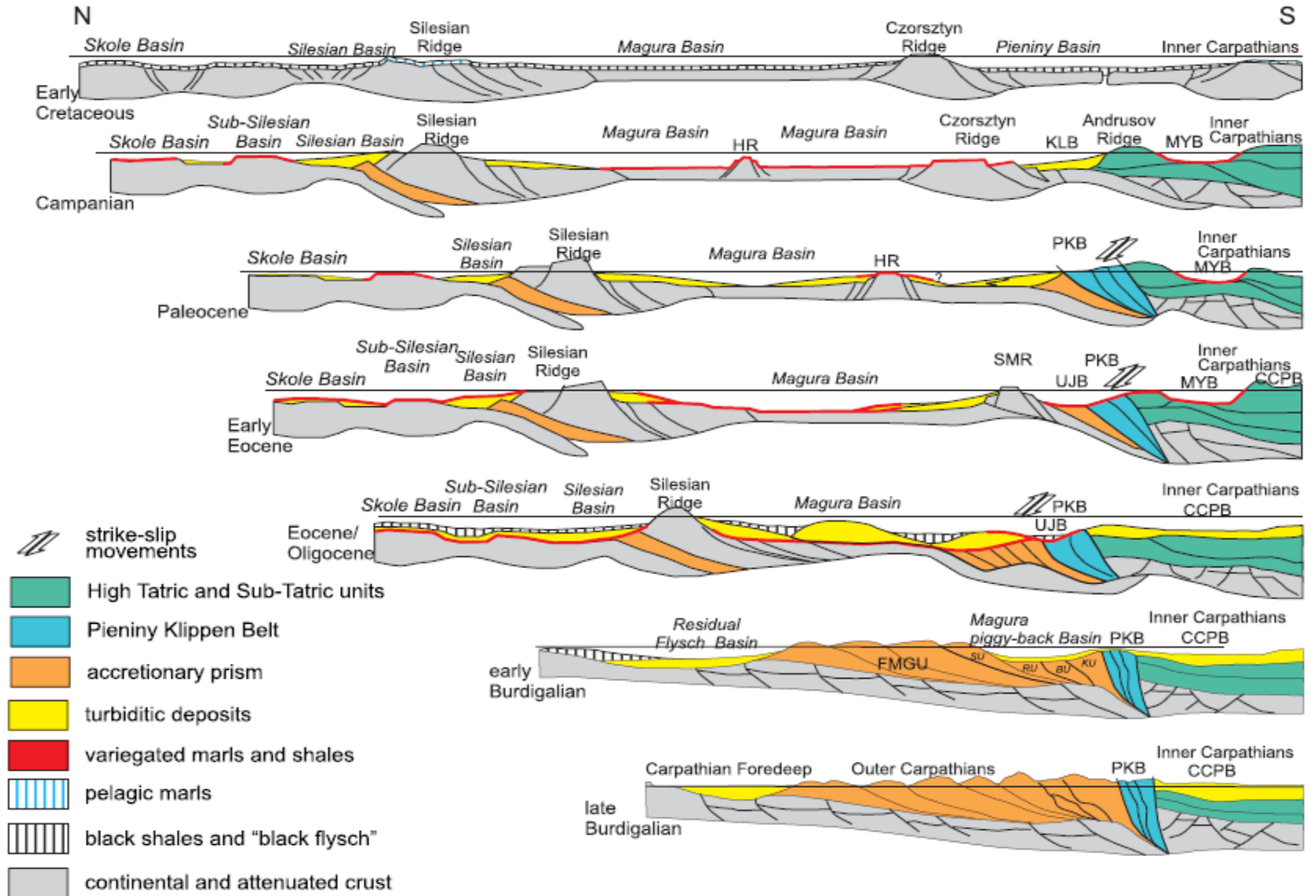
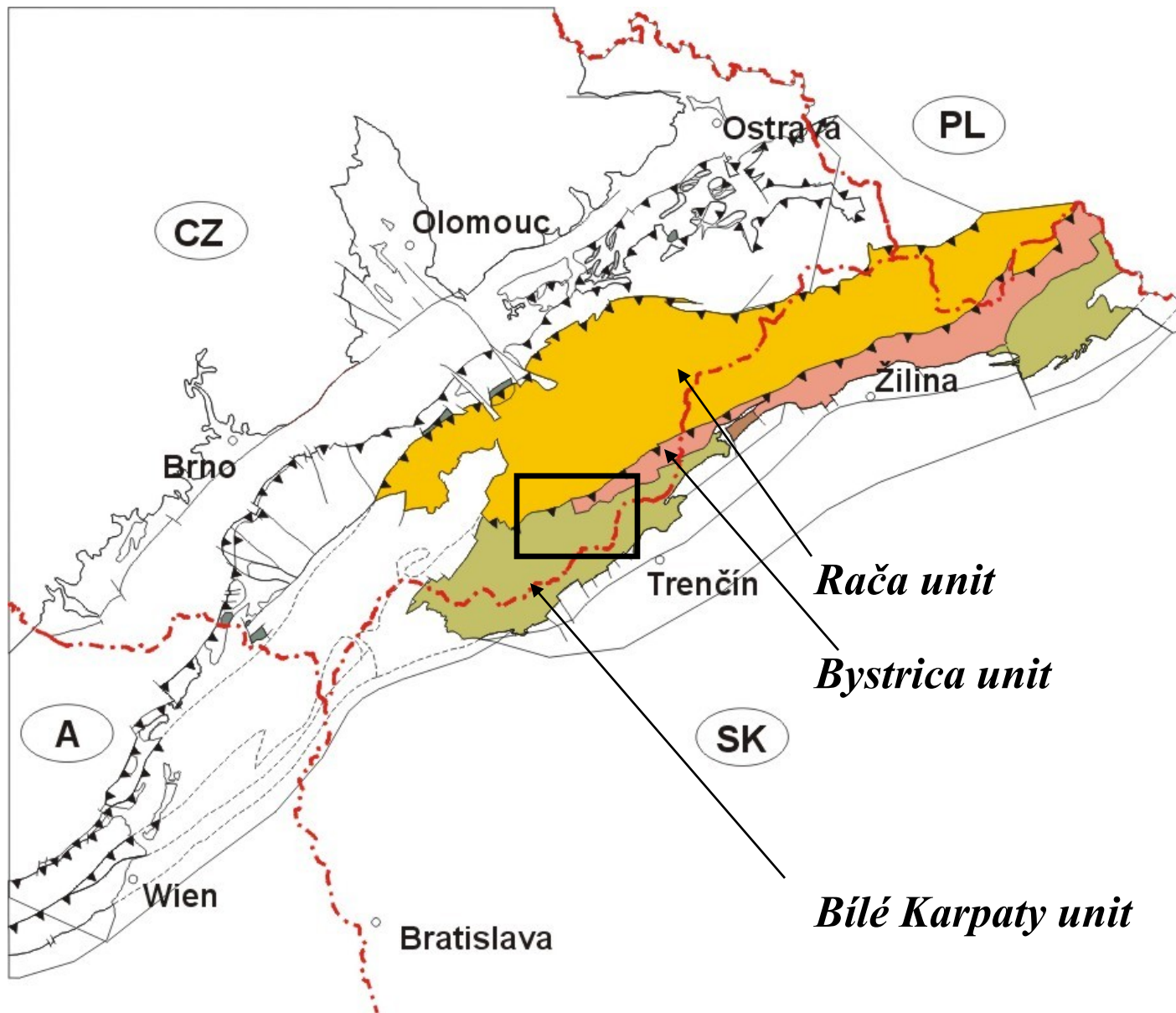


Fig. 5. Early Cretaceous–Early Miocene palinspastic evolutionary model for the Western Carpathians, not to scale (based on Oszczypko, 1999, supplemented)

CCPB — Central Carpathian Paleogene Basin, FMGU — Fore-Magura group of units, Su — Siary Subunit, Ru — Rača Subunit, Bu — Bystrica Subunit, Ku — Krynica Subunit, HR — Hluk Ridge, UJB — Ujak Basin, KLB — Klapa Basin, MYB — Myjava Basin, PKB — Pieniny Klippen Belt, SMR — South Magura Ridge



Sedimenty magurské skupiny příkrovů představují pestrou a místy až nesourodou směs hlubokomořských facií od bathyálních hemipelagických slínů přes nejrůznější gravitační sedimenty až po abysální jíly. Na území v. Moravy klíčová pozice, a to jak plošným rozšířením, tak celkovou mocností.

Račanská jednotka

Valouny, olistolity triasových a jurských hornin v paleogenních slepencích. Při čele račanské jednotky u **Kurovic** se nachází jediny tektonický útržek (bradlo) sedimentů svrchní jury a spodní křídly (kurovické vápence-svrch. jura sp. křída a tlumačovské slínovce – sp. křída).

Flyšová siliciklastická sedimentace pak začíná v račanském sedimentačním prostoru v hauterivu a je ukončena ve spodním oligocénu.

Ekvivalenty **gaultského flyše** z oblasti Východních Alp - jemnozrnné pískovce až prachovce a černošedé vápnité jílovce, hauteriv-cenoman. turbidity distálních facií

Kaumberské souvrství - výrazně pelitický vývoje s dominantním zastoupením rudohnědých a zelených nevápnitých jílovců. cenoman-campan. pelagické jílovce až drobně rytmické distální turbidity

Soláňské souvrství – typicky flyš, střídání pískovců a jílovců, 3 členy, nejvyšší proximalní flyš už paleocenní.

Belovežské souvrství - drobně rytmický flyš, převaha jílovců, hlubokovodní prostředí, tektonický klid.

Zlínské souvrství – značné faciální rozrůznění. Proximální turbidity (hrubozrnné pískovce a slepence), typická flyšová sedimentace s proměnlivým zastoupením jílovců

Bystrická jednotka

Na území v. Moravy se člení pouze na belovežské souvrství a bystrické vrstvy zlínského souvrství. Analogický vývoj ve spodní části s račanskou jednotkou.

Belovežské souvrství - hrubozrnné pískovce a pestré jílovce, drobně rytmický flyš.

Stáří svrchní paleocén až spodní eocén.

Bystrické souvrství - turbidity s převahou vápnatých jílovců a slínovců nad pískovci.

Bělokarpatská jednotka

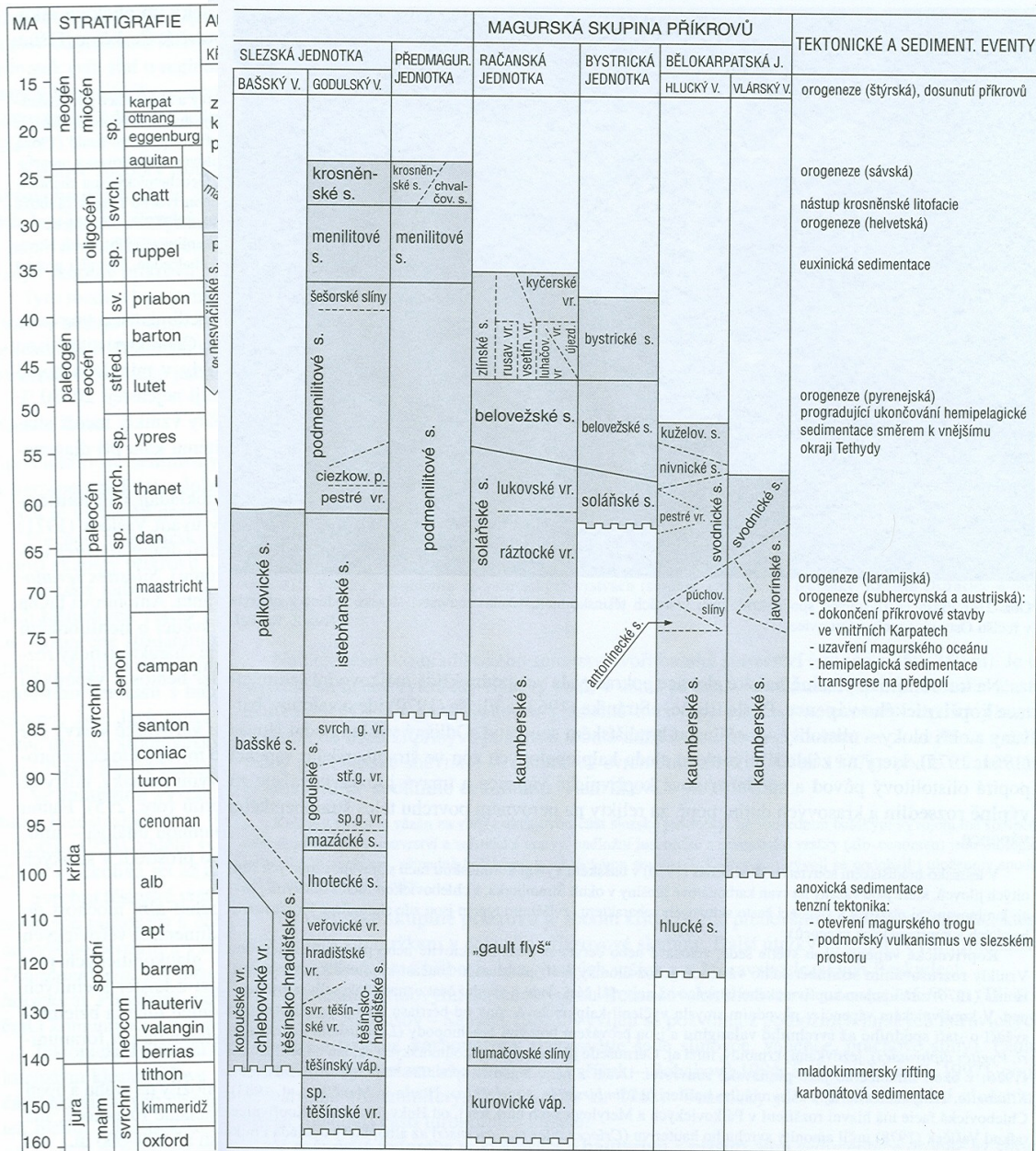
Člení se na **hlucký a vlárský** faciální vývoj. Hlucký vývoj je tvořen sedimenty spodní křídly až spodního eocénu. Pro hlucký vývoj jsou charakteristické spodnoeocenní vrstvy, které ve vlárském vývoji bělokarpatské jednotky chybějí.

Hlucký vývoj má hlavní rozšíření v jz. části Bílých Karpat.

Hlucké souvrství - spodní část černošedé až černé jílovce, vápnité jílovce a slíny, výše ubývá jílovců, objevují se vložky vápenců. Hemipelagity, pelagity, kalciturbidity.

Kaumberské souvrství - šedé, zelenošedé, zelené, rudohnědé nevápnité jílovce, ojedinělé slabé vložky pískovců. Hemipelagity a turbidity uložené pod hladinou CCD, bathyál až abysál. Cenoman - svrchní senon.

Púchovské slíny - Pelagity bathyálu uložené nad CCD. Maastricht.



Polarita orogenu

Obr. 213. Stratigrafické schéma mezozoika a terciéru flyšového pásma Západních Karpat na Moravě a ve Slezsku (R. Brzobohatý – Z. Stráník, orig.). s. – souvrství, vr. – vrstvy, váp. – vápence, p – pískovce, V. – vývoj, J. – jednotka.

Bělokarpatská jednotka

Člení se na **hlucký a vlárský** faciální vývoj. Hlucký vývoj je tvořen sedimenty spodní křídly až spodního eocénu. Pro hlucký vývoj jsou charakteristické spodnoeocenní vrstvy, které ve vlárském vývoji bělokarpatské jednotky chybějí.

Hlucký vývoj má hlavní rozšíření v jz. části Bílých Karpat.

Hlucké souvrství - spodní část černošedé až černé jílovce, vápnité jílovce a slíny, výše ubývá jílovců, objevují se vložky vápenců. Hemipelagity, pelagity, kalciturbidity.

Kaumberské souvrství - šedé, zelenošedé, zelené, rudohnědé nevápnité jílovce, ojedinělé slabé vložky pískovců. Hemipelagity a turbidity uložené pod hladinou CCD, bathyál až abysál. Cenoman - svrchní senon.

Púchovské slíny - Pelagity bathyálu uložené nad CCD. Maastricht.

Antonínské souvrství - turbiditní rytmy do 3 m mocné. Na bázi jsou tvořeny písčito-prachovitými vápence, detritickými vápenci s četnými křemennými zrny, výše hnědavě šedými, silně vápnitými jílovcí až slínovci a světle okrovými slíny. Biofacie hemipelagitů obsahuje vzácně typické prvky svahové biofacie. Sedimentaci poblíž kolísající CCD. Campan-maastricht.

Svodnické souvrství. Střídání vápnitých jílovců s vápnitými, drobovými pískovci. Distální filipovskou a proximální suchovskou litofacií. Pro suchovskou litofacií jsou typické pískovcové polohy charakteru debris flow. Stáří maastricht-paleocén

Nivnické souvrství - drobně až středně rytmický flyš s převahou jílovců - . Střídání vápnitých jílovců s vápnitými, drobovými pískovci.

Kuželovské souvrství - převaha vápnitých jílovců, slabé vložky jemnozrnných vápnitých pískovců., ojedinělé pelokarbonáty. Spodní části tokového režimu turbiditních vějířů. Relativně hojný výskyt pelagitů v hlubších částech pánve převážně pod CCD

Pestré vrstvy svrchního paleocénu a spodního eocénu - představují drobně rytmický flyš s naprostou převahou pelitů.

Vlárský vývoj bělokarpaté jednotky se člení na kaumberské, javorinské a svodnické souvrství. Sestává ze dvou dílčích příkrovů, z nichž jižněji položený se označuje jako příkrov javorinský.

Kaumberské souvrství má obdobnou litologickou charakteristiku jako kaumberské souvrství vývoje hluckého.

Javorinské souvrství - Pískovce se drobně až středně rytmicky střídají se zelenošedými, převážně nevápnitými jílovci, nad kterými převládají v poměru 4:1

Svodnické souvrství odpovídá svodnickému souvrství hluckého vývoje.

V magurském sedimentačním prostoru máme pouze **nepřímé doklady pro existenci oceánské kůry** (jura-křída).- výskyt manganových konkrecí, projevy silifikac, abysální biofacie mikrofauny s extrémně nízkým přínosem organického a terestrického detritu. akrečního klínu sedimentů nasvědčující pro vznik nad typickou subdukční zónou.

Vnější krosněnská skupina příkrovů – pouzdřanská okrajová jednotka

- ždánicko-poslezská jednotka
- zdounecko-slezská jednotka
- předmagurská jednotka

Předmagurská jednotka -vyskytuje se v neprůběžném pruhu mezi slezskou a račanskou jednotkou vsv. až v. od Holešova.

Zdounecko-slezská jednotka — pouze v okolí Soběsuk, Campan-oligocen, převládají jílovce.

Zdounecká jednotka — pouze v okolí Soběsuk, Campan-oligocen, převládají jílovce.

Slezská jednotka

střížný příkrov přesunutý na podslezskou jednotku. V depresi sedimentačního prostoru slezské jednotky se usadily v období svrchní jury a křídly na svazích bašské elevace sedimenty bašského vývoje a na svazích slezské elevace (kordiléry) sedimenty godulského vývoje (

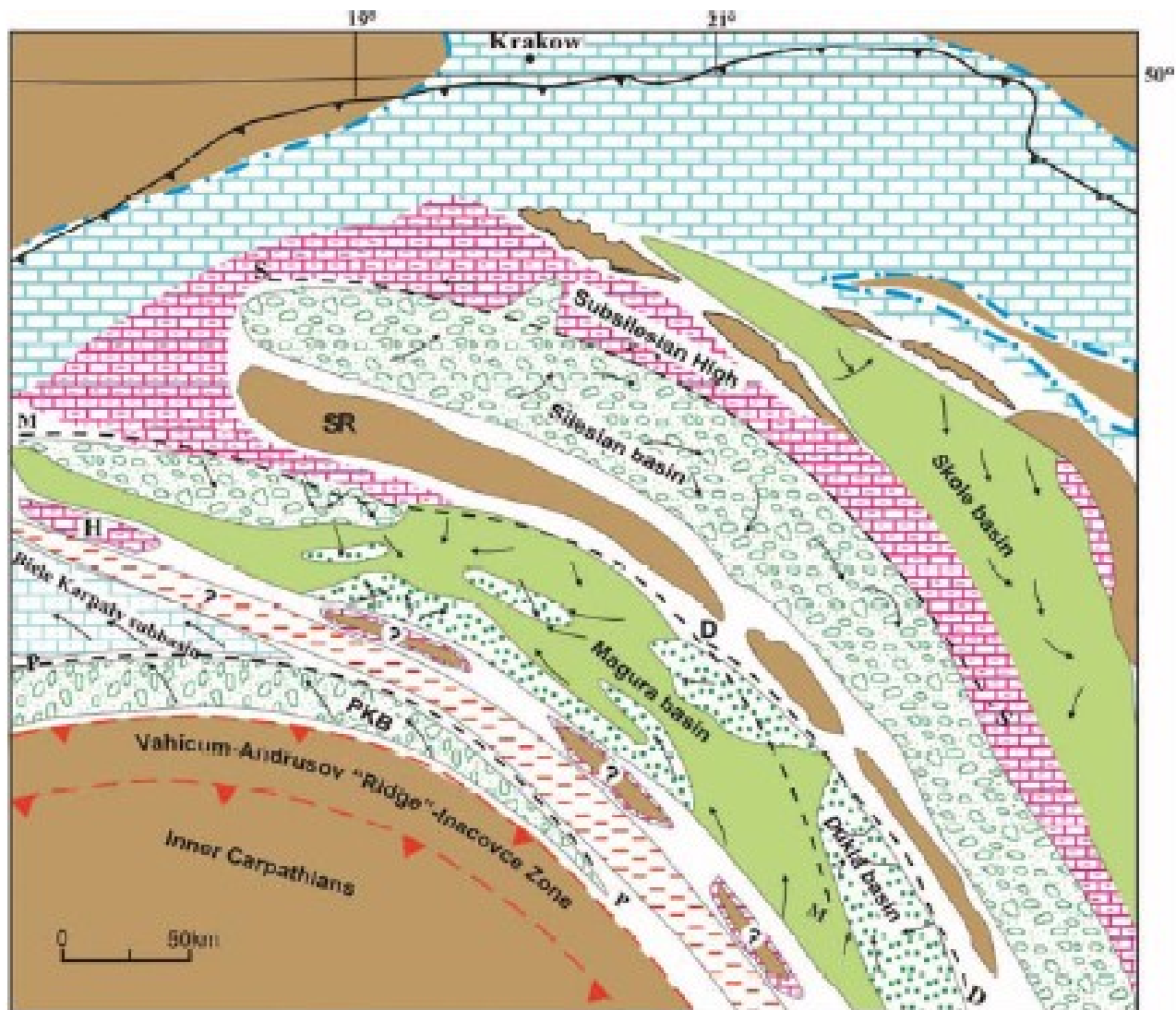
Hlavní výskyty - Moravskoslezské Beskydy a Podbeskydí, oxford-svrchní eocen

Dva základní celky, spodní převážně **pelitický**, od oxfordu do cenomanu (tj. celek s nižším podílem turbiditů) a svrchní, převážně **flyšový** od turonu do oligocénu (tj. celek s vysokým podílem turbiditů).

Podle litostratigrafického a faciálního vývoje a podle tektonické pozice (tj. od S k J) tři základní celky, které jsou horizontálně spojeny pozvolnými přechody

- **vývoj kelčský**, převážně pelitický, příčně orientovaná tělesa hrubých klastik a skluzů. redukována křída, svah pánve
- **vývoj bašský**, omezený podíl turbiditů, skluzová tělesa vápenců, úpatí
- **vývoj godulský**, juře až cenomanu neflyšový, flyšová facie zcela převládá nad neflyšovou od turonu do oligocénu.

Vývoj kelčský - je rozšířen mezi údolími Bečvy a Ostravice. Tento vývoj tvoří nejspodnější skupinu tektonických šupin.



- | | | | |
|---|--|--|--|
|  | Thin to medium-bedded carbonate turbidites |  | Fluxoturbidites and debris-flow deposits |
|  | Northern limit of sedimentary areas:
P-Pieniny, M-Magura, S-Silesian, D-Dukla |  | Area of uncertainty |

Fig. 13. Maastrichtian palaeogeographic and palaeostatic map of the Outer Carpathian sedimentary area (partly after Kozłowski 1962). For abbreviations

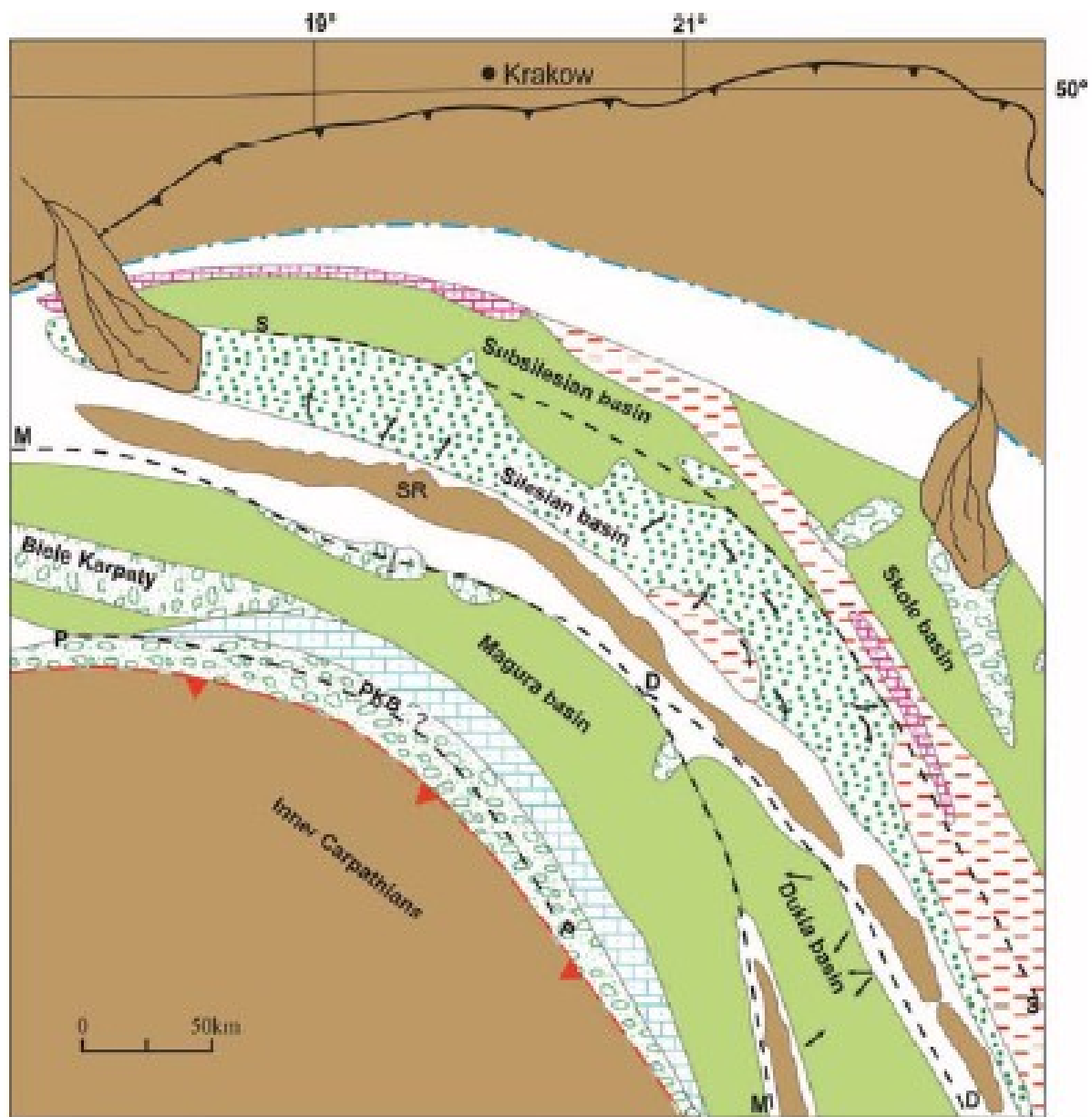


Fig. 14. Palaeocene palaeogeographic and palinspastic map of the Outer Carpathian sedimentary area (partly after Książkowski 1962). For abbreviations see Fig. 12

Bašský vývoj

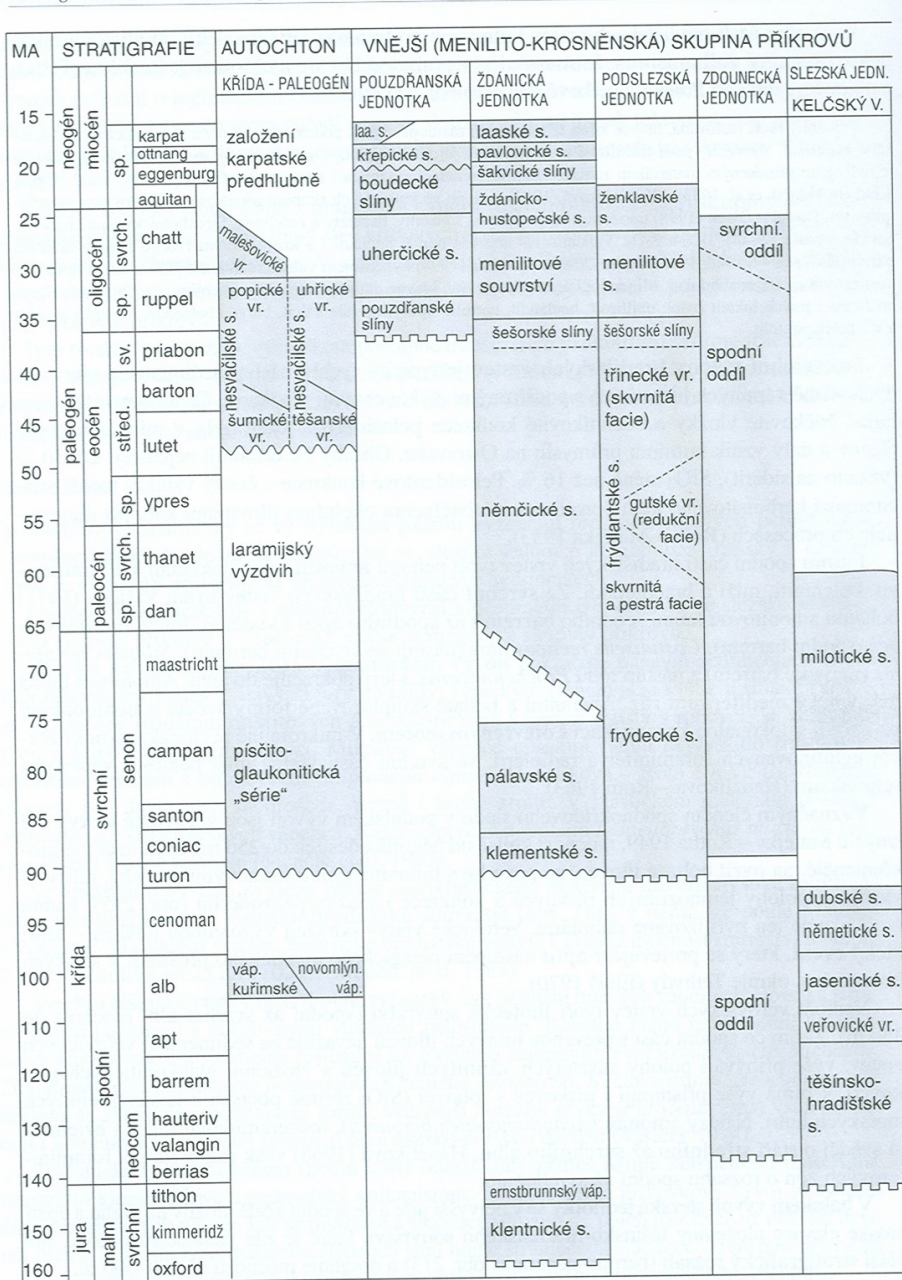
Omezený na Štramberskou pahorkatinu.

Štramberský vápenec - prostředí karbonátové plošiny nebo rifového komplexu. Bloky uvnitř těšínsko-hradištského souvrství. Tektonika x olistolity?

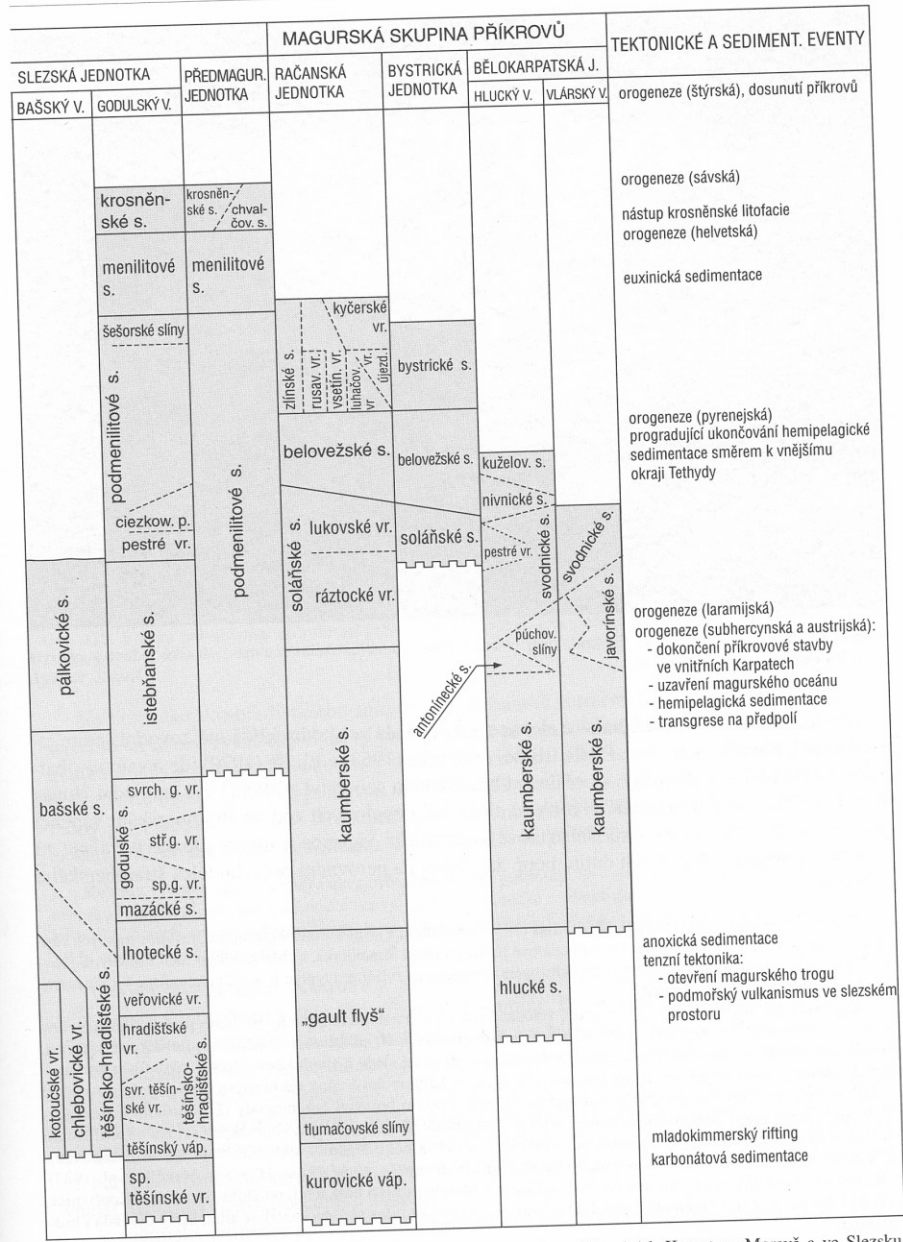
Těšínsko-hradištské souvrství – faciální diferenciace od jílovů až po slepence, ?olistolity

Bašské souvrství – kalciturbidity s písčitou příměsí, slínovce a jílovce, bloky štramberského vápence.
Alb - campan

Palkovické souvrství - převaha hrubozrnných až střednozrnných křemenných pískovců, tenké vrstvy černošedých jílovců, do nadloží větší mocnosti. Campan – dan. Proximální turbidity-fluxoturbidity.



— presunutí ~~~~~ transgrese s. - souvrství vr. - vrstvy váp. - vápence



Obr. 213. Stratigrafické schéma mezozoika a terciéru flyšového pásma Západních Karpat na Moravě a ve Slezsku (R. Brzobohatý – Z. Stránek, orig.). s. – souvrství, vr. – vrstvy, váp. – vápence, p – pískovce, V. – vývoj, J. – jednotka.

Godulský vývoj

Nejmocnější (více než 8,5km) a nejrozšířenější vývoj, tvoří godulský prákrov a značnou část těšínského příkrovu, vnitřní část výplně slezské pánve. Hlavní hřebeny Beskyd.

Spodní těšínské souvrství – malm, převážně slínovcový vývoj (pelagity) se zanedbatelnými kalciturbidity

Těšínské vápence - svrchní tithon, berrias - spodní valangin, kolísavá mocnost, stratigraficky nižší facie kalových vápenců, v jejím nadloží, význačná hrubě klastické kalciturbidity a vápencové fluxoturbidity

Těšínsko-hradištské souvrství - (valangin - spodní alb) je charakterizováno dvěma základními faciemi

- **facie svrchnotěšínského typu**, která je převážně pelitická s polohami turbiditů (pískovce, kalciturbidity)
- **facie hradištského typu** - tělesa střednozrnných až hrubozrnných křemenných a drobových pískovců především ve vyšší části sledu.

Výlevná tělesa, tufy a tufity **těšínitové vulkanické asociace**. Přítomnost boreálních prvků fauny.

Veřovické souvrství (apt) - pelitický pelagický vývoj v anoxické facii, který zčásti zastupuje vyšší část těšínsko-hradištské souvrství ve střední části pánve.

Lhotecké souvrství (alb) - tvořeno dvěma základními faciemi:

- **facie pelitická**, jílovce, v nejvyšší části křemenné a drobové pískovce s glaukonitem.
- **vývoj flyšový** s centimetrovými až decimetrovými polohami turbiditů, laterálně přechází do bašského souvrství bašského vývoje

Godulské souvrství - nástup masivní flyšové sedimentace, která ve slezské sedimentační pánvi převládla od turonu. Austrijské pohyby. Typický flyš, proměnlivé zastoupení jílovců.

Istebňanské souvrství (campan - paleocén) střídání pásem s převahou pískovců nebo jílovců

Podmenilitové souvrství (paleocén - svrchní eocén) – facie s převahou jílovců až facie s převahou drob a pískovců

Menilitové souvrství -černošedé a čokoládově hnědé jílovce, polohy silicitů, siliciklastických i vápenových turbiditů

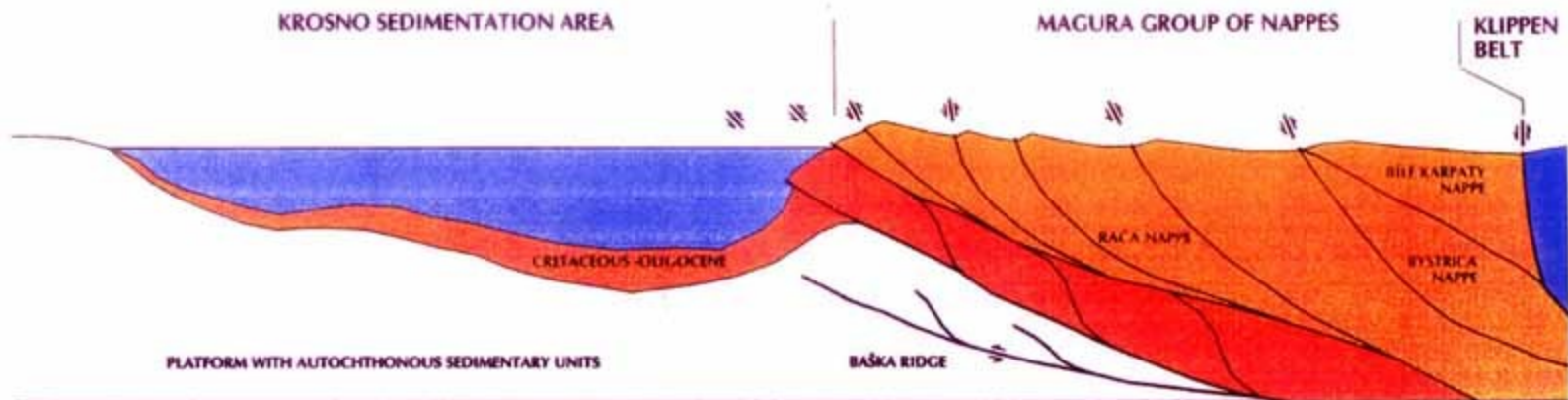
Krosněnské souvrství – typický flyš, rytmické střídání pískovců a jílovců, heklvetské pohyby

Slezský příkrov byl poté vyzdvižen a sunut a na počátku středního miocénu dosunut jako bezkořenný příkrov do dnešní pozice

Těšínity a pikrity (berrias-apt) - projevy krátkodobého riftingu na kontinentální kůře.

Ryodacitový až andezitový vulkanismus - tufity z godulského a istebňanského souvrství. Vzhledem k tomu, že vulkanické projevy časově spadají až do stadia flyšové sedimentace, nejedná se o typický riftový vulkanismus

LATE OLIGOCENE, HELVETIAN OROGENY, 25Ma



During the Helvetian orogeny the sedimentary fill of the Magura basin was folded and detached. In the Outer Flysch basins the Krosno flysch lithofacies replaced the hemipelagic and pelagic environment of the Menilite and Submenilite Formations.

Ždánicko-podslezská jednotka

Ždánická jednotka se směrem k SV napojuje na jednotku podslezskou, se kterou je slučována do jednoho názvu.

Ždánická jednotka

Tvoří především Pavlovské vrchy a Ždánický les, waschberská jednotka v Rakousku. Tektonické útržky jurských a křídových hornin (bradla) – biosferická rezervace Pavlovských vrchů.

Člení se na **ždánický příkrov** a strukturně vyšší dílčí **příkrov čejčsko-zaječské zóny**.

Na flyšové horniny obou dílčích příkrovů transgredují spodnomiocenní sedimenty šakvické synklinály a Kobylského jezera

Klentnické souvrství – vápenité jílovce a slíny, výše vápencové vložky, které postupně převládnu. Oxford-tithon. Hemipelagity, vložky kalciturbiditů. Ve vrchní části laterální zastupování s ernstbrun. vápenci.

Ernstbrunnský vápenec- brekcie, osypové kužele (gravity) z ernstbrunské karbonátové platformy. Tithon-spodní křída.

Brněnská karbonátová plošina se šelfovou karbonátovou sedimentací byla oddělena pánevní oblastí se sedimentací mikulovských slínovců od ernstbrunské karbonátové plošiny. Ta tvořila okraj ždánického sedimentačního prostoru (alochtonního komplexu flyšového pásma.

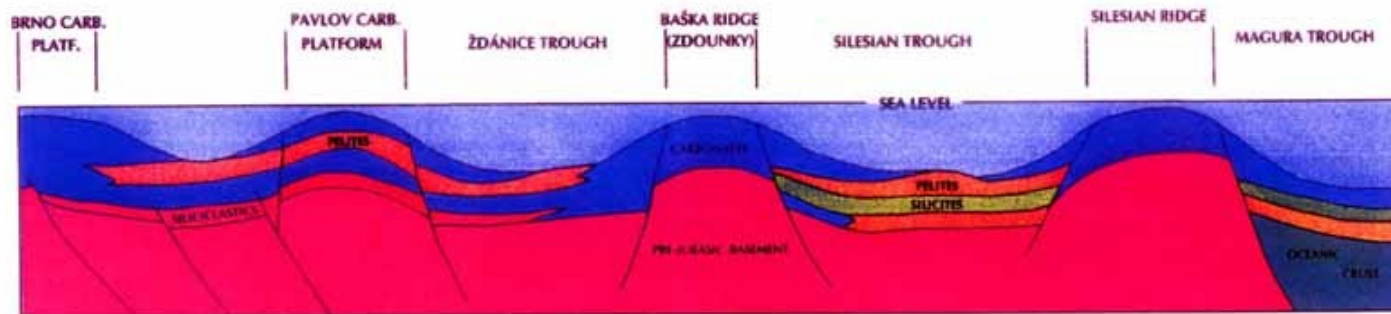
Z plošiny byly derivovány osypové brekcie a sedimenty gravitačních toků ernstbrunnských vápenců a klentnického souvrství, které se střídaly s hemipelagickou sedimentací.

Klementske souvrství - transgresivně na nejvyšších polohách ernstbrunnských vápenců. Glaukonitické pískovce, doprovázené vápnitými jílovci. Svrchní turon až coniac.

Pálavské souvrství - vápnité jílovce až slíny. Coniac-spodní campan

Podmeniltiové souvrství – různé typy jílovců, lokálně polohy pískovců a slepenců. Campan až spodní oligocén

JURASSIC/CRETACEOUS, LATE KIMMERIAN OROGENY, 140Ma



Jurassic rifting of the passive margin caused desintegration of the carbonate platform on the continental crust. The Magura Through formed on the oceanic crust.

Menilitové souvrství - podrohovcové, rohovcové a šitbořické vrstvy. Převaha pelitů.

Ždánicko-hustopečské souvrství – ždánické písky, hustopečské slíny, rytmické střídání pískovců a prachovců s jílovci . Oligocén-eger.



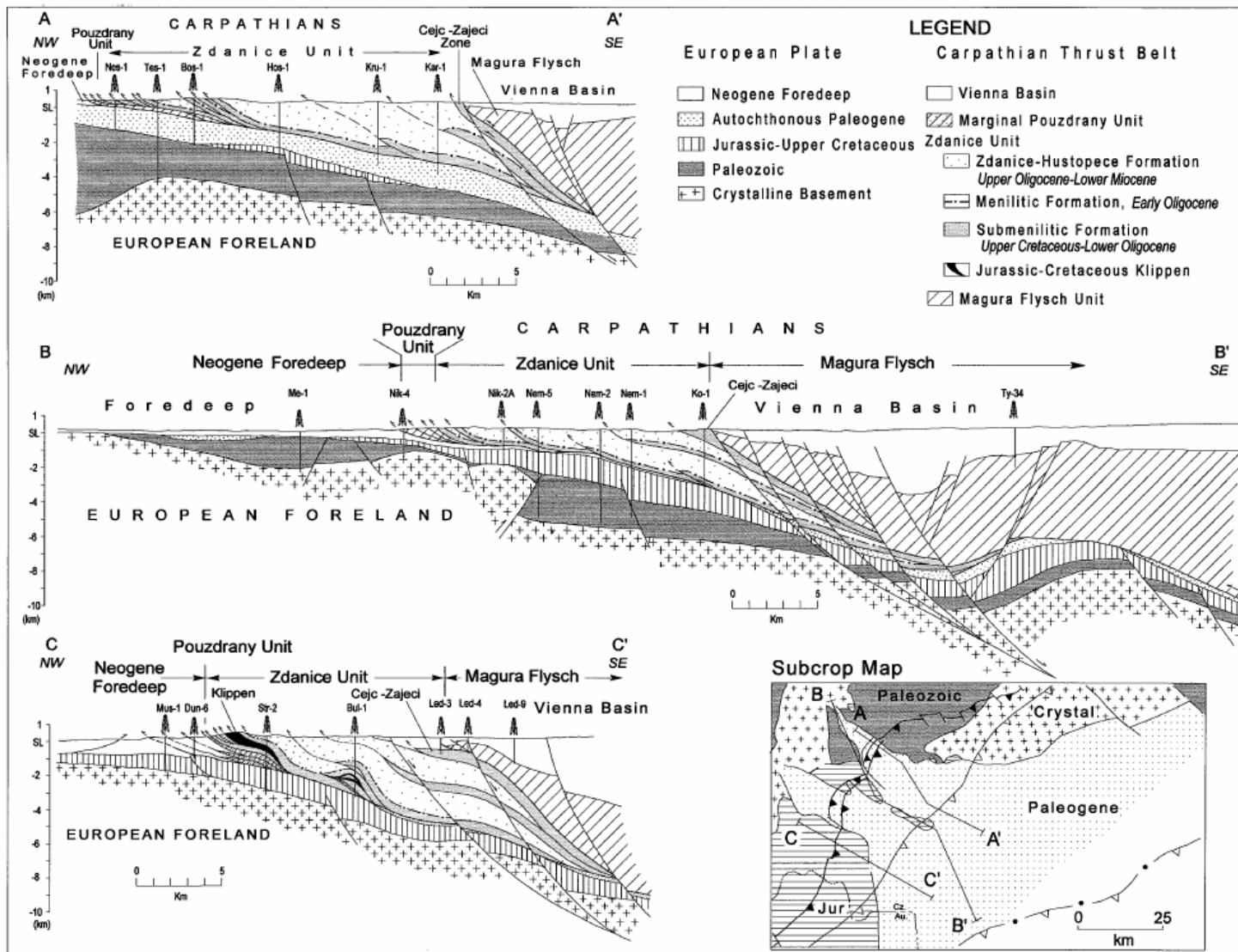
Pavlov Hills, Ernstbrunn limestones, uppermost Jurassic in Devín tectonic klippe

Na zvrásněné sedimenty ždánické jednotky s.s. a čejčsko-zaječské zóny transgredují spodnomiocenní uloženiny výplně **šakvické synklinály a kobylského jezera**. Obsahuje především pelitické sedimenty eggenurgu až karpátu s relikty badenu. Naložený spodní miocén na ždánické jednotce nevykazuje oproti ždánicko-hustopečského souvrství výraznější tektonické deformace

Podslezská jednotka

Zahrnuje převážně pelitické, neflyšové uloženiny svrchní křídy až oligocénu. Turbidity až při sedimentaci ždánicko-hustopečského souvrství.

Nasunuta během štýrských pohybů pod tlakem slezské jednotky na sedimenty karpatské předhlubně.



Cross sections A–Ab, B–Bb, and C–C' through the frontal units of the Carpathian thrust belt, the successor Vienna basin, and the underlying European plate with the Autochthonous Paleogene and the Neogene foredeep. Section A–A' passes through the Paleogene fill of the Nesvacilka valley/submarine canyon. Some of the faults related to Jurassic rifting were apparently reactivated as transtensional faults during the opening of the pull-apart Vienna basin in Middle Miocene times. (Location of sections in Fig. 1)

STRATIGRAPHY				PRINCIPAL TECTONO-STRATIGRAPHIC UNITS			MAJOR TECTONIC AND DEPOSITIONAL EVENTS
General		Local		AUTOCHTHONOUS UNIT	MARGINAL POUZDRANY UNIT	Vienna Basin ZDANICE UNIT	
PLIOCENE	L	Piacenzian	Romanian	<p>NEOGENE FOREDEEP</p> <p><i>Diatomites</i> 2 900 m</p> <p>Uplifting and Erosion</p> <p>?</p> <p>Laramide Uplifting</p> <p>AUTOCHTHONOUS CRETACEOUS 200 m</p> <p>?</p> <p>JURASSIC CARBONATE PLATFORMS AND BASINS</p> <p>PALEOZOIC AND PRECAMBRIAN BASEMENT</p>	<p>Folding and Thrusting</p> <p>?</p> <p>30 m KREPICE FM. 400 m</p> <p>BOUDKY MS.</p> <p>UHERCICE FM. 200 m</p> <p><i>Diatomites</i> 20 m</p> <p>POUZDRANY MARLS 100 m</p> <p>?</p> <p>PALAVA FM. 160 m</p> <p>KLEMENT FM.</p> <p>ERNSTBRUNN LS. KLENTNICE FM.</p>	<p>VIENNA BASIN</p> <p>LAA FM. <i>Diatomites</i> PAVLOVICE FM. 250 m</p> <p>MS. 200 m</p> <p>ZDANICE-HUSTOPECE FM. 1200 m</p> <p>MENILITIC FM. 60 m Sitborice Member Dynow MS. 10 m Menilitic Cherts 4 m Subchert MS. 10 m</p> <p><i>Globigerina Marls</i> 30 m</p> <p>SUBMENILITIC FORMATION 300 m</p>	<p>4. Early Miocene transgression and formation of molasse-type foredeep and pull-apart Vienna basin followed by Middle Miocene thrusting of outer zones of Carpathians</p> <p>3. Late Oligocene deformation of inner Flysch zones and formation of synorogenic foredeeps</p> <p>2. Middle Eocene-Early Oligocene transgression over foreland and Carpathian belt. In Early Oligocene deepening of foreland basin, upwelling and anoxic conditions.</p> <p>1. Formation of foreland basin in Late Cretaceous to Middle Eocene following Late Cretaceous (Austrian) orogeny of inner Alps-Carpathians combined with Laramide uplifting of foreland in Late Cretaceous/Early Paleocene</p> <p>Subduction and collision resulting in deformation and thrusting of Inner Alps-Carpathians</p>
	MIOCENE	E	Zanclean				
L		Messinian	Pontian - Andalusian				
		Tortonian	Pannonian Sarmatian				
M	Serravalian	Badenian					
	Langhian						
	E	Burdigalian	Karpatian Ottnangian				
L	Aquitanian	Eggenburgian					
	Egerian						
OLIGOCENE	L	Chatthian					
	E	Rupelian	Lattorfian				
EOCENE	L	Priabonian					
	M	Bartonian					
	E	Lutetian					
PALEOCENE	L	Ypresian					
	E	Thanetian					
CRETACEOUS	L	Maastrichtian					
	E	Albian					
JURASSIC	M	Campanian					
	L	Santonian					
PALEOZOIC & PRECAMBRIAN	L	Coniacian					
	E	Turonian					
NEOCOMIAN	L	Cenomanian					
	E	Barremian					

Legend:
 FM. - Formation
 LS. - Limestones
 MS. - Marls

Ždánický příkrov je polyfázovou strukturou, při jehož formování se uplatnily **sávské a štýrské** orogenetické pohyby. Účinky starších orogenezí (**helvetské a pyrenejské**), které jsou patrné ve stavbě **magurské skupiny** flyšové, se projeví jen změnou sedimentace ve ždánickém prostoru.

Za sávské orogeneze došlo k odlepení výplně sedimentačního prostoru a k založení ždánického příkrovu. Štýrské vrásnění se výrazněji uplatnilo v čele ždánického příkrovu, než v jeho týlové části

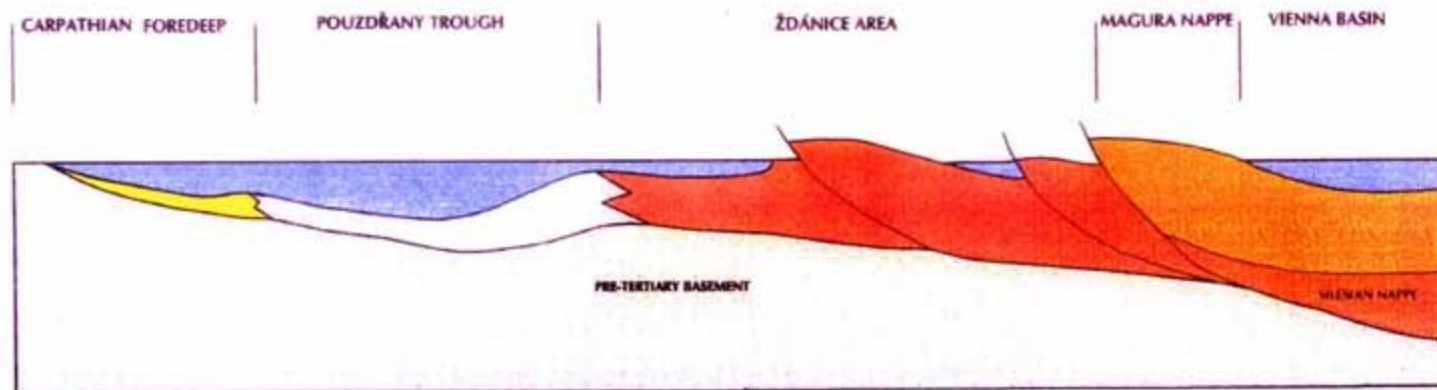
Laramijským pohybům v nejvyšší křídě až paleocénu, kterými začíná neoalpínská etapa ve vývoji Karpat, přisuzujeme nastupující litofaciální diferenciaci podmenilitového souvrství v maastrichtu a zvýšený přínos hrubě klastického materiálu v redukčním vývoji tohoto souvrství v paleocénu.

Odrázem ilyrských a pyrenejských pohybů jsou akumulace hrubých klastik ve středno až svrchnoeocenních polohách podmenilitového souvrství. Změnu v sedimentaci, projevující se střídáním vápnatých pelagitů pelagickými silicity menilitového souvrství, přisuzujeme změnám klimatu.

Ve vnitřní **bělokarpatské** jednotce magurského flyše můžeme předpokládat ukončení sedimentace a začátek orogenního procesu již během **pyrenejské** orogeneze ve svrchním eocénu. Čelo **helvetských** příkrovů magurského flyše se pak stává týlovou zdrojovou oblastí pro **krosněnský** (podslezsko-ždánický a zčásti zřejmě i slezský) sedimentační prostor. Větší část dílčího slezského sedimentačního prostoru byla již pravděpodobně překryta alochtonem magurského flyše.

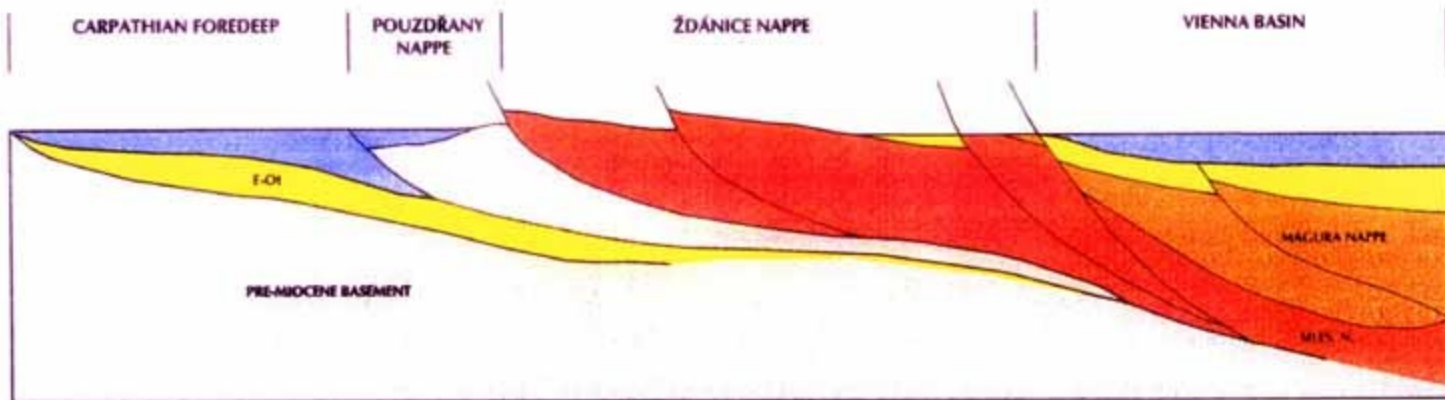
Během **sávské orogeneze** (20 Ma, obr. 5) dochází k iniciálnímu vyvrásnění sedimentů krosněnského (**podslezsko-ždánického prostoru**) a k založení pánve karpatské předhlubně.

PALEOGENE/EARLY NEOGENE, SAVIAN OROGENY, 20Ma



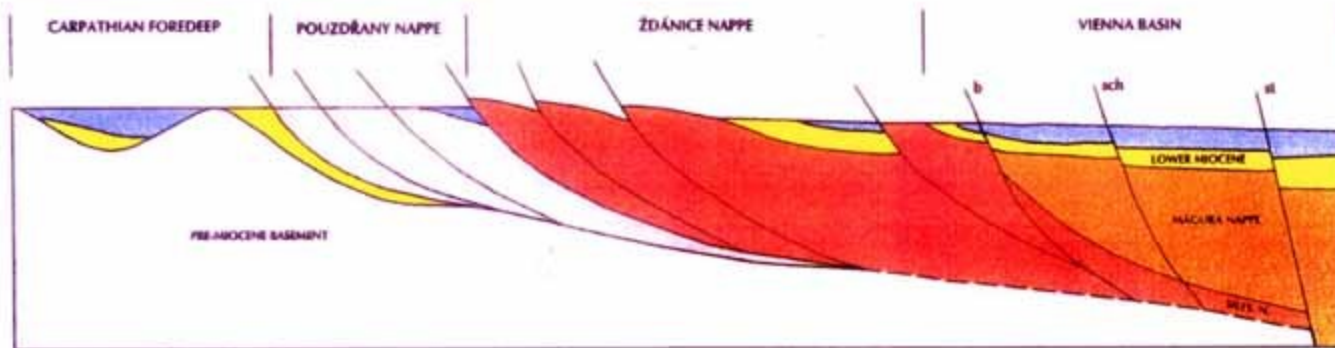
During the Savian orogeny, the sediments of the Ždánice basin were detached and a shear nappe formed. In the Pouzdřany Through the sedimentation was continuous. The Carpathian Foredeep basin was opened. The piggy - back Vienna basin formed on the magura nappe.

EARLY MIOCENE, STYRIAN OROGENY (Pre-Karpatian), 18Ma



During the Early Styrian orogeny, the Pouzdrány nappe was initially thrust and folded. The Ždánice nappe was thrust together with the Pouzdrány nappe over the Lower Miocene sediments of the Carpathian Foredeep.

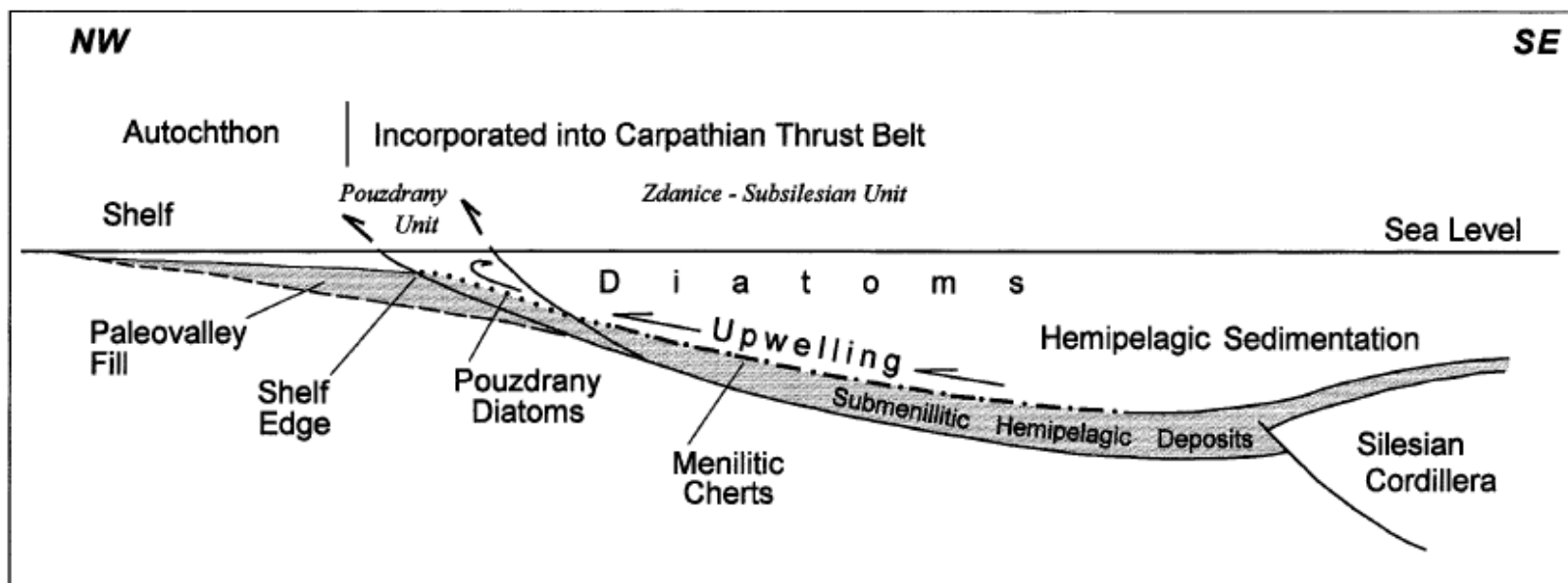
KARPATIAN/BADENIAN, STYRIAN OROGENY, 17Ma



During the Late Styrian orogeny, the Badenian foredeep was opened. The Outer Flysch units (Ždánice and Pouzdřany) were folded and thrust over the Miocene sediments. Vienna basin: due to the tension tectonics a pull-apart basin formed.

Fig. 5 Schematic (not to scale) reconstruction of the Carpathian foreland basin in Early Oligocene time (during deposition of Menilitic cherts). The Menilitic cherts and the Pouzdrany diatomites were deposited in a slope-to-basin environment characterized by upwelling of nutrient-rich deep waters, proliferation of diatomites, and prevalence of anoxic conditions on the bottom

along the active margins of coastal California, where condition for deposition of organic-rich diatomites repeatedly occurred from the Late Cretaceous to the Miocene. The most prominent Monterey Formation of Miocene age is interpreted as being deposited in silled basins with very limited influx of detrital material



Tektonické pohyby, spojené s příkrovovými přesuny sedimentů flyšového pásma byly na j. Moravě ukončeny během **mladoštýrské orogeneze** (17 Ma; obr. 7), kdy byly do příkrovové stavby včleněny částečně sedimenty spodního miocénu (Krejčí-Stráník, 1993). Na s. Moravě došlo k ukončení těchto pohybů až po spodním **badenu** a byla zde založena středno- až srchnobadenská předhlubeň (Opavsko) s evaporitickou sedimentací (Cicha et al., 1985).

Pouzďřanská jednotka

Pouzďřanská jednotka se vyskytuje podél okraje flyšového pásma od Pavlovských vrchů až ke Slavkovu v pruhu širokém do 3 km a rovněž v podloží ždánické jednotky. Obsahuje sedimenty oligocenního až spodnomiocenního stáří

Pouzďřanské slíny - tmavě hnědé, prachovité, vápnité jílovce, spodní oligocén.

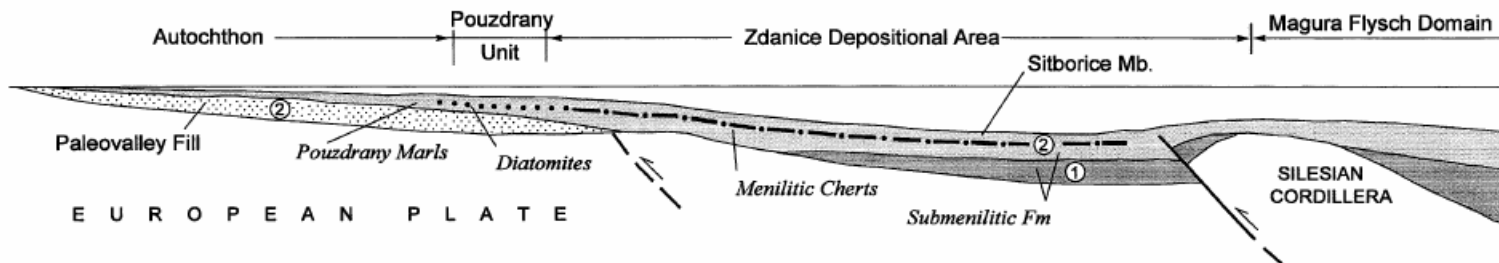
Uherčické souvrství - jílovce na bázi s polohou diatomitů, ve svrchní části nepravidelná tělesa glaukonitických pískovců, stáří svrchní spodní oligocén až svrchní oligocén.

Boudecké slíny - vápnité jílovce až slínovce svrchního oligocénu až spodního miocénu

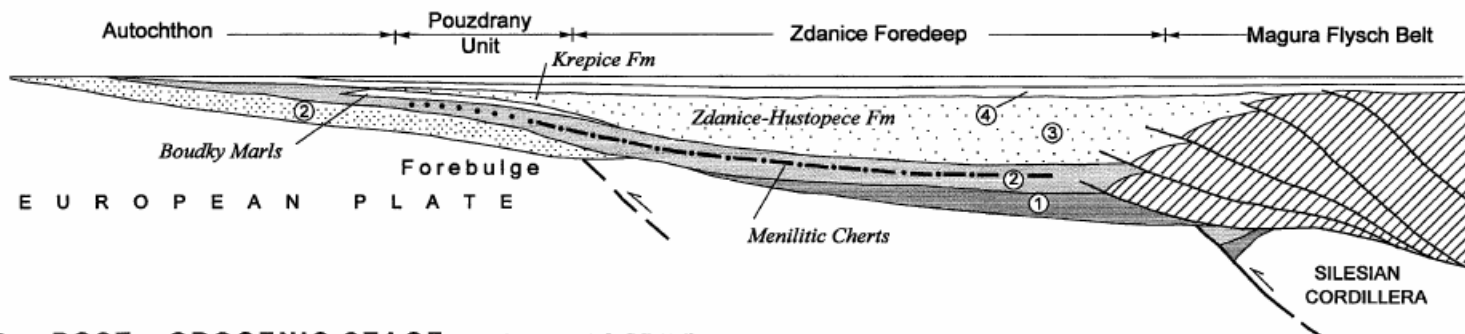
Křepické souvrství - flyšový charakter, vápnité jílovce se zastupují rytmicky s pískovci a prachovci, spodnomiocenní.

Šakvické slíny - nejmladší člen pouzďřanské jednotky, litologicky prakticky shodné se stejným členem výplně šakvické synklinály

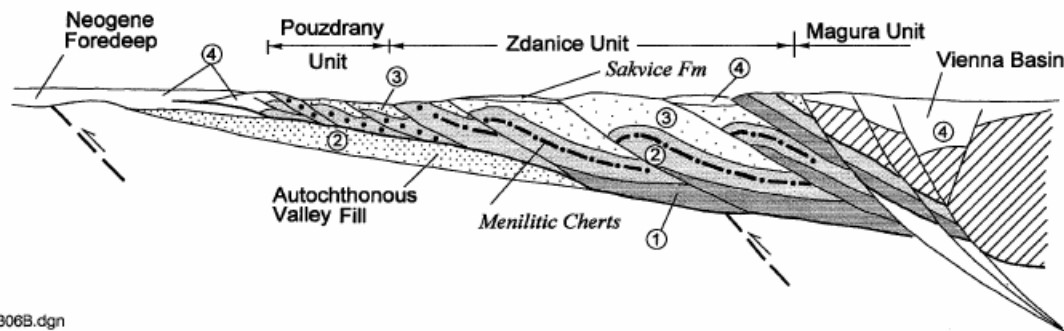
A. SEQUENCES 1 & 2 : LATE CRETACEOUS - EARLY OLIGOCENE











B. SEQUENCES 1,2,3 & 4 : LATE OLIGOCENE - EARLY MIOCENE

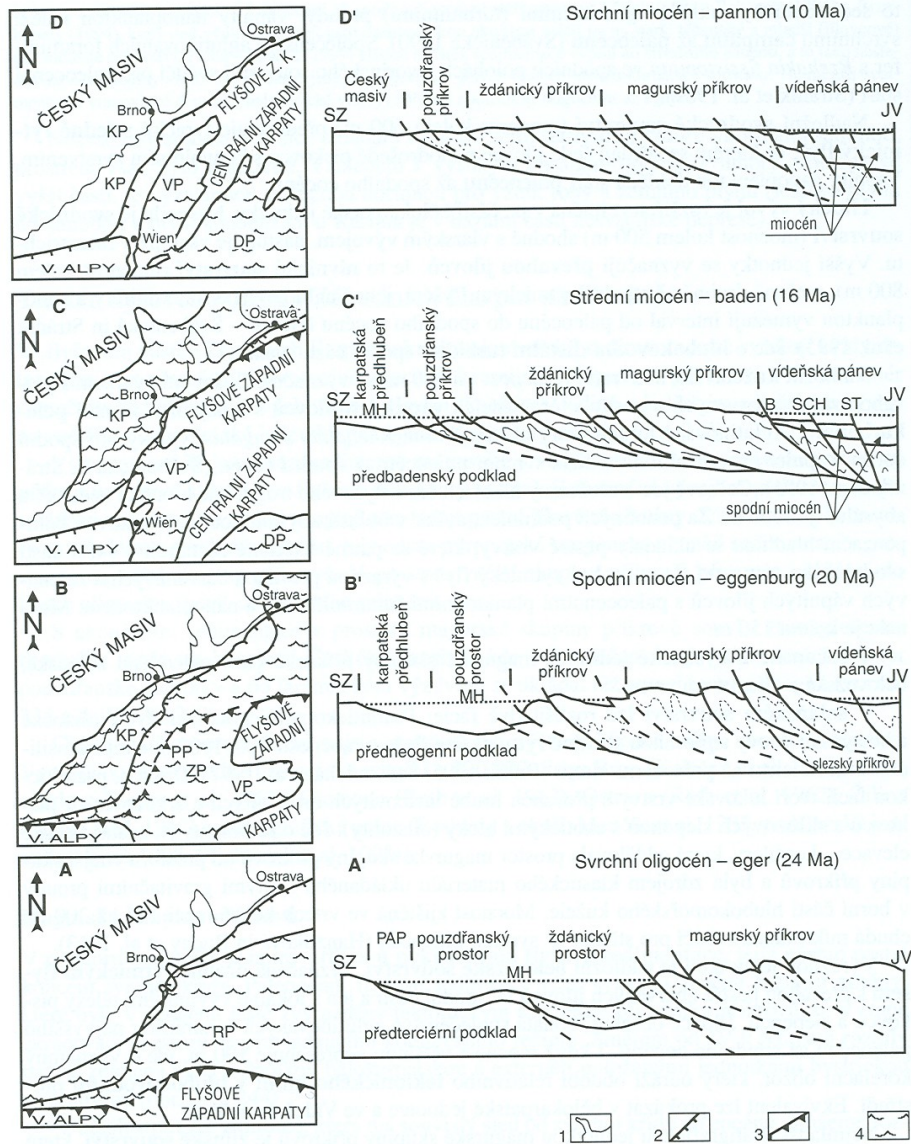


C. POST - OROGENIC STAGE, LATE MIOCENE



LEGEND

-  Sequence 1
Late Cretaceous-Middle Eocene
-  Sequence 2
Middle Eocene-Early Oligocene
-  Autochthonous Unit
-  Diatomites
-  Menilitic Cherts
-  Sequence 3 :
Late Oligocene-Early Miocene (Egerian)
-  Sequence 4 :
Early Miocene (Eggenburgian)-Pliocene
-  Magura Flysch



Obr. 244. Paleogeografické a tektonické schéma vývoje Západních Karpat na Moravě v terciéru (Z. Stráňák – R. Brzobohatý, orig.). 1 – okraj Českého masivu vystupující na povrch; 2 – dnešní okraj přesunutých Západních Karpat; 3 – vnější okraj flyšových příkrovů; 4 – mořské pánve. MH – mořská hladina; PAP – prostor autochtonního paleogénu; B – zlomový systém Bulhar; SCH – schratteberský zlomový systém; ST – steinberský zlomový systém; RP – zbytkové (reziduální) pánve; VP – vídeňská pánve; ZP – ždánický prostor; PP – pouzdřanský prostor; KP – karpatská předhlubeň; DP – dunajská pánve.

Karpatská předhlubeň

Převážně v autochtonní pozici, výskyty buď před čelem příkrovů nebo pod nimi.

Eger až eggenburg - sladkovodní až terestrické, Znojensko, nemají významné regionální rozšíření

Eggenburg - ottnangský litostratigrafický komplex - nejrozšířenější v j. části karpatské předhlubně. V z. okrajové části při výchozech Českém masívu vystupují na povrch, ve v. části při linii nasunutí vnějšího flyše jsou zakryty mladšími miocenními sedimenty, karpatem a spodním badenem. V s. části karpatské předhlubně jsou litorální až sublitorální psamitické sedimenty tohoto stáří prokázány pouze poblíž hranice s Polskem.

Mořská transgrese v eggenburgu. Štěrk, písky, výše potom jíly, střídání brakické a mořské sedimentace. Stratigraficky významné horizonty tufitů.

Ott nang – zdvih území, sedimentace brakických, lagunárních a sladkovodních písků a nevápnitých jílu, výše lagunární a brakické rzehakiové vrstvy.

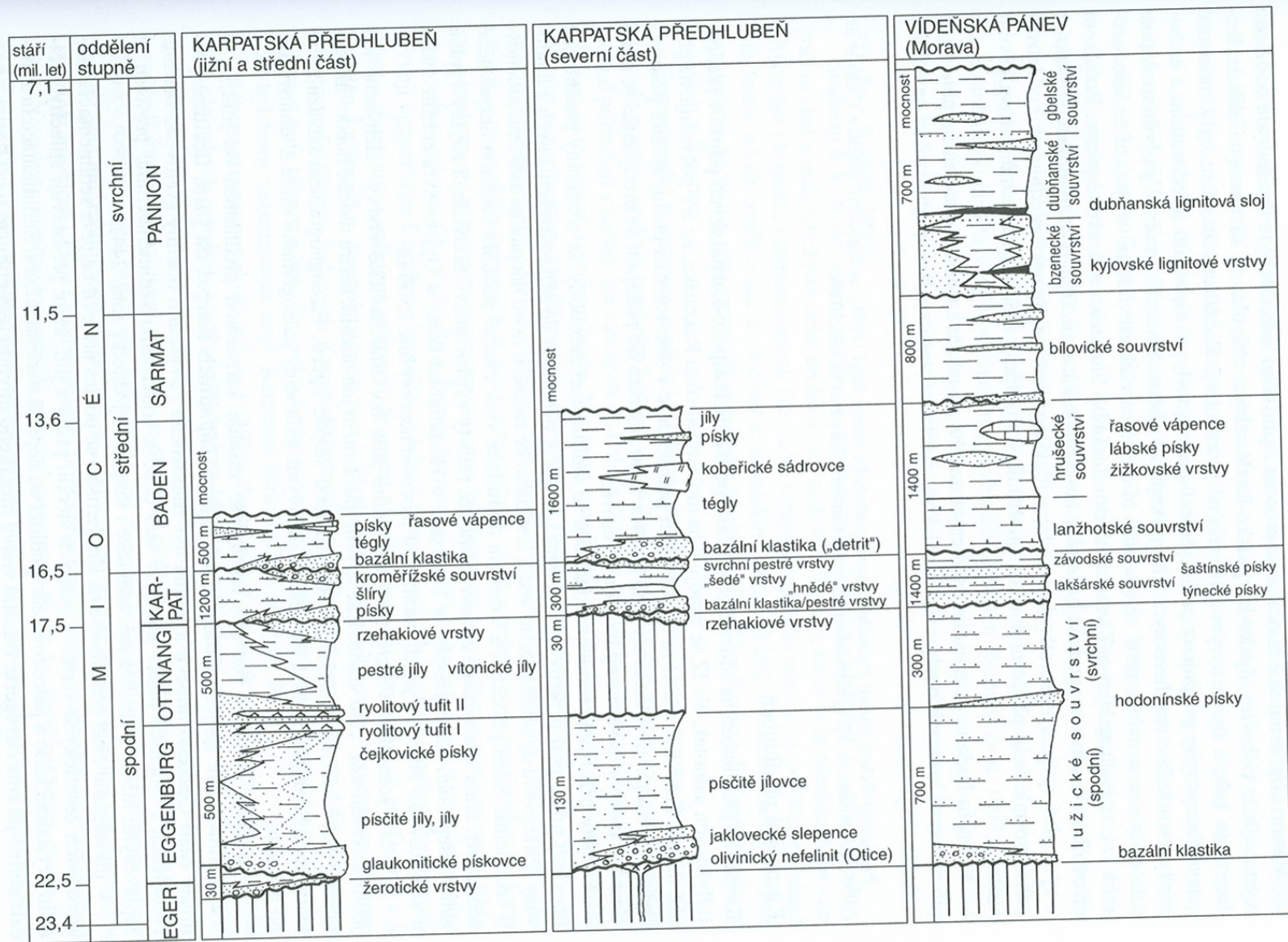
Karpatský litostratigrafický komplex - štýrské vrásnění - zásadní změny ve vývoji sedimentačního prostoru karpatské předhlubně. Na hranici ott nang - karpat regrese a lokální přerušení sedimentace. Posunutí osy pánve k SZ, šlírové litofacie nesou znaky příbuznosti k flyši. Odlišnosti vývoju karpátu j., střední a s. části, větší faciální pestrost v S. části. Nejhlubší části – šlíry (vápnité jíly s poprašky slíd a prachů na plochách laminace), nejrozšířenější litotyp. Písky a pískovce

Badenský litostratigrafický komplex – na počátku badenu přeložení osy sedimentační pánve dále k SZ, rozsáhlá transgrese, dobrá komunikace s Paratethyidou i Atlanstým a Indickým oceánem.

Morav - různé typy bazálních a okrajových klastik (např. brněnské písky), litotamniové vápence. V centru pánve tégly. Wielicz a kosov – pouze Ostravsko a Opavsko, jíly s koberčickými sádrovci, vápnité jíly, postupné zvěčňování.

Během badenu – dosunování flyšových příkrovů na sever od Moravské brány, v jižní části ukončeno v karpatech.

Obr. 247. Stratigrafické schéma neogénu karpatské předhlubně a vídeňské pánve na Moravě (R. Brzobohatý, orig.).



Vídeňská pánev

Vznik Vídeňské pánve započal ve spodním miocenu, kdy představovala východo-západně protaženou pánev Typu **piggy-back** nesenou na alpinských příkrovech Z. Karpat a Alp
Ve svrchním karpatu sunutí bylo vystřídáno laterální extruzí bloku Západních Karpat od bloku Alp a vznikem nových depocenter mechanismem **pull-apart** (sinistrální strike-slip ve směru SV-JZ)

Eggenburg-karpat – na bázi slepence a pískovce suťového rázu, později šlíry **lužického souvrství Karpat** – písky, písčité jíly, brakické sedimenty uložené během regrese – pestré vápnité jíly s anhydritem

Baden – především vápnité jíly, organogenní vápence, písky a pestré jíly reprezentují občasná změlčení
Konec badenu – zvedání dna, čistě mořská sedimentace končí.

Sarmat – brakické, místy sladkovodní podmínky

Panon-pont – vnitrozemské jezero, postupné vyslazování, především písky. Nižší panon – kyjovská lignitová sloj, pont – dubňanská lignitová sloj.

Pliocén – ustupující limnická sedimentace, flyubiální sedimentace ve slovenské části.

Neogenní výplň – přes 5 km

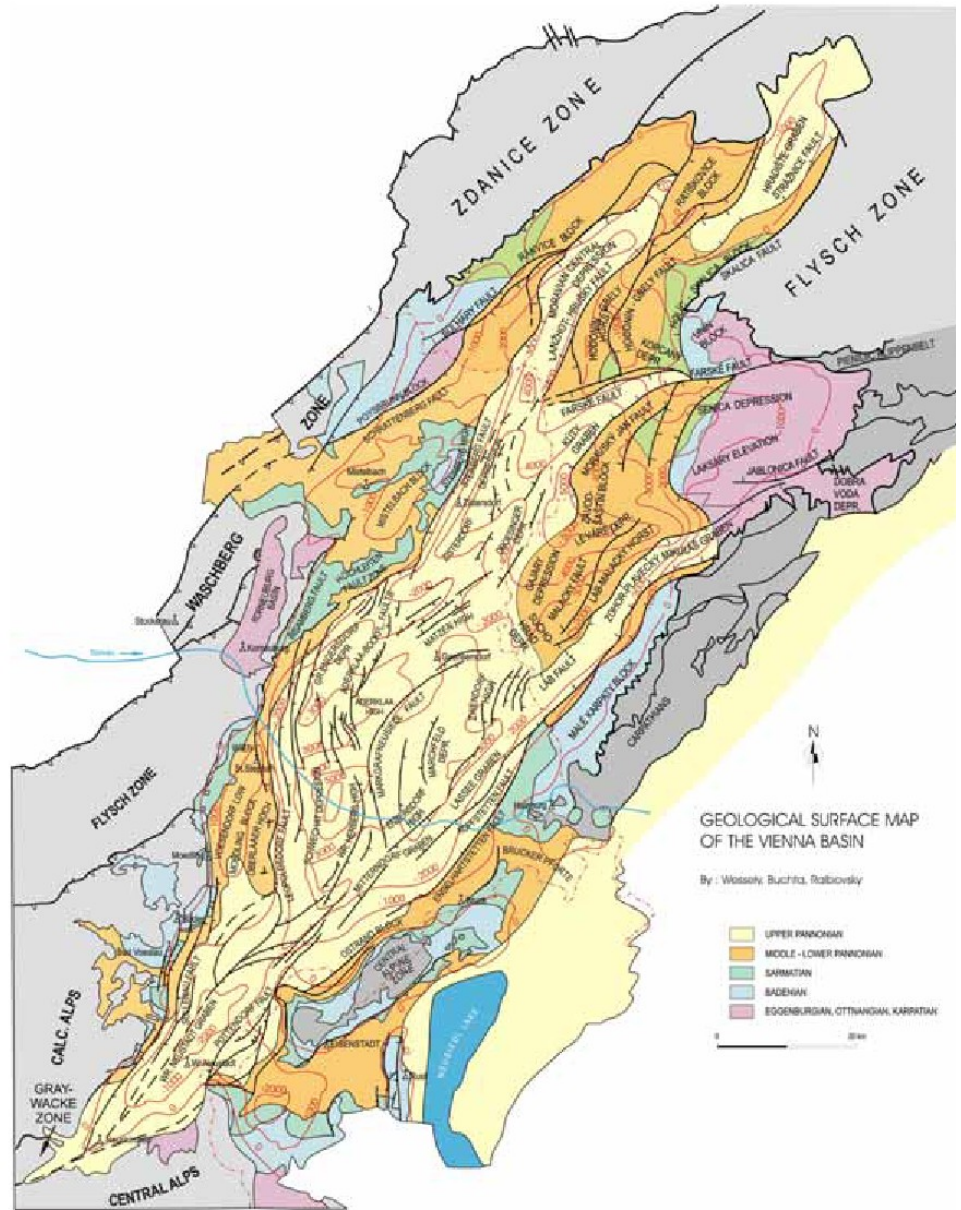


Figure 1
The Vienna Basin, bounding zones and tectonic lineaments (Wessely, Geological Survey, in press)

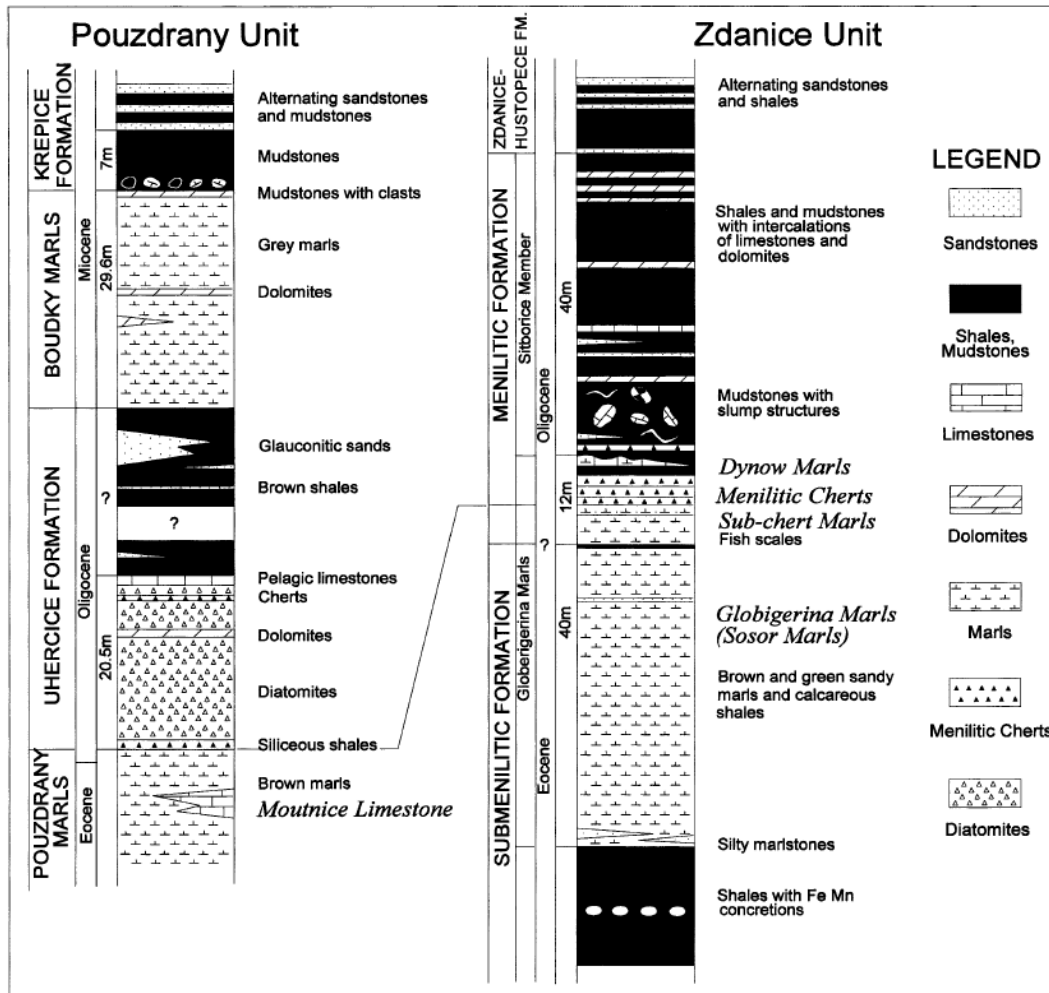
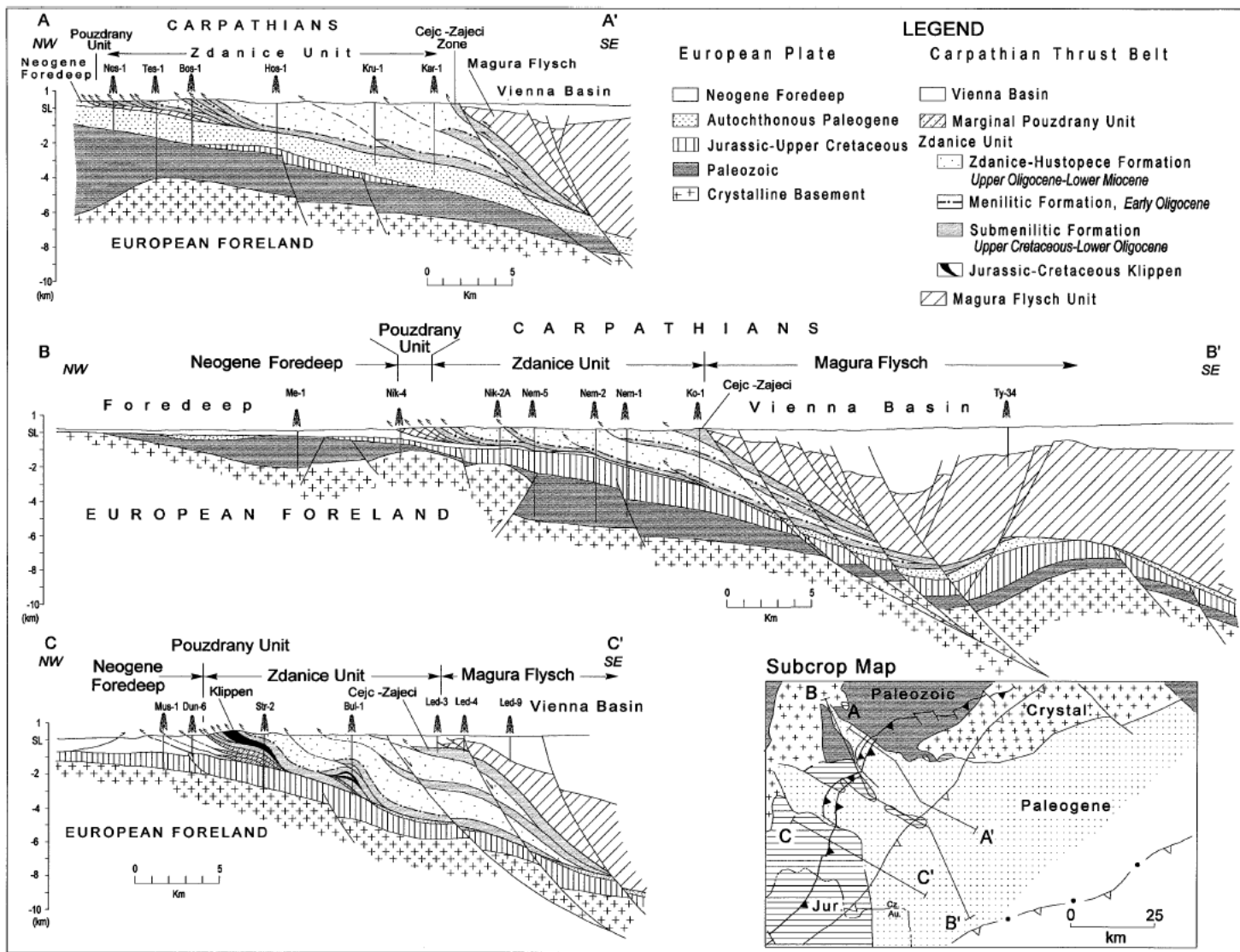


Fig. 4 Correlation of the Late Eocene to Early Miocene strata in two measured sections, one in the Pouzdrany unit at the Wine Cellars in the village Pouzdrany, and the second in the Zdanice unit in the road cut near the village Velke Nemcice

of the Zdanice-Hustopec Formation (Picha 1979b). The existence of an erosional disconformity at the base of the Krepice Formation (Stranik et al. 1981b) may indicate the progradational character of the Krepice



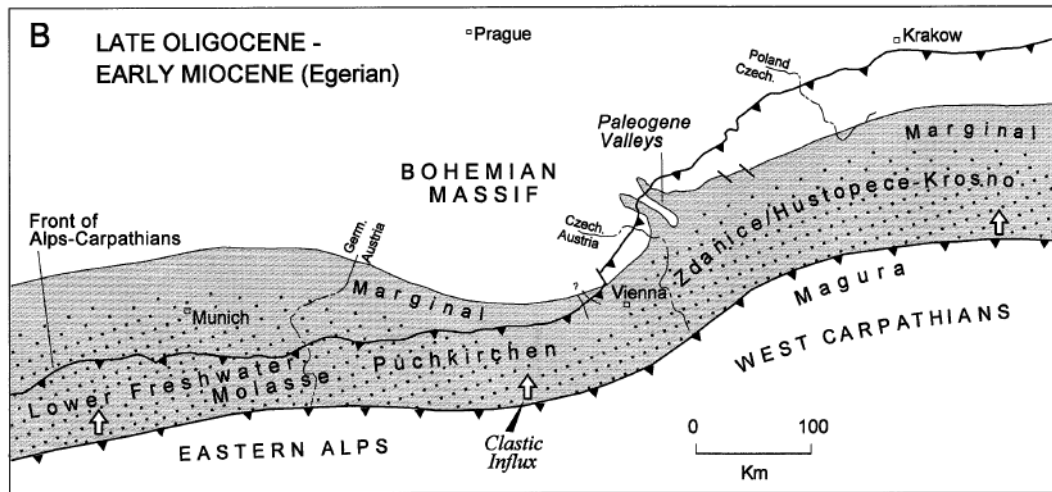
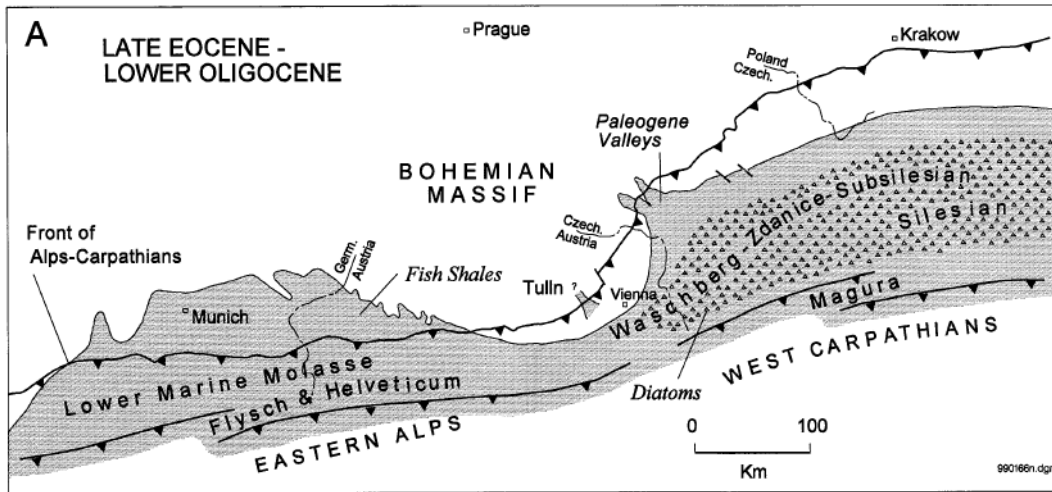
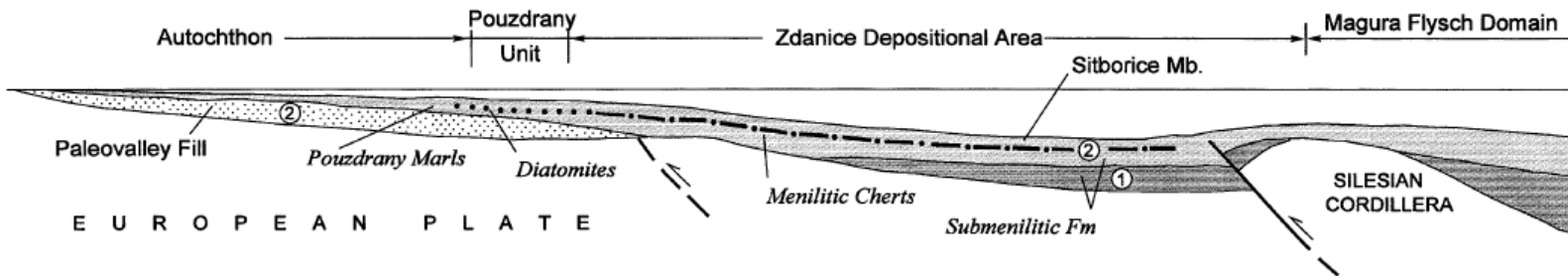


Fig. 7 Paleogeographic reconstruction of the foreland basin in **A** Late Eocene to Early Oligocene and **B** Late Oligocene to Early Miocene. While in the Alpine realm the Late Eocene to Early Miocene deposits are found both below and in front of the Alpine thrust belt, in the Western Carpathians, these marginal deposits, with the exception of two paleovalleys, are buried below the Carpathian belt

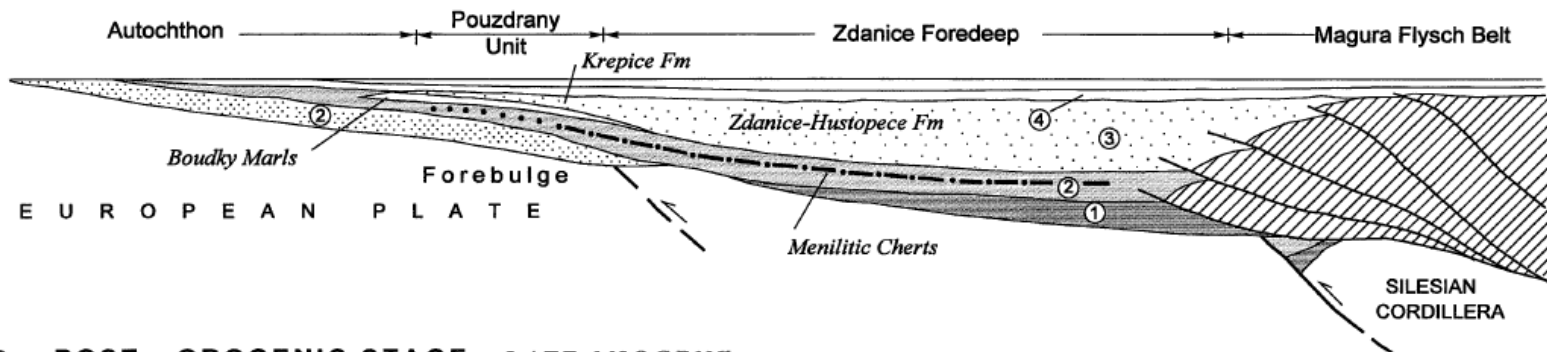
Conclusion

The Late Cretaceous to Early Miocene strata of the Carpathian foreland basin have been related to four major tectonic and depositional events. These events and corresponding depositional sequences can be

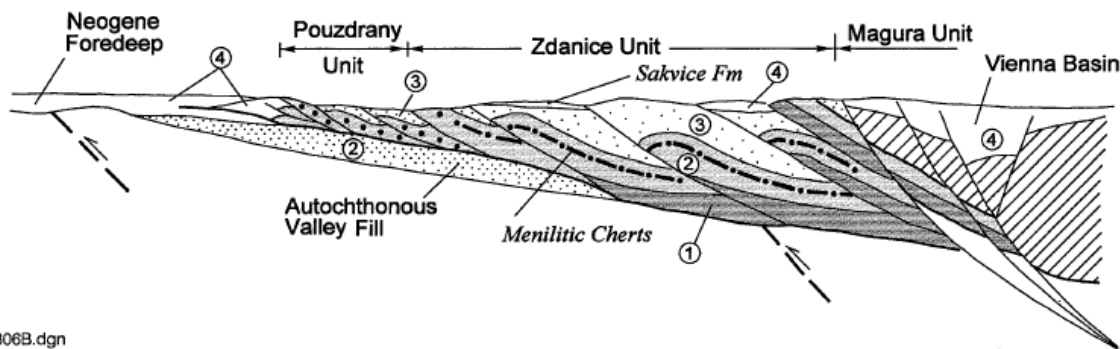
A. SEQUENCES 1 & 2 : LATE CRETACEOUS - EARLY OLIGOCENE





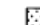


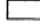


B. SEQUENCES 1, 2, 3 & 4 : LATE OLIGOCENE - EARLY MIOCENE



C. POST - OROGENIC STAGE, LATE MIOCENE



LEGEND

-  Sequence 1
Late Cretaceous-Middle Eocene
-  Sequence 2
Middle Eocene-Early Oligocene
-  Autochthonous Unit
-  Diatomites
-  Menilitic Cherts
-  Sequence 3 :
Late Oligocene-Early Miocene (Egerian)
-  Sequence 4 :
Early Miocene (Eggenburgian)-Pliocene
-  Magura Flysch

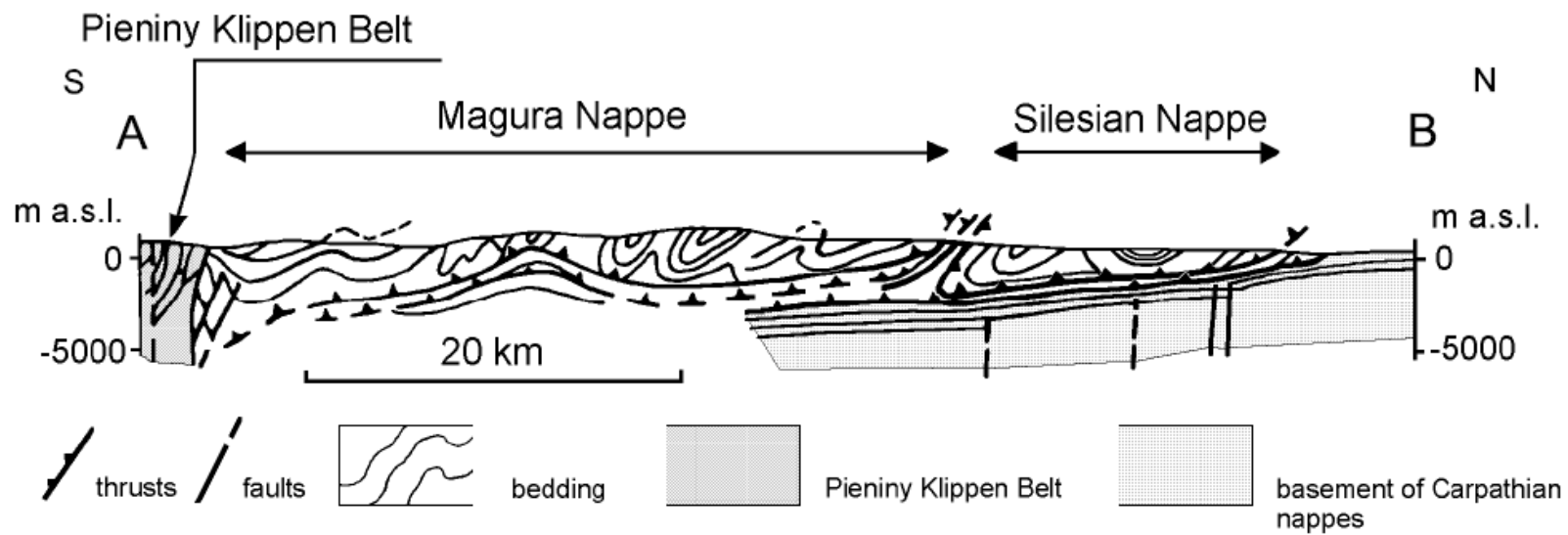
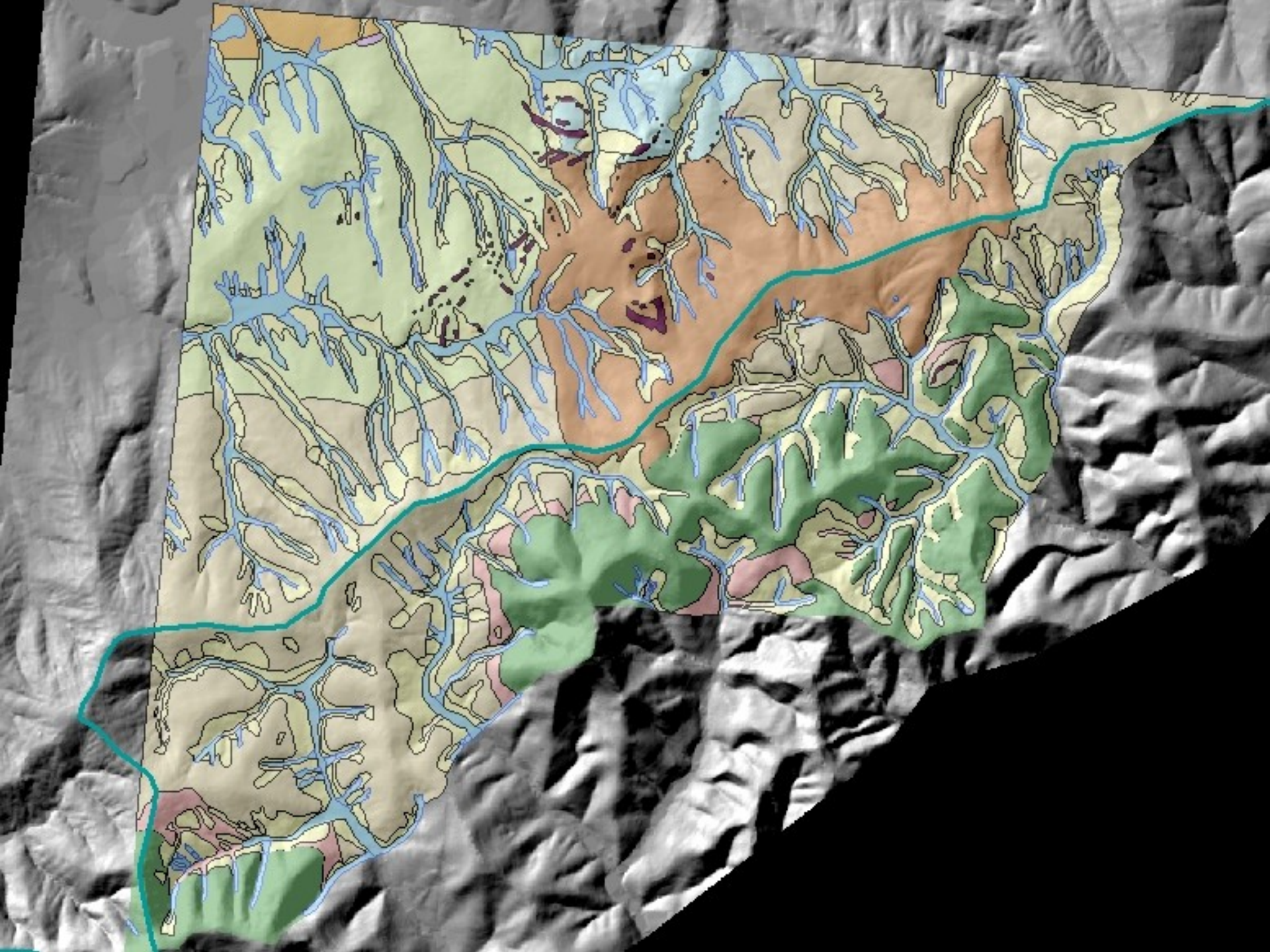
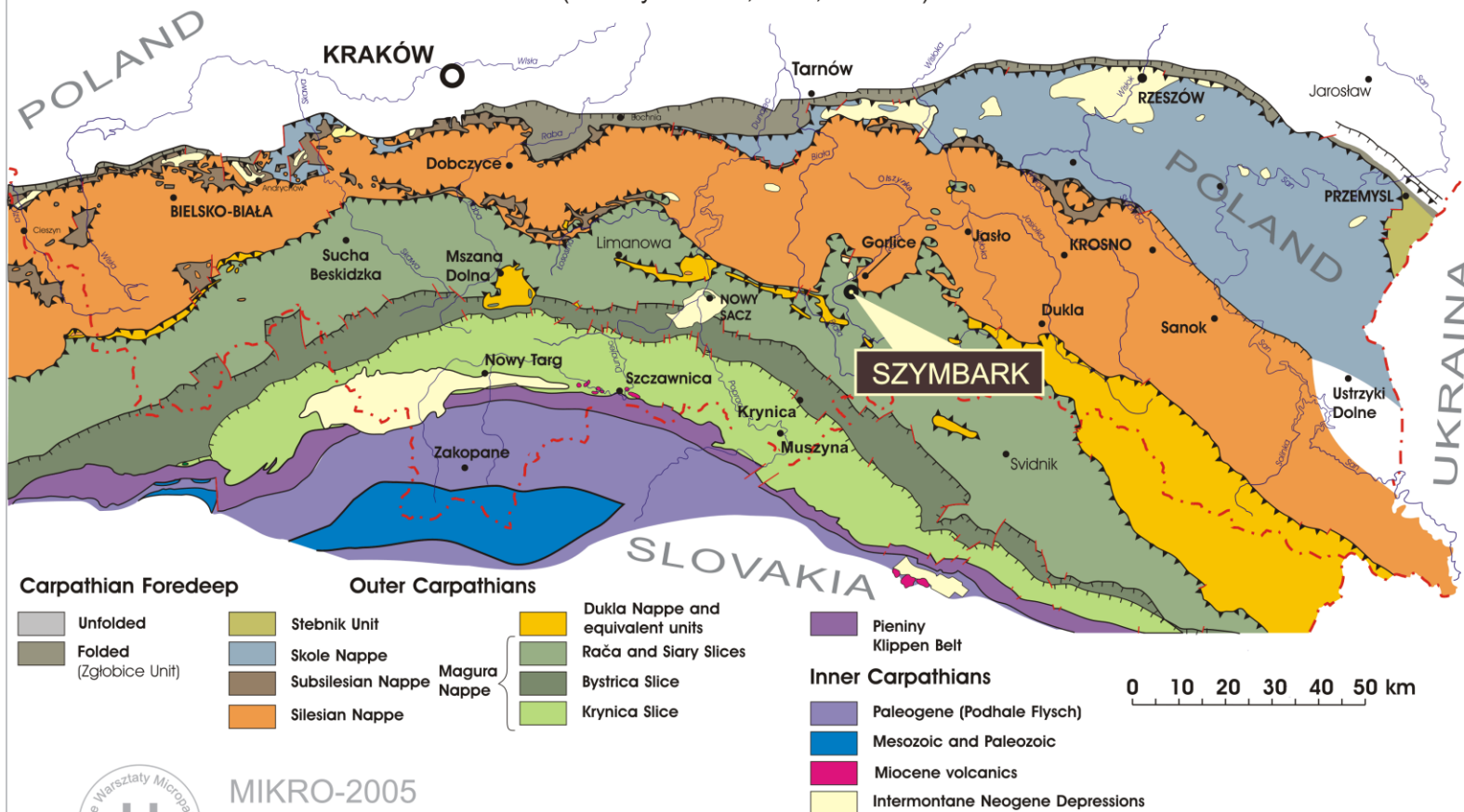


Fig. 2. Schematic cross-section through the Polish Outer Carpathians (after Żytko *et al.*, 1989)



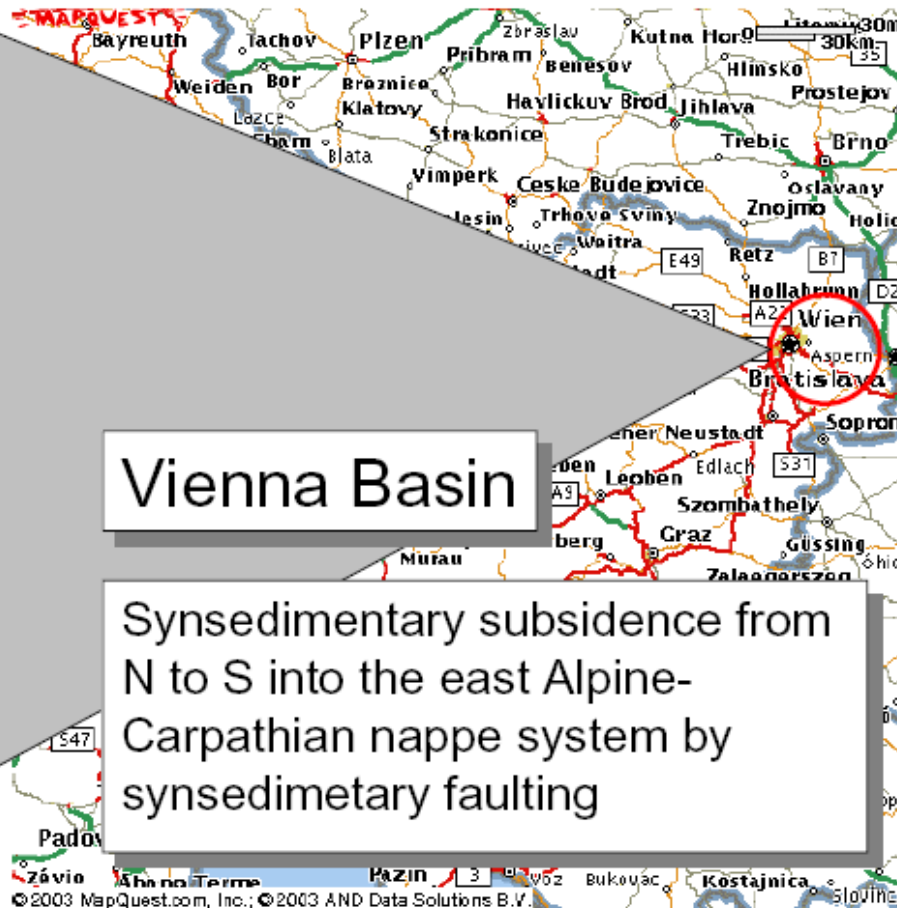
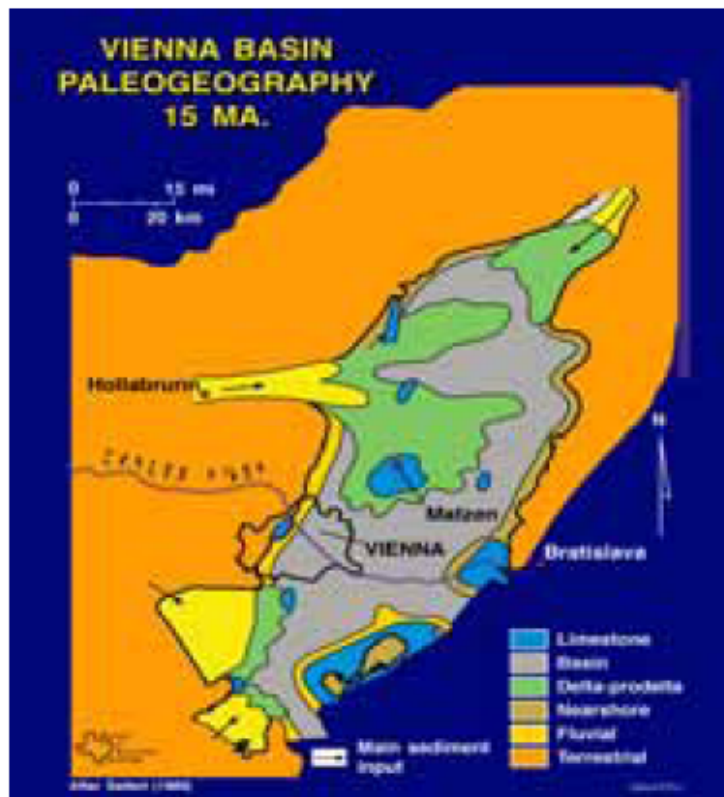
Geological map of the Western Carpathians

(after Żytko et al., 1988, modified)

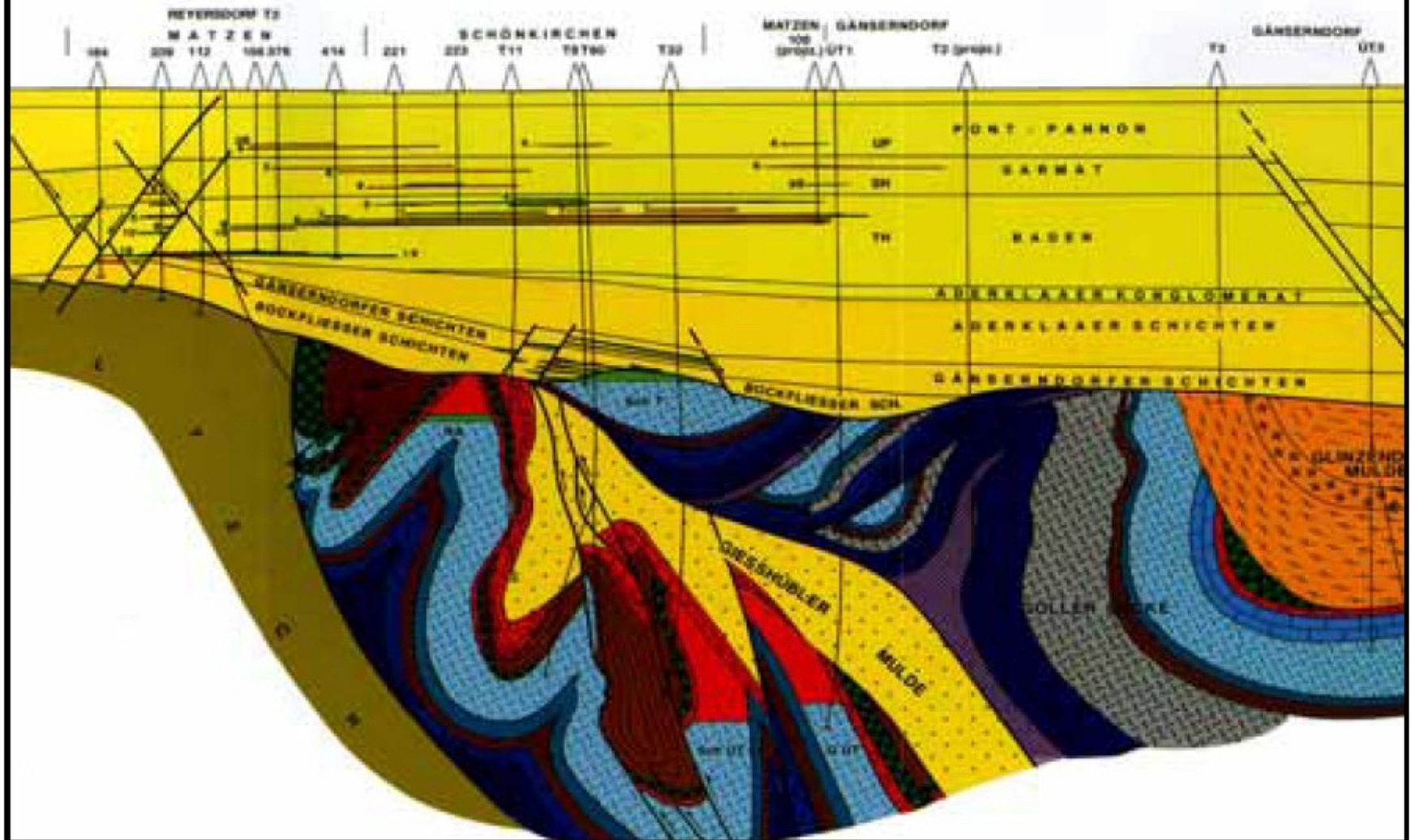


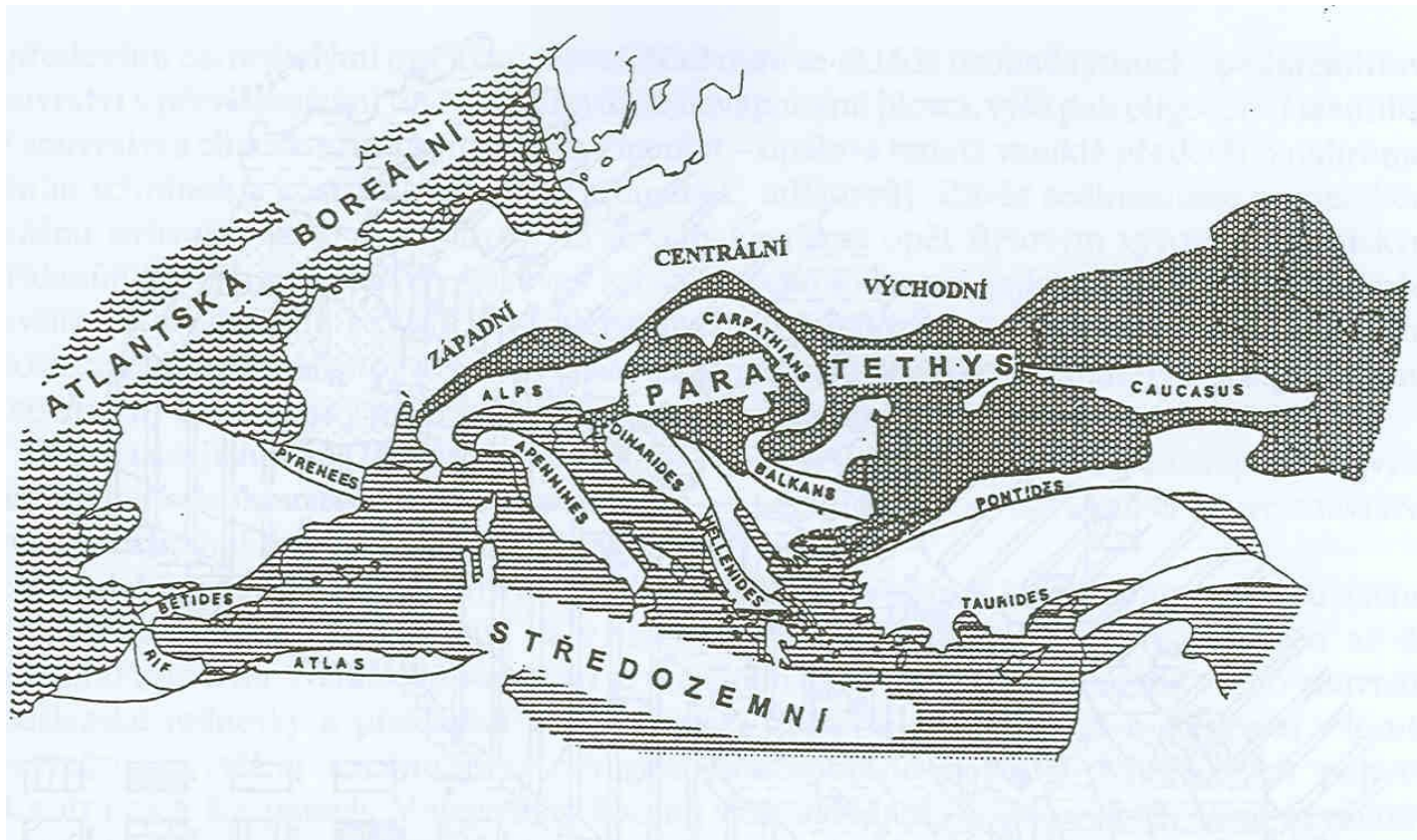
MIKRO-2005
 Szymbark 8-10 June, 2005
 5th Micropalaeontological Workshop

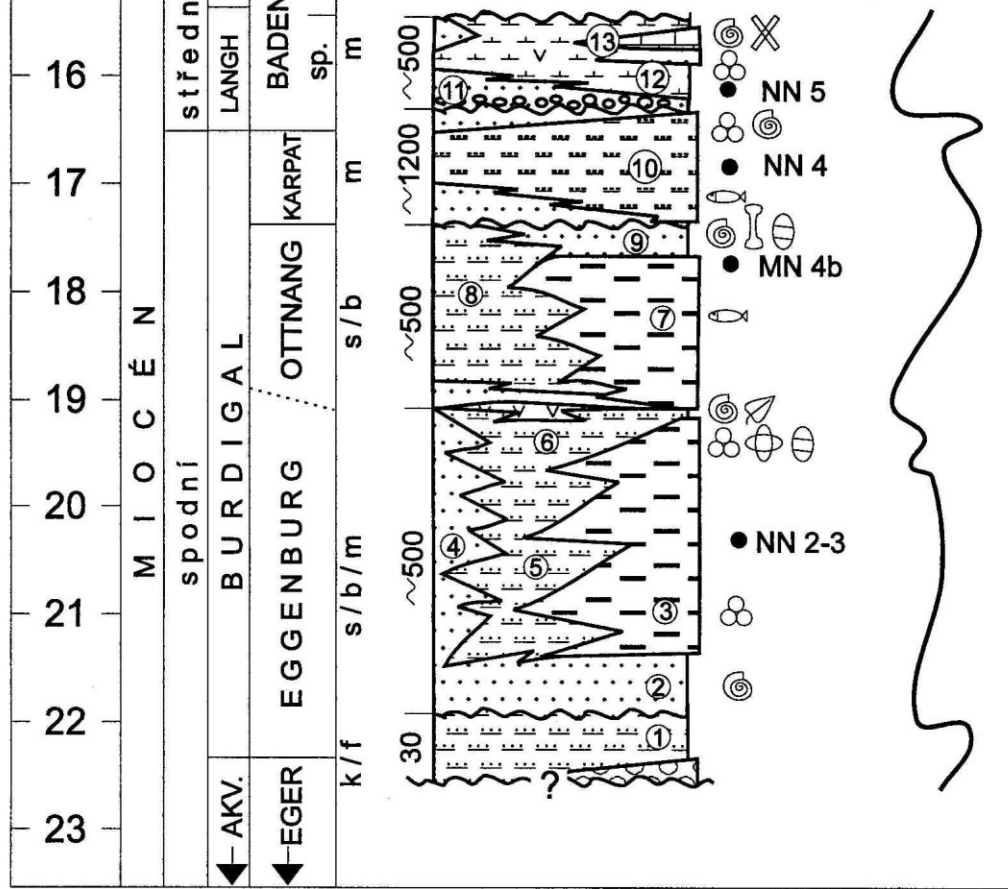
Introduction - Geology



Introduction - Geology







	štěrky, slepence	m mořské		savci
	písky, pískovce	b brakické		řasy
	písčité jíly	s sladkovodní		cháry
	střídání siltovců a jílovců	f fluviální		sporomorfy
	jíly, jílovce	k kontinentální		flóra
	slíny		NN zóna nanoplanktonu	
	vápence		MN zóna savců	
	tufity		ryby	

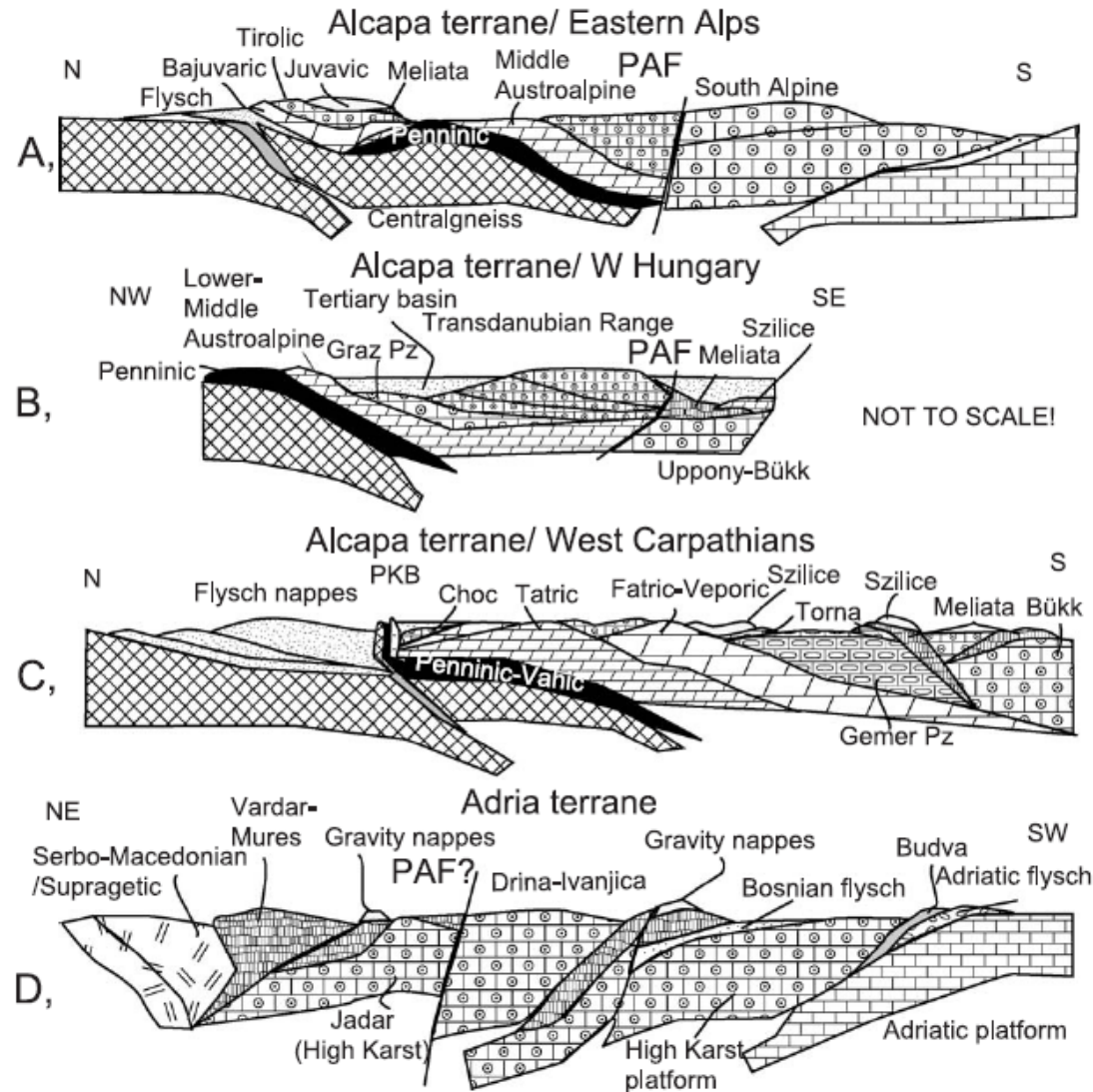


Fig. 8. Schematic cross sections of the Alcapa terrane. All sections are strongly simplified. (A) After Mandl (1999) and Neubauer et al. (1999), (B) partly after Plašienka (1998), (C) after own work, (D) after Aubouin et al. (1970), Csontos et al. (2003) modified.

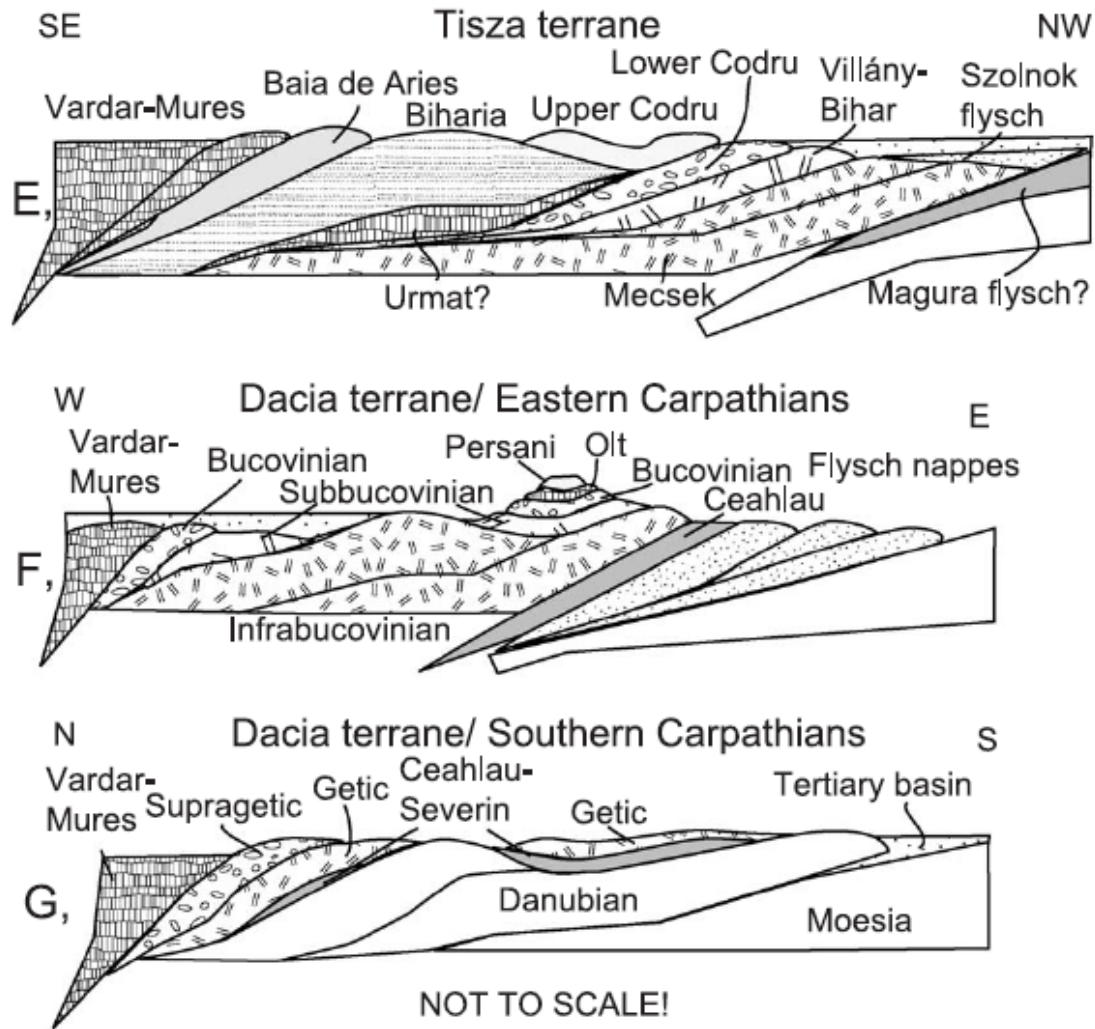


Fig. 13. Schematic cross sections of the Tisza–Dacia terrane. All sections are strongly simplified. (E) after own work, (F) after Săndulescu et al. (1981a), modified, (G) Săndulescu et al. (1981b), modified.

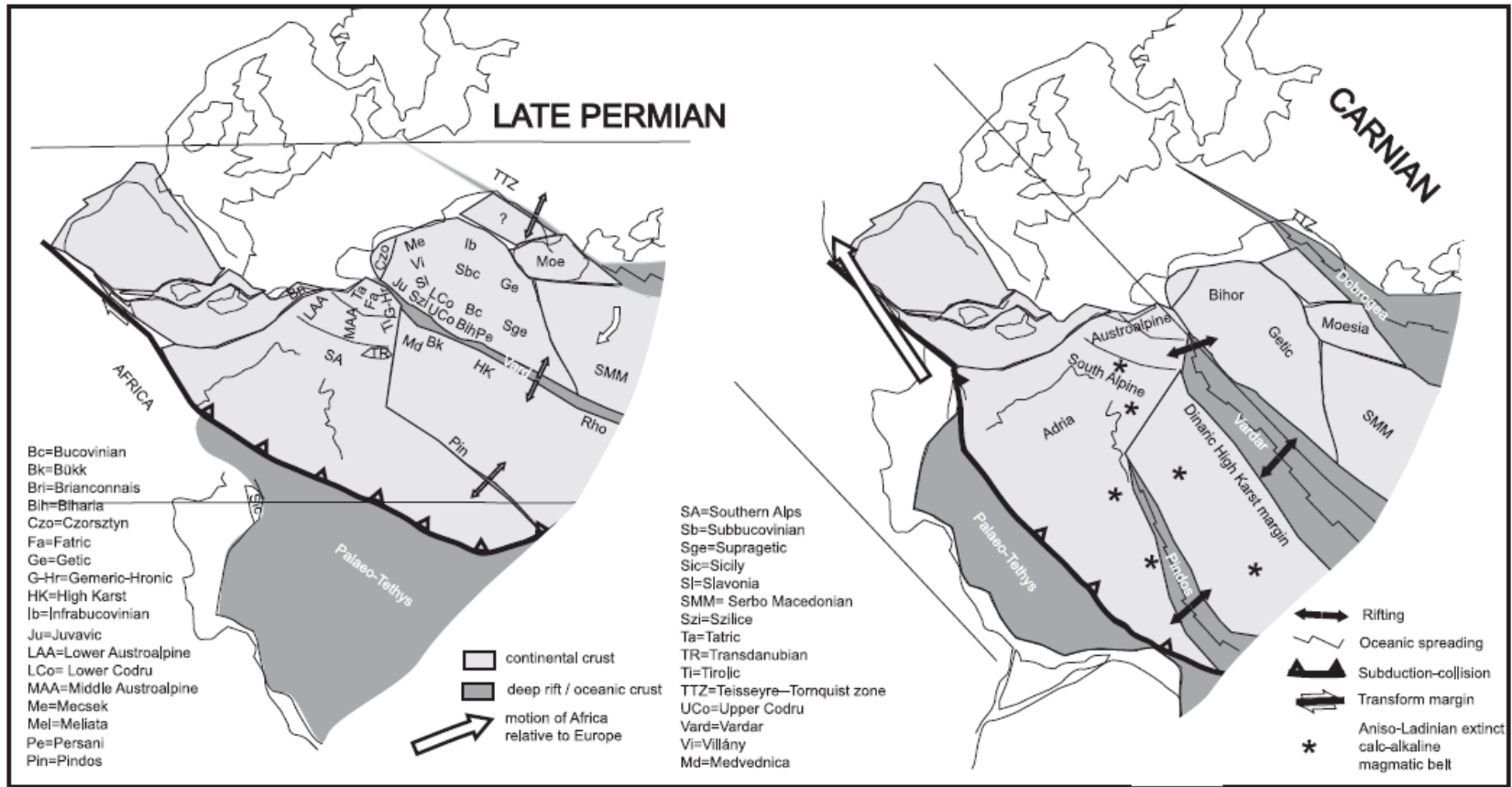


Fig. 22. Proposed position of units in Late Permian and Carnian times. Contours and main latitudes after Stampfli et al. (1998b). Continent arrangement and nomenclature differ from their construction. Partly inspired by Ziegler and Stampfli (2001). Thin curves indicate present geographic contours in stable Europe and Africa, eventually the contours of the Adriatic sea are marked. Arrow at the Tunis promontory indicates movement of Africa relative to Europe since the previous stage. Europe is kept fixed for convenience.

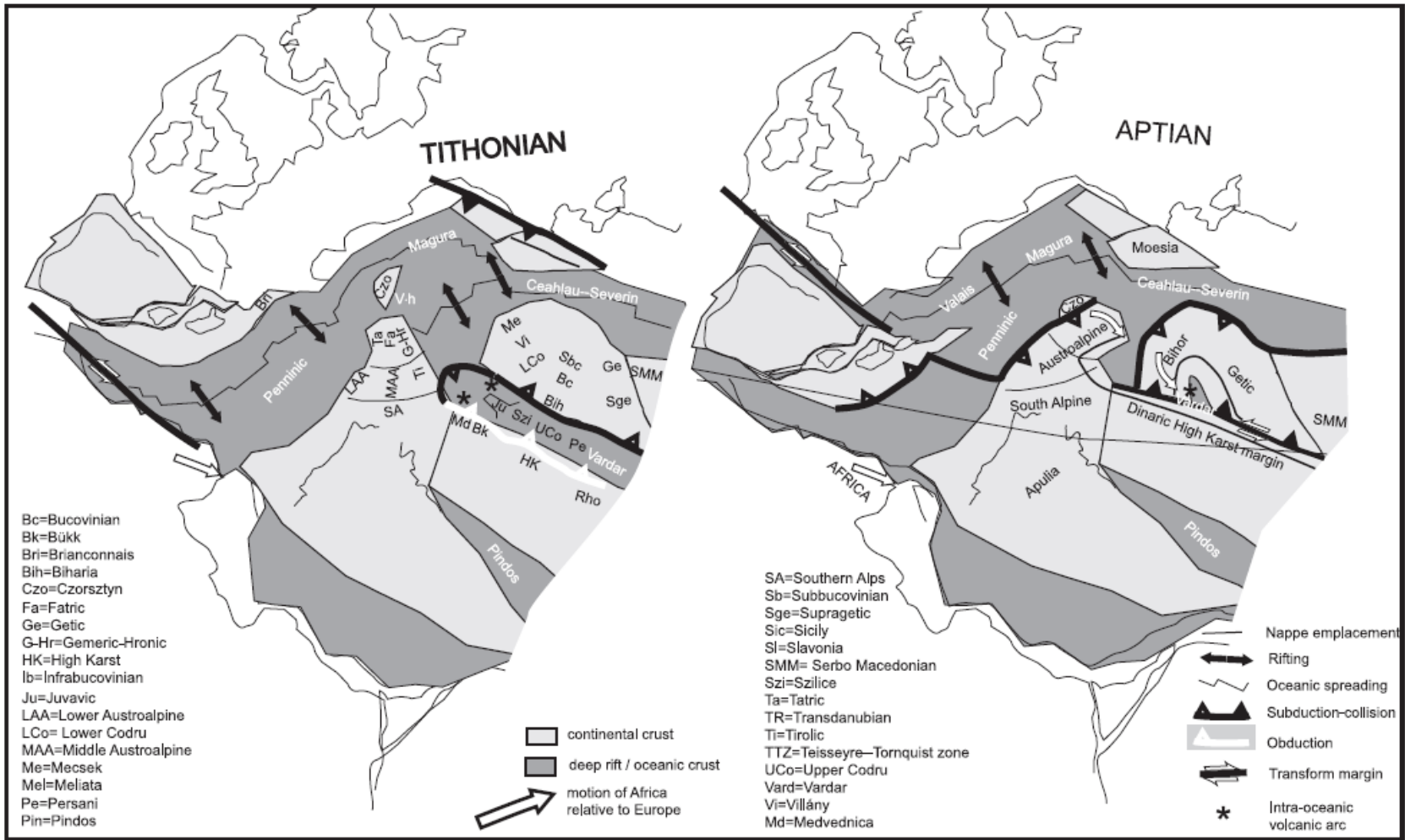


Fig. 24. Proposed position of units in the Tithonian and Aptian times. Same description as for Fig. 22.

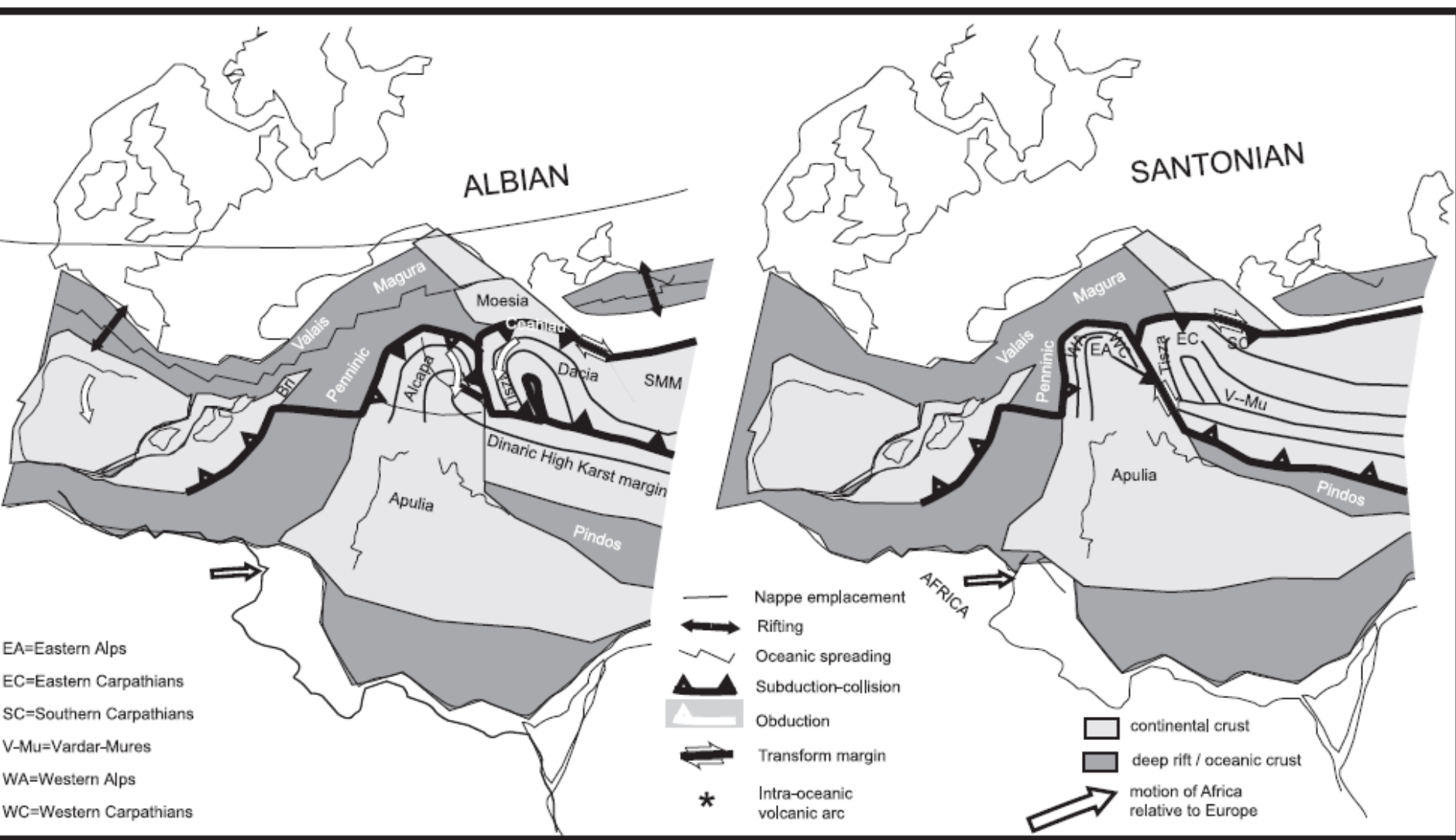


Fig. 25. Proposed position of units in the Albian and Santonian times. Same description as for Fig. 22.

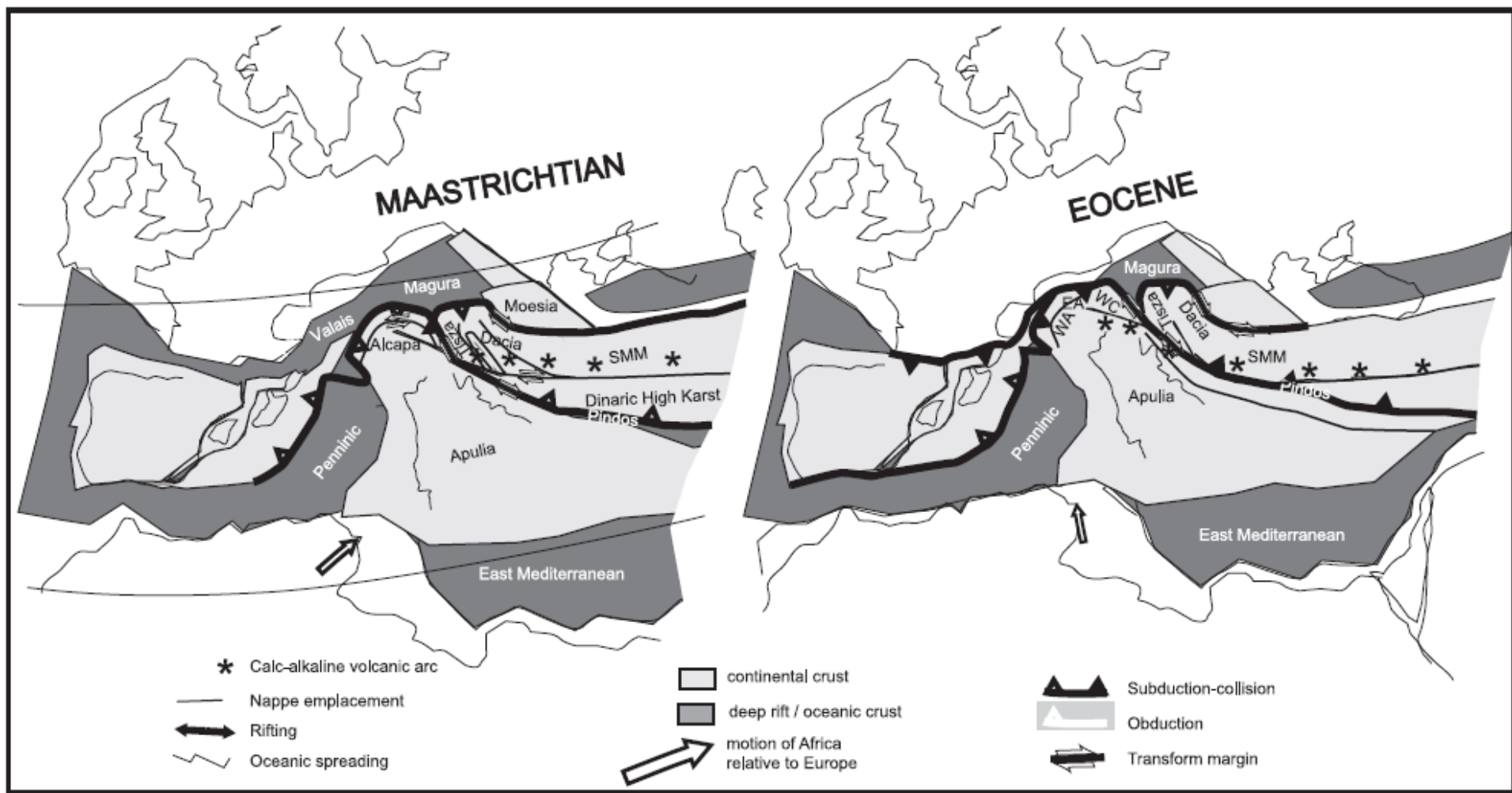
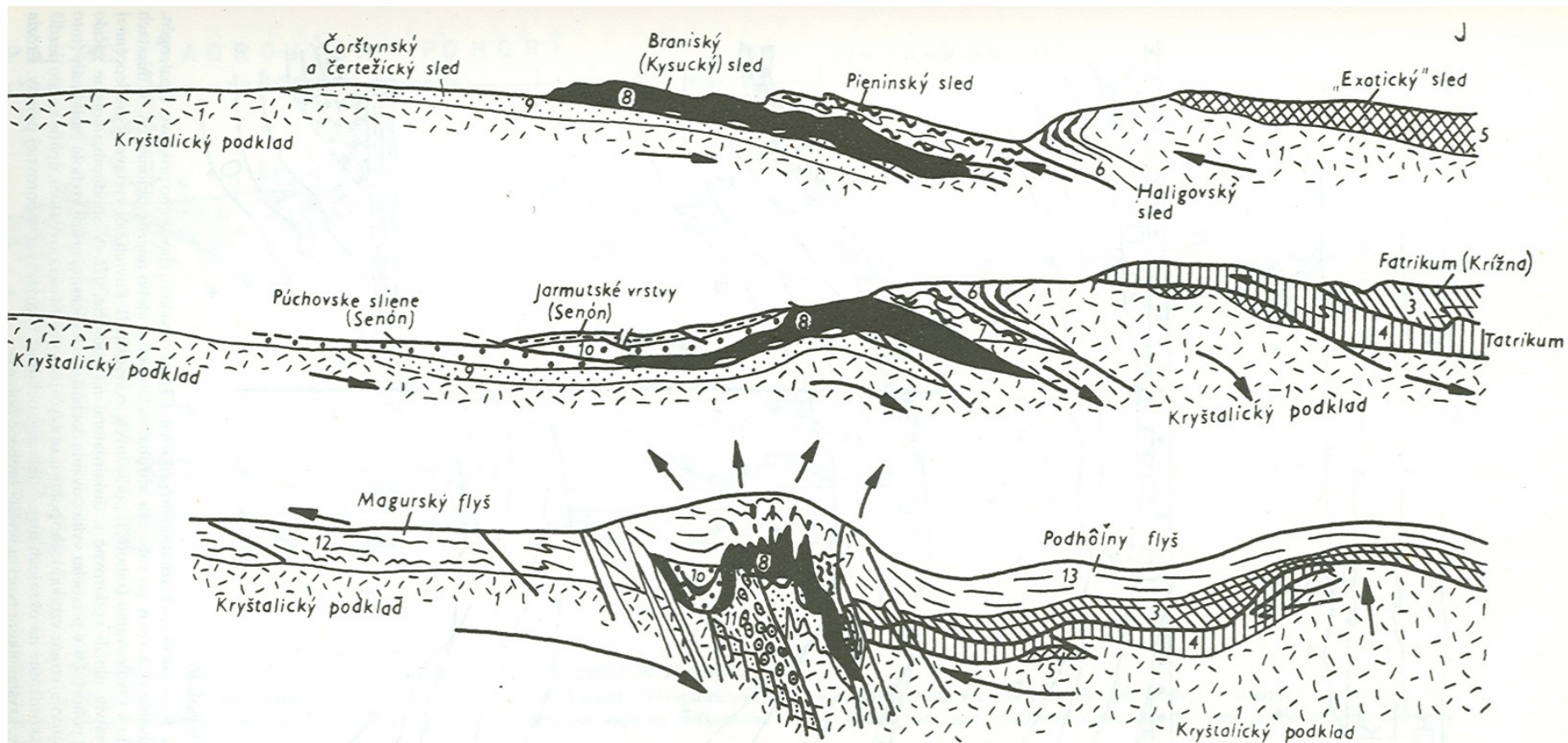
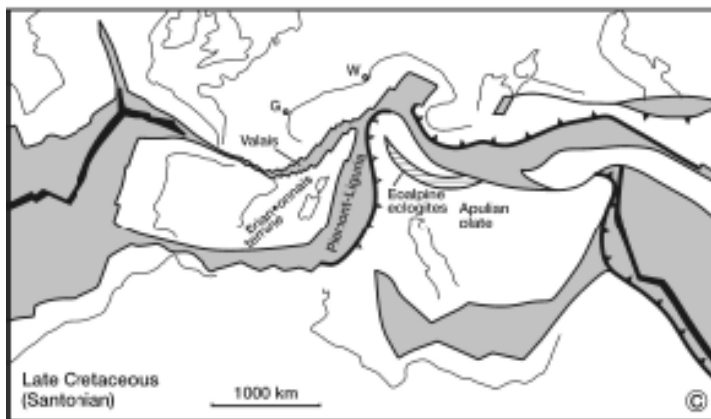
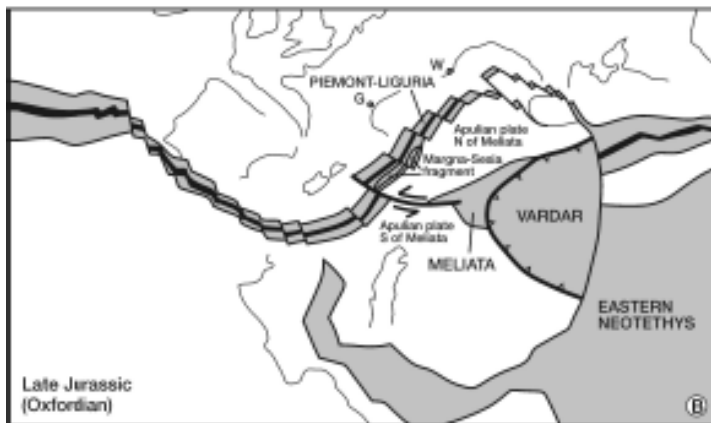
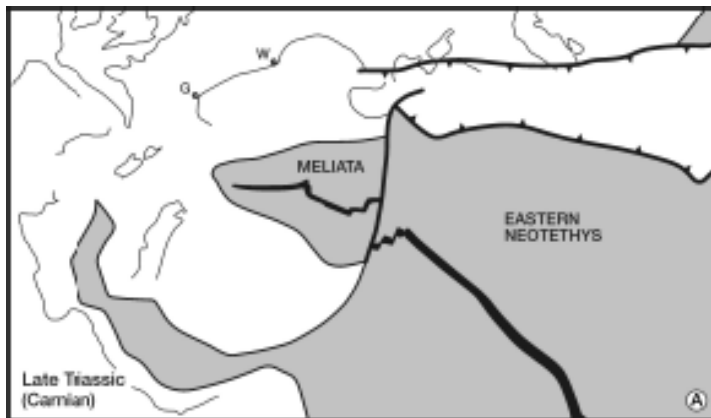


Fig. 26. Proposed position of units in the Maastrichtian and Eocene times. Same description as for Fig. 22.



Obr. 357. Schéma hlavných etáp vývoja bradlového pásma v Pieninách (podľa K.BIRKENMAJERA, 1950 a D. ANDRUSOVA, 1968).

Hore – stav na začiatku senónu, v strede – stav na začiatku paleogénu, dolu – stav na konci paleogénu



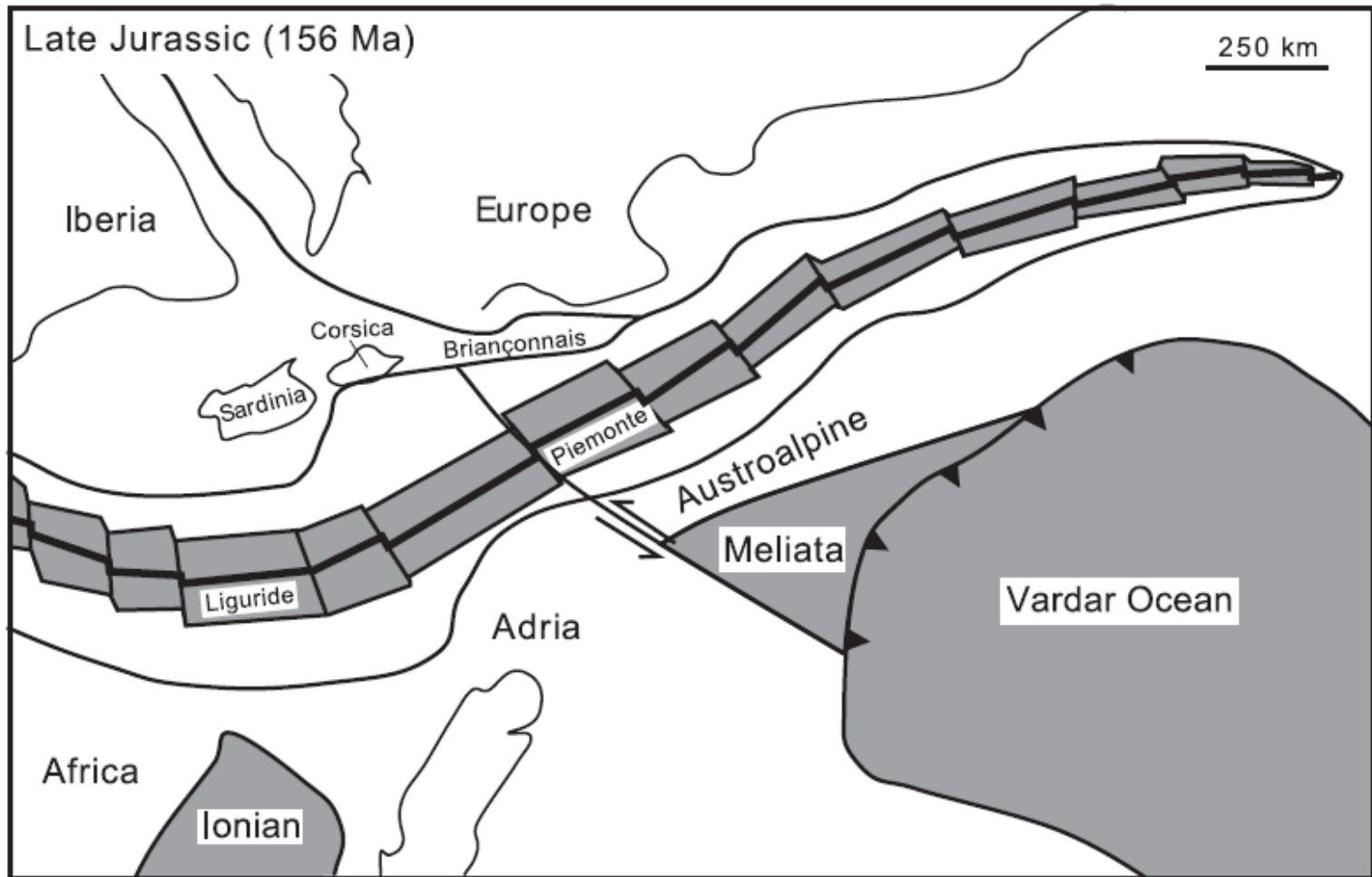


Fig. 8. Late Jurassic reconstructions (156 Ma), after Stampfli et al. (1998, 2001a, 2002) and Schmid et al. (2004).

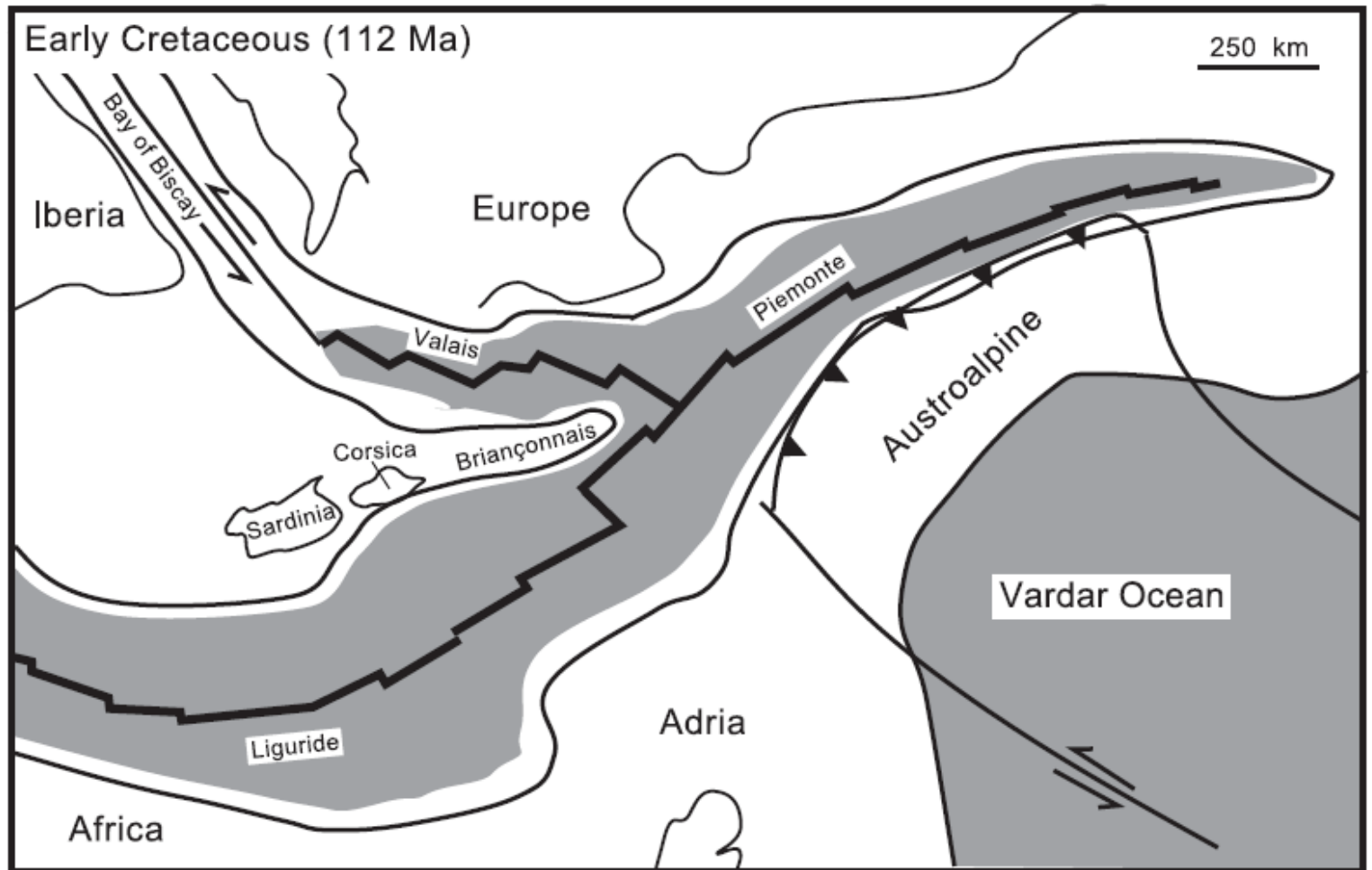


Fig. 9. Early Cretaceous reconstruction of the Western Alps, after Stampfli et al. (2001a, 2002).

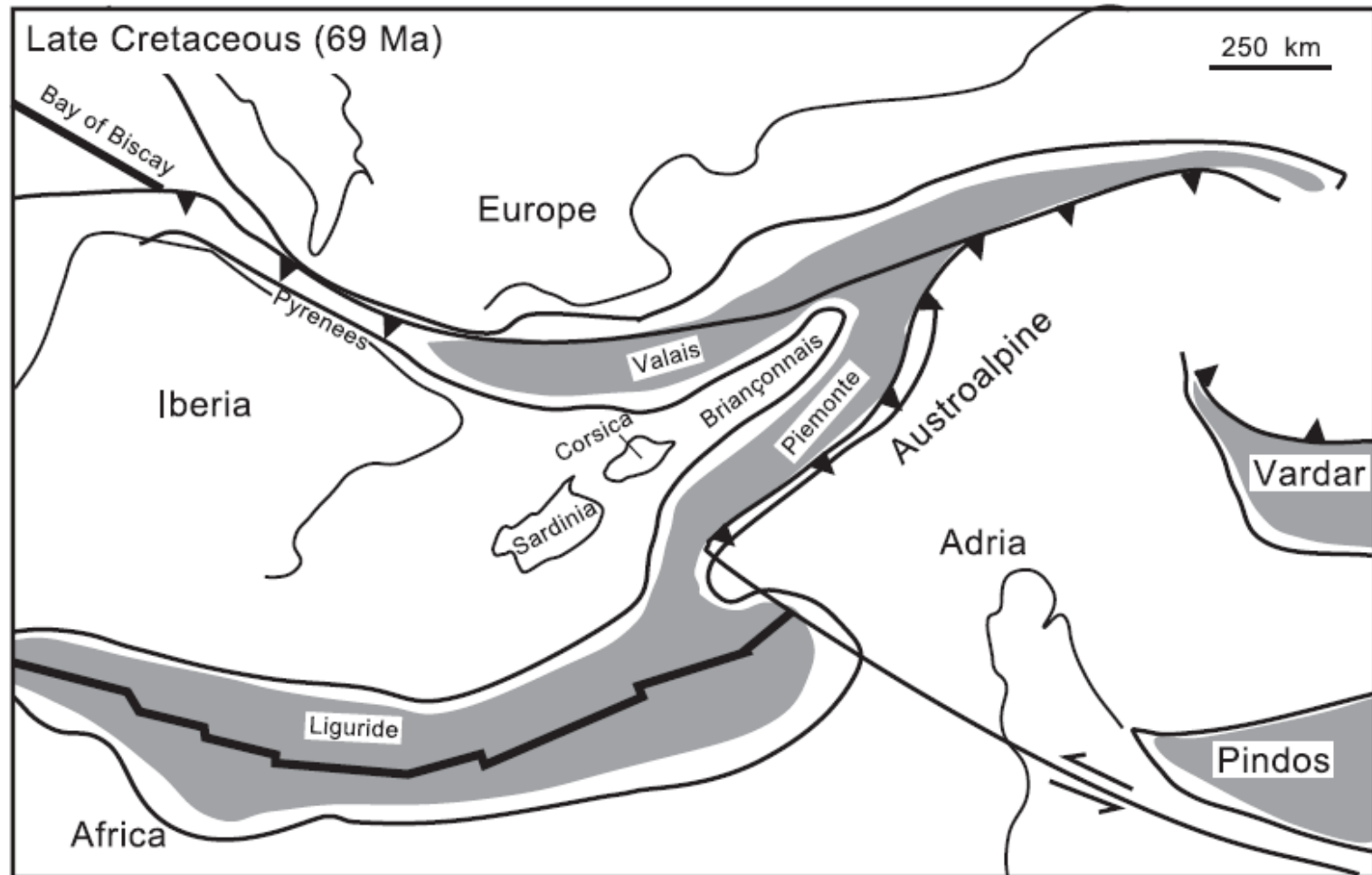


Fig. 10. Late Cretaceous reconstruction of the Alps, modified after Stampfli et al. (2002).